

Sadržaj

<u>SADRŽAJ</u>	1
<u>ELEKTRIÈNE MAŠINE</u>	2
<u>KONVERZIJA ENERGIJE</u>	2
<i><u>Elektroenergetski procesi</u></i>	2
<i><u>Elektrostatièke mašine</u></i>	3
<i><u>Konvertor sa magnetskim sprežnim poljem</u></i>	7
a) Izvori nisu prikljuèeni	9
b) Izvori su prikljuèeni (konstantne struje)	9
<i><u>Lagranžov formalizam</u></i>	11
<i><u>W_p – potencijalna energija</u></i>	12
<i><u>W_k – kinetièka energija</u></i>	12
<i><u>Gubici</u></i>	13
<i><u>Elektromehanièki konvertor sa n spregnutih kontura</u></i>	14
<i><u>Blok dijagram elektromehanièke konverzije u konvertoru sa n sprež nih kontura</u></i>	18
<i><u>Podela na jednostrano i dvostrano napajane mašine</u></i>	19
<u>ODELNA NA MAŠINE JEDNOSMERNE STRUJE I MAŠINE NAIZMENIÈNE STRUJE</u>	23
<u>SINUSOIDALNO RASPODELJEN NAMOTAJ KAO FILTER</u>	32
<u>MAŠINE JEDNOSMERNE STRUJE</u>	39
<i><u>Od èega se sastoje mašine jednosmerne struje</u></i>	42
a) Hladno valjani limovi	47
b) Toplo valjani limovi.....	47
<u>DINAMIÈKI MODEL ELEKTRIÈNOG PODSISTEMA</u>	56
<u>MAŠINE JEDNOSMERNE STRUJE SA NEZAVISNOM POBUDOM</u>	58
<i><u>I Kvadrant</u></i>	60
<i><u>II Kvadrant</u></i>	60
<i><u>III Kvadrant</u></i>	60
<i><u>IV Kvadrant</u></i>	60
<u>SLABLJENJE POLJA</u>	65
<u>REDNO POBUĐENI MOTOR</u>	81
<u>DINAMIÈKI MODEL MOTORA JEDNOSMERNE STRUJE – BLOK DIJAGRAM</u>	83
<u>BILANS SNAGE MAŠINA JEDNOSMERNE STRUJE</u>	84

Elektriène mašine

Konverzija energije

Imamo dve vrste konverzije energije:

- elektrièna u elektriènu – TRANSFORMATORI
- elektrièna u mehanièku – MAŠINE

Elektroenergetski procesi

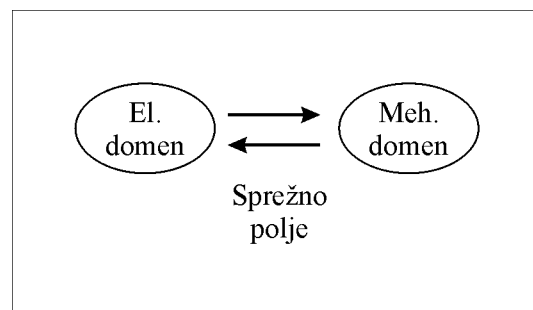
Akumulacija (energija se akumulira u kondenzatorima, zavojnicima i zamajcima – obrtna masa)

- Transformacija
- Elektromehanièka konverzija
- Konverzija u topotu
- Konverzija u EM talas
- Prenos

Prouèavamo transformaciju i elektromehanièku konverziju zbog èega moramo da napravimo:

1. Matematièki model procesa konverzije
2. Zamenske šeme za stacionarna stanja
3. I/O karakteristike
4. Zanemarimo upravljanje procesom konverzije.

Transformacija podrazumeva pretvaranje naizmeniènih napona i struja određene frekvencije u neke druge napone i struje iste frekvencije.

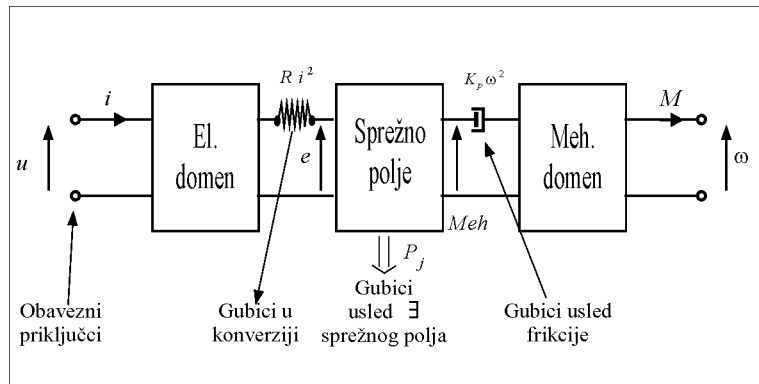


Slika 1. Konverzija

Svaki konvertor ima barem dva prikljuèka sa svetom: elektrièni i mehanièki. Preko elektriènog se razmenjuje energija sa transformatorom. U elektriènom domenu imamo gubitke koji su modelovani sa Ri^2 .

Sprežno polje omoguæuje da se elektrièna snaga konvertuje u mehanièku ili obrnuto. Sprežno polje može biti:

- dominantno elektrièno i
- dominantno magnetno



Slika 2. Blok dijagram elektromehaničkog konvertora

Sve elektromehaničke konvertore delimo na one kod kojih je sprežno polje dominantno električno (elektrostatički konvertori, ima ih relativno malo) i na one kod kojih je dominantno magnetno polje (elektromagnetni konvertori, npr. transformatori)

Veličina mašine zavisi od veličine električnog i mehaničkog domena i prostora koji zauzima sprežno polje.

Snaga konverzije je zavisna od energije polja.

Elektrostatički konvertori (sa \vec{E} poljem)

- statički (pozicioniranje glave na tvrdom disku)
- kondenzatorski mikrofon
- kristali...

Elektromagnetni konvertori (sa \vec{H} poljem)

- transformatori
- električne mašine

Gustina sprežnog polja

$$E$$

$$\frac{1}{2} \epsilon_0 E^2$$

$$\epsilon_0 \sim 10^{-11}$$

$$H$$

$$\frac{1}{2} \mu_0 H^2$$

$$\mu_0 = 4\pi 10^{-7}$$

Kako je $\mu_0 \gg \epsilon_0$ sledi da je energija koja se može akumulirati u magnetnom polju mnogo veća. Zato se najviše prave konvertori sa magnetnim sprežnim poljem.

$$\text{rot } \vec{H} = + \frac{\partial \vec{D}}{\partial t}$$

$$\text{rot } \vec{E} = - \frac{\partial \vec{B}}{\partial t}$$

ako nema kretanja nema ni \vec{H}

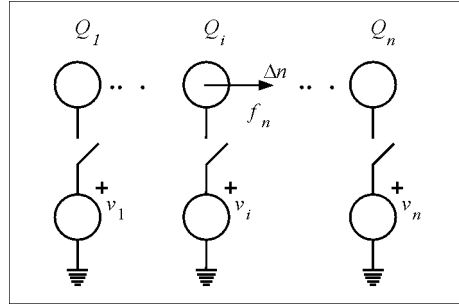
ako nema kretanja nema ni \vec{E}

Da bi postojala konverzija, mora da postoji kretanje. U oba konvertora se zato pojavljuje vektor \vec{P} (Pointingov vektor).

Elektrostatičke mašine

Elektrostatičke mašine sastoje se iz grupe provodnika koji se nalaze u elektrostatičkom polju. Barem jedan od provodnika treba da može da se pokrene.

Za translatoryno kretanje je $W_{meh} = f_r \Delta r$, gde je $f_r \rightarrow$ sila a $\Delta r \rightarrow$ pomjeraj. Za rotaciono kretanje je $W_{meh} = M \Delta q$.



Slika 3.

Prekidaèi provodnici mogu biti prikljuèeni na izvor koji æe održavati njihov napon konstantnim.

$$e = \frac{D}{E} = \text{const za linearu sredinu (polje linearno).}$$

$$Q_j = \sum c_{ij} v_i \quad \text{ili} \quad \begin{bmatrix} Q_1 \\ \vdots \\ Q_n \end{bmatrix} \begin{bmatrix} c_{11} & \cdots & c_{1n} \\ \vdots & & \vdots \\ c_{n1} & \cdots & c_{nn} \end{bmatrix} \begin{bmatrix} v_1 \\ \vdots \\ v_n \end{bmatrix}$$

Energija sprežnog polja W_e :

$$W_e = \frac{1}{2} \int_V \rho v dV + \frac{1}{2} \int_S \sigma v dS$$

$$W_e = \int_V \left(\int_E \vec{E} d\vec{D} \right) dV$$

$$W_e = \frac{1}{2} \sum_i \sum_j c_{ij} v_i v_j$$

a) Izvori nisu prikljuèeni: (konstantno Q)

W_i	W_e	W_{meh}
energija izvora	energija sprežnog polja	energija meh. sistema
nema	komunikacije	

Sledeæa formula uvek važi:

$$f_r = - \frac{\partial W_e}{\partial r} \Big|_{Q=\text{const}}$$

Sila je parcijalni izvod energije po pomaku. Samo za linearu sredinu je:

$$f_r = - \frac{1}{2} \sum_i \sum_j v_i v_j \frac{\partial c_{ij}}{\partial r}$$

b) Izvori su prikljuèeni: (konstantno U)

$$\text{Ukupan rad svih izvora dat je sa } dW_i = \sum_j U_j dQ_j.$$

Sam proces konverzije zahteva da barem neki od koeficijenata c_{ij} bude funkcija pomeraja ∂r (inaèe nema konverzije).

Energija koju daje izvor se deli na uveæanje energije polja i uveæanje energije mehanièkog sistema.

$$dW_i = dW_e + dW_{meh}$$

$$dW_i = \sum_i \sum_j v_i v_j \frac{\partial c_{ij}}{\partial r} dr = \frac{1}{2} \sum_i \sum_j v_i v_j \frac{\partial c_{ij}}{\partial r} dr + f_r dr$$

Varijacija Q_i je prouzrokovana varijacijom c_{ij} , jer su potencijali konstantni.

Za linearu sredinu je:

$$dW_i = 2 \cdot dW_e \Rightarrow f_r = \frac{\partial W_i}{\partial r} - \frac{\partial W_e}{\partial r} = + \frac{\partial W_e}{\partial r} \Big|_{U=\text{const}}$$

Za nelinearnu sredinu imamo da je:

$$W'_e = \int_V \left(\int D dE \right) dV$$

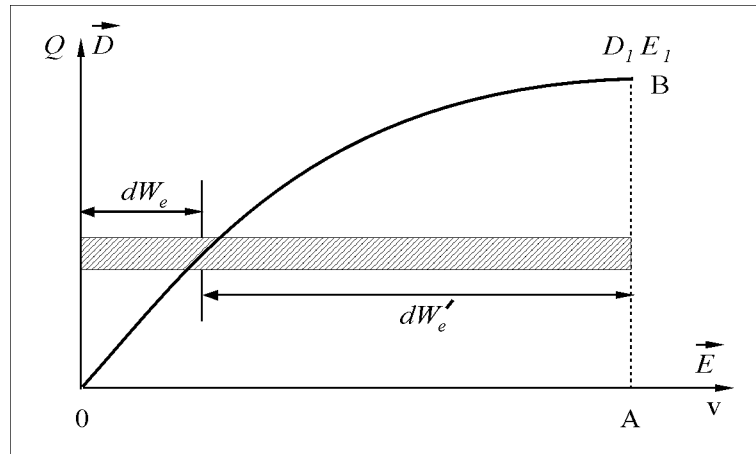
pa je taèan izraz:

$$f_r = + \frac{\partial W'_e}{\partial r} \Big|_{U=\text{const}}$$

U sluèaju da je sredina linearna $D = \epsilon E$, pa je za linearan dielektrik:

$$\int \vec{D} d\vec{E} = \int \vec{E} d\vec{D} \Rightarrow \text{koenergija} = \text{energija}$$

Gornja formula ne važi kod nelinearnog dielektrika.



Slika 4.

Za nelinearne imamo:

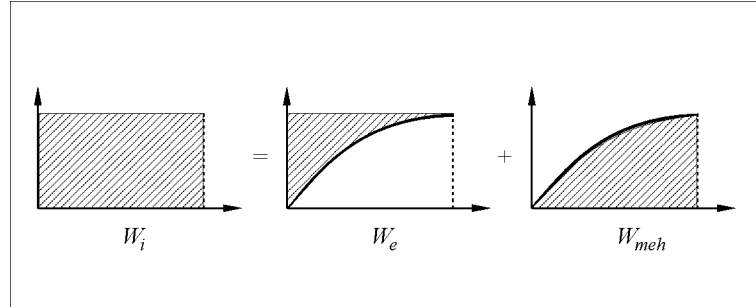
$$W_e = \int_v \left(\int \vec{E} d\vec{D} \right) dv \Rightarrow \int v dq$$

$\int \vec{E} d\vec{D}$ je specifična gustina energije polja.

Kolika je ukupna energija koju mora da uloži izvor da bi stigao u tačku D_1, E_1 ?

Na putu OA provodnici su daleko pa su C_{ij} su vrlo niske i pretpostavljamo da nema ni rada.

Kad poèemo da približavamo provodnike, put AB, održavamo konstantan potencijal, C_{ij} raste, priraštaj energije izvora je $dW_i = U dq$, površina šrafirana na Slici 4.



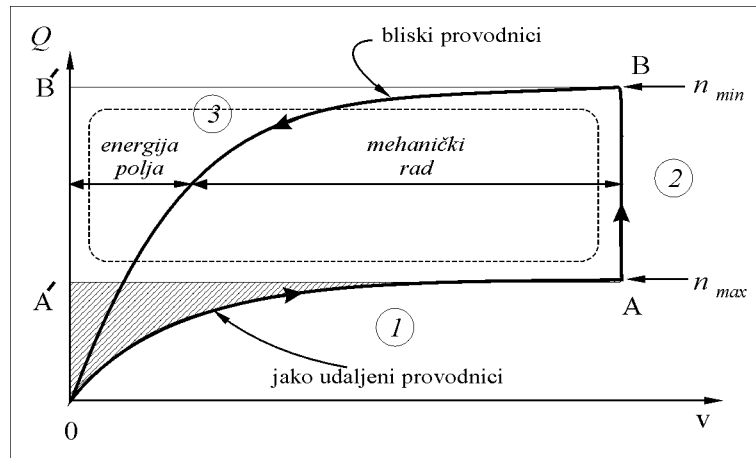
Slika 5.

Koenergija ne postoji, ona je samo pojam, ona odgovara iznosu energije koji je pretvoren u mehanièki rad.

Priraštaj mehanièkog rada je jednak priraštaju koenergije.

$$dW_{meh} = f_r dr = dW'_e$$

Svaki proces konverzije se obavlja u ciklusima. Tipičan ciklus razmene energije:



Slika 6.

Pretpostavka je da imamo sistem sa 2 provodnika od kojih je jedan uzemljen, drugi prikljuèen na neki izvor a rastojanje izmeðu njih može da varira.

1. Na putu OA nema pomeraja pa nema ni mehanièkog rada. Pretpostavimo da je napon na izvoru variabilan, tako da bez gubitaka postepeno poveæavamo Q , a energija izvora prenosi se elektrostatistièkoj energiji $W_i \Rightarrow W_e$. Na grafiku, W_e je proporcionalno sa OAA' (ako imamo C prikljuèen na idealni naponski izvor, struja punjenja ne može da bude beskonaèna jer pola energije izvora CU^2 odlazi na emitovanje EMT a na C-u ostaje druga polovina).

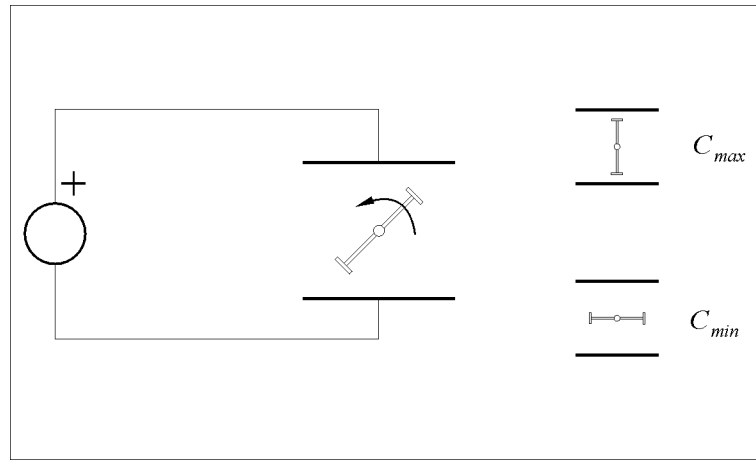
2. Na AB potencijal izvora $U=\text{const.}$, $r \downarrow$, $c \uparrow$, Q provodnika \uparrow pa energija koju daje izvor:

$$W_i = U(Q_B - Q_A)$$

Na grafiku je ova energija prikazna delom površine $ABB'A'$. Jedan deo ove energije ide na mehanički rad, a delom u uvećanje energije polja.

3. Kako je $r=\text{const}$ onda nema više mehaničkog rada $dW_{meh} = 0$ pa se $W_e \Rightarrow W_i$, energija polja vraća se nazad u izvor. Izvor preuzima na sebe nanelektrisanje Q_B . Da bi ovo bilo moguće, mora postojati mogućnost kontinualne promene napona izvora.

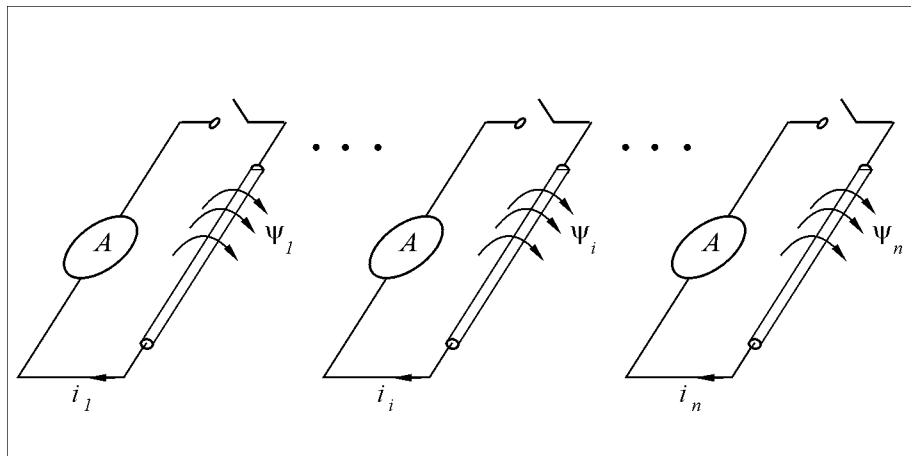
Ukupno izvor je emitovao energiju proporcionalnu površini koju opisuje radna tačka, što je energija koja se pretvara u mehanički rad. Da bi smo nastavili proces dalje potrebno je udaljiti provodnike, da se ne bi stalno povećavao razmak provodnika (translatorno kretanje) prave se obrtni konvertori (mašine).



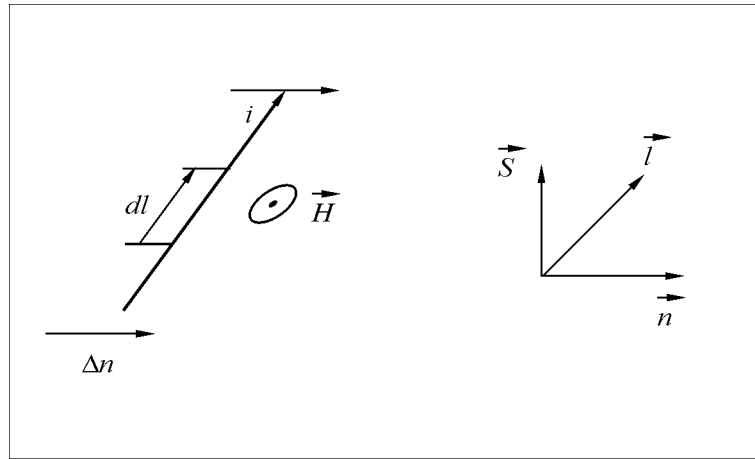
Slika 7.

Konvertor sa magnetskim sprežnim poljem

Sastoji se od velikog broja provodnika koji mogu, ali ne moraju da budu priključeni na strujne izvore.



Slika 8.



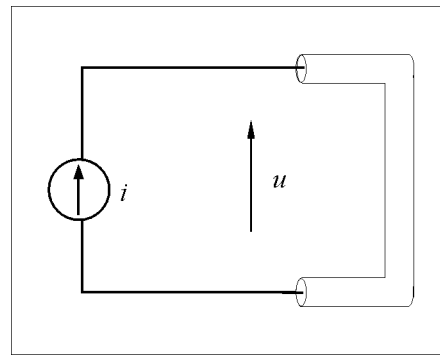
Slika 9. (greška na slici: vektori n i Δn su ispravno vektori r i Δr)

$$d\vec{f} = i \cdot d\vec{l} \times \mu_0 \vec{H}$$

$$d(\Delta W_{meh}) = d\vec{f} \cdot \Delta \vec{r} = i \cdot d\vec{l} \times \vec{B} \cdot \Delta \vec{r} = i \cdot \Delta \vec{r} \times d\vec{l} \cdot \vec{B}$$

gde je $\Delta \vec{r} \times d\vec{l} = d\vec{S}$ površina normalna na ravni $d\vec{l}$ i $\Delta \vec{r}$, a $d(\Delta W_{meh}) = i d\vec{S} \cdot \vec{B} = i d\Psi$ – fluks.

Snaga izvora se troši na pokrivanje gubitaka u konverziji i na mehanički rad.



Slika 10.

$$u = R i + \frac{d\Psi}{dt}$$

$$P_{izv} = R i^2 + i \frac{d\Psi}{dt} = R i^2 + \frac{dW_{meh}}{dt}$$

gde su $R i^2$ – gubici nastali tokom konverzije a $i \frac{d\Psi}{dt}$ – mehanički rad.

Kako je $\frac{d\Psi}{dt} = e \approx EMS$ imamo

$$e \cdot i = \frac{d\Psi}{dt} i = \frac{d\Psi \cdot i}{dt} = \frac{dW_{meh}}{dt} = Fv = M \omega$$

gde je $\mathbf{v} = \dot{\mathbf{r}}$. Na ovaj način se povezuje električni sa mehaničkim sistemima ($e i = M\omega$).

Energija sprežnog polja :

$$W_m = \int_V \left(\int \vec{\mathbf{H}} d\vec{\mathbf{B}} \right) dV = \frac{1}{2} \sum_i \sum_j i_i i_j L_{ij}$$

gde je $\int \vec{\mathbf{H}} d\vec{\mathbf{B}}$ gustina magnetne energije.

$$W_m = \frac{1}{2} \sum_k \Psi_k i_k = \sum_j L_{jk} i_j i_k$$

ovde je L_{jk} –međusobna induktivnost provodnika.

a) Izvori nisu priključeni

Ako izvori nisu priključeni provodnici su kratko spojeni (imamo n k.s. kontura) (Kod elektrostatičkog bila su konstantna nanelektrisanja)

$$u_j = 0 = R_j i_j + \frac{d\Psi_j}{dt}$$

član $R_j i_j$ možemo izbrisati ako zanemarimo gubitke $\Rightarrow \frac{d\Psi_j}{dt} = 0 \Rightarrow \Psi_j = \text{const}$.

Na račun umanjenja energije polja možemo uvećavati energiju mehaničkog sistema.

Za linearu sredinu (samo za nju možemo definisati induktivnosti)

$$f_r = -\frac{\partial W_m}{\partial r} \Big|_{\Psi=\text{const}} = -\frac{1}{2} \sum_i \sum_j i_i i_j \frac{\partial L_{ij}}{\partial r}$$

Za nelinearnu sredinu važi $f_r = -\frac{\partial W_m}{\partial r}$.

b) Izvori su priključeni (konstantne struje)

Za linearu sredinu

$$dW_{izv} = \sum_i I_i d\Psi = \sum_i \sum_j I_i I_j \frac{\partial L_{ij}}{\partial r} \cdot dr$$

$$dW_{meh} = dW_{izv} - dW_m$$

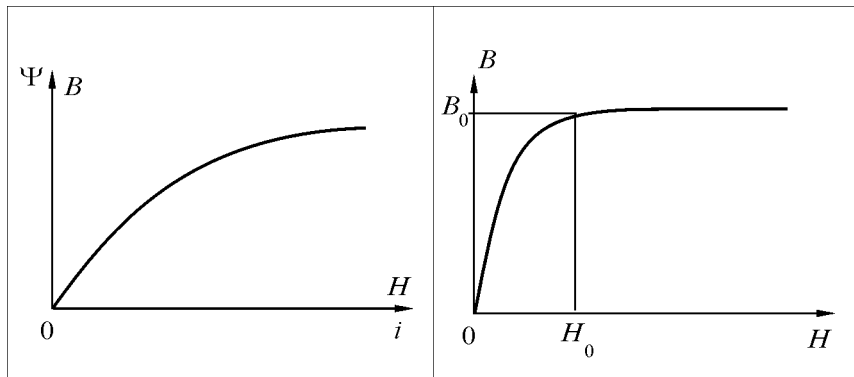
dW_m – je promena energije magnetnog polja.

Za linearan slučaj

$$dW_{izv} = 2 dW_m \rightarrow f_r = +\frac{\partial W_m}{\partial r} \Big|_{i=\text{const}}$$

Treba ovo razlikovati od $f_r = -\frac{\partial W_m}{\partial r} \Big|_{\Psi=\text{const}}$.

Nelinearna B–H karakteristika vrlo je èesta kod mašina, jer se magnetno sprežno polje realizuje pomoæu materijala koji èesto odlaze u zasiæenje.



Slika 11.

Ovakvu krivu je teško matematièki modelovati, ali se može aproksimirati sa :

$$\left(\frac{H}{H_0} \right) = \beta \left(\frac{B}{B_0} \right) + (1 - \beta) \left(\frac{B}{B_0} \right)^s$$

$$b = 0,8 \text{ a } s = 9$$

Za nelinearni feromagnetik

$$W_m' = \int_V \left(\int \vec{B} d\vec{H} \right) dV = \int \Psi di$$

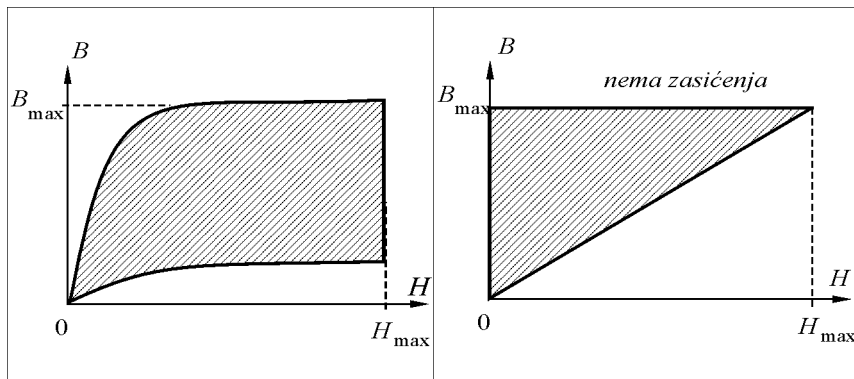
gde je $\int \Psi di$ koenergija.

$$f_r = + \frac{\partial W_m'}{\partial r} \Big|_{i=\text{const}}$$

izraz je analogan kao za elektrostatièke mašine.

Ako je sredina linearna $\int \vec{H} d\vec{B} = \int \vec{B} d\vec{H}$ pa sledi da je energija jednaka koenergiji.

Predhodni izraz za W_m' se može koristiti za izraèunavanje energije.

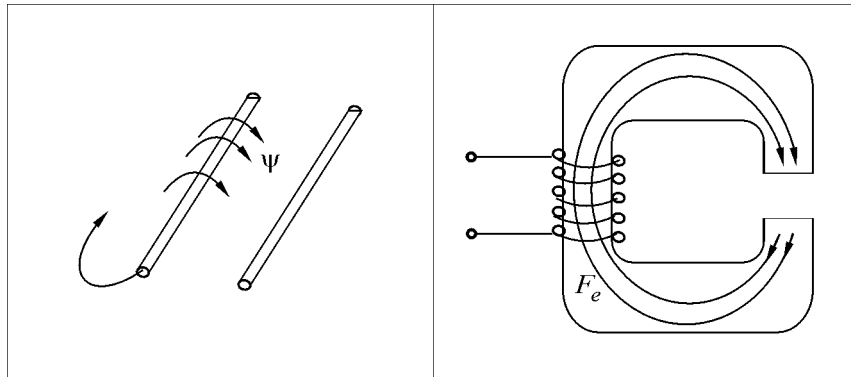


Slika 12.

U pogledu cikliènosti, jako je pogodno imati magnetni materijal koji ide u zasiæenje. Proizvod $H_{\max} B_{\max}$ na neki naèin odreðuje velièinu mašine. Ukoliko materijal ulazi u zasiæenje, uz

iste koordinate krajnje taèke B_{\max}, H_{\max} , konvertujemo skoro dva puta više energije u mehanièku nego u sluèaju kada imamo linearan magnetski materijal.

Nadalje æemo izuèavati konvertore sa magnetskim sprežnim poljem.



Slika 13.

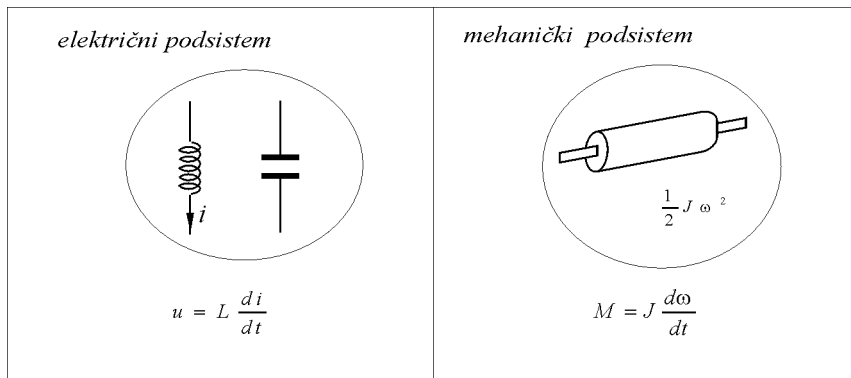
Fluks se ne prostire kroz vakum, veæ kroz magnetno kolo velike permeabilnosti μ (da bi se smanjili gabariti kola). Uvek postoji i strujno kolo. Treba uoèiti i razlikovati kod svake mašine šta je magnetsko a šta strujno kolo.

Prouèavaæemo obrtne mašine, nepokretan deo stator, pokretan deo rotor i vazdušni zazor izmeðu.

Lagranžov formalizam

To je pristup modelovanju procesa elektromehanièke konverzije.

U svakom elektromehaničkom sistemu može se uočiti električni i mehanički podsistemi.



Slika 14.

Na slikama su prikazane komponente koje akumuliraju energiju.

Ukliko se radi o linearnim sredinama, tada je zavisnost između koordinate stanja koje definije energiju (ovde je to struja) i same energije linearna. Isto tako sila, moment ili napon koji teže da izmene izvod konkretnе koordinate stanja uticae na linearan način na izmenu koordinate stanja.

Međutim, izrazi $\frac{di}{dt} = \frac{U}{L}$ i $\frac{dW}{dt} = \frac{M}{J}$ nisu uvek takvi i važe samo u sluèaju linearne sredine.

Naime ako bi imali zavisnost L od i $L(i)$ tada bi važilo:

$$u = \frac{\partial L}{\partial i} \frac{\partial i}{\partial t} + L(i) \frac{di}{dt}$$

Ukoliko sad napišemo izraz za energiju $W_L = \frac{1}{2} Li^2$ i uočimo $\frac{\partial W_L}{\partial t} = Li$ dobijamo izraz koji i za linearnu i za nelinearnu sredinu daje zavisnost između strmine promene koordinate stanja i energije i generalizovane sile.

$$\frac{d}{dt} \left(\frac{\partial W_L}{\partial t} \right) = u$$

I – set jednačina koje prelazne procese u jednom elektromehaničkom konvertoru opisuje koristeći energiju umesto promenljivih stanja zove se LAGRANŽOV FORMALIZAM.

II – set jednačina koji opisuje dinamičko ponašanje elektromehaničkih sistema u funkciji W_p i W_k (umesto u funkciji koordinate stanja) zove se Lagranžov formalizam.

W_p –potencijalna energija

Potencijalna energija zavisi od položaja nanelektrisanja, mase...

Koordinate koje definišu W_p su q – ugao, l – visina, Q – nanelektrisanje.

Tako imamo da je $W_p = mq l$ ili $W_p = \frac{Q^2}{2C}$.

W_k –kinetička energija

Kinetička energija je ona energija koja egzistira zahvaljujući kretanju.

W_k jedne obrtne mase zavisi od ugaone brzine $w \rightarrow \dot{q}$

W_k tela koje se kreće zavisi od brzine tela $v \rightarrow \dot{l}$

W_k jedne prigušnice zavisi od nanelektrisanja u pokretu (struja) $i \rightarrow \dot{Q}$.

U Lagranžovom formalizmu ove koordinate stanja æemo obeležavati sa q .

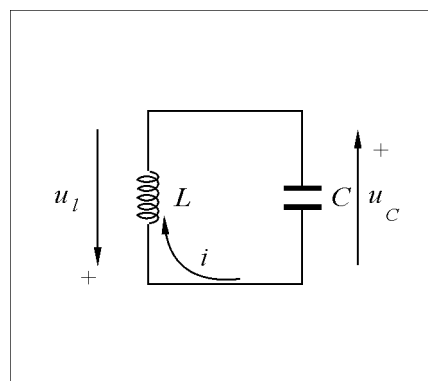
q_1, \dots, q_n – ovih koordinata je po pravilu dvostruko manje nego što ima koordinata stanja u klasičnom pristupu. Ove koordinate stanja (w, v, i) su izvodi koordinata stanja koje definišu W_p .

$$W_k = f_k \left(\dot{q}_1, \dots, \dot{q}_n, q_1, \dots, q_n, t \right)$$

$$W_p = f_p (q_1, \dots, q_n)$$

ove jednačine važe kada sistem nije linearan i stacionaran.

Jedna generalizovana koordinata stanja q može se prikazati



Slika 15.

Izraz koji važi i za nestacionarni sistem, pod uslovom da je linearan:

$$W_p = f_p(q) = \frac{q^2}{2c}$$

$$W_k = f_k\left(\dot{q}\right) = \frac{1}{2}L\dot{q}^2$$

$$u_C + u_L = 0$$

$$\frac{q}{c} + L\ddot{q} = 0 \Rightarrow \frac{\partial W_p}{\partial q} + \frac{d}{dt}\left(\frac{\partial W_k}{\partial q}\right) = 0$$

Gubici

Rayleigh–eva funkcija gubitaka glasi

$$F = \frac{1}{2} \sum_i K_c \dot{q}_i^2$$

bez obzira da li se radi o električnom ili mehaničkom sistemu, gubici postoje samo ako ima kretanja i srazmerni su izvodu generalizovane koordinate stanja.

Definišimo generalizovane sile:

$$u \rightarrow \text{teži da promeni } Q \ i \ i$$

$$F \rightarrow \text{teži da izmeni rastojanje i brzinu } l, v$$

$$M \rightarrow \text{teži da izmeni ugao } q \ i \ w.$$

Sve ove sile koje imamo na priključcima elektromehaničkog konvertora i koje teže da izmene neku od generalizovanih koordinata stanja i njen izvod nazivamo generalizovane sile.

Opšti oblik Lagranžove jednačine:

$$\frac{d}{dt}\left(\frac{\partial W_k}{\partial \dot{q}_i}\right) - \frac{\partial W_k}{\partial q_i} + \frac{\partial W_p}{\partial q_i} + \frac{\partial F}{\partial \dot{q}_i} = p.$$

Gde je p – n-dimenzionalni vektor generalizovanih sila a $i \in [1, \dots, n]$

Imamo n ovakvih jednačina. Mnoge od ovih jednačina æe se završavati sa 0, a ne sa p . Generalizovanih sila ima onoliko koliko ima priključaka sa spoljašnjim svetom. U gornjoj jednačini tvrdimo da jedan sistem reda $2n$ može da se opiše sa n diferencijalnih jednačina, međutim imamo još n jednačina koje glase:

$$\dot{q}_1 = \frac{d}{dt}q_1, \dots, \dot{q}_n = \frac{d}{dt}q_n.$$

Lagranžijan:

$$L = W_k - W_p,$$

$$\frac{d}{dt}\left(\frac{\partial L}{\partial \dot{q}}\right) - \frac{\partial L}{\partial q} + \frac{\partial F}{\partial \dot{q}} = p.$$

Za konzervativan sistem (nema prikljuèaka sa spoljašnjim svetom, nema frikcije) važi:

$$\frac{d}{dt} \left(\frac{\partial L}{\partial \dot{q}} \right) - \frac{\partial L}{\partial q} = 0$$

Ovakav sistem niti uzima energiju niti ima gubitaka.

Elektromehnièki konvertor sa n spregnutih kontura

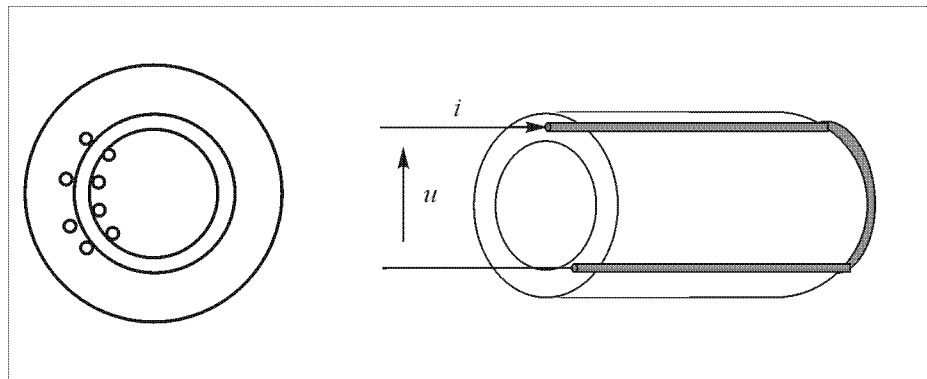
Analiziraæemo cilindriène generatore sa nekoliko namotaja (koji rade na magnetnom principu).

Za ovakvu konturu važi jednaèina naponskog balansa:

$$u_i = R_i i_i + \frac{d}{dt} y_i$$

$$u_i = \frac{\partial F}{\partial \dot{q}_i} + \frac{\partial}{\partial t} \left(\frac{\partial W_k}{\partial \dot{q}_i} \right)$$

F -je Rayleigh-eva funkcija gubitaka.



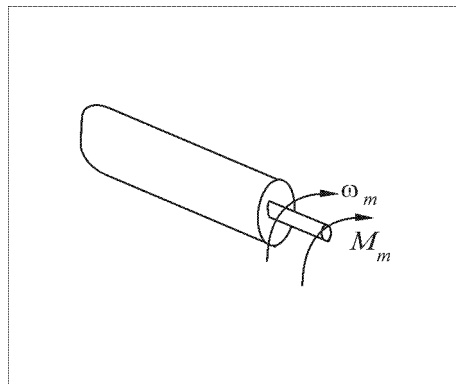
Slika 16.

Najpre æemo izraèunati èemu je jednaka elektrièna snaga koju sistem izvora (može biti do n izvora) saopštava

$$P_e = \vec{i}^T \vec{u},$$

$$P_m = M_m W_m.$$

ovo važi za sisteme sa samo jednom izlaznom osovinom.



Slika 17.

Za svaku dalju analizu elektromehaničkih konvertora moramo načinuti neke pretpostavke:

1. Sistem sa skoncentrisanim parametrima (zanemariamo ēinjenicu da trebamo prouèavati fluks Pointigovog vektora, da je energija raspodeljena u prostoru)
2. Smatramo da se efekti parazitnih kapacitativnosti namotaja i efekti energije akumulirane u elektriènom polju mogu zanemariti

$$\epsilon E^2 \ll mH^2$$

3.– Zanemarujemo gubitke u sprežnom polju (magnetnom polju) P_{Fe} .

4.– Zanemarujemo efekte nelinearnosti i smatramo da je sistem linearan.

$$\frac{B}{H} = \frac{\Delta B}{\Delta H} = C^{tc} = \text{const}$$

Definišemo vektore:

$$\vec{\mathbf{u}} = [u_1, \dots, u_n]^T,$$

$$\vec{\mathbf{i}} = [i_1, \dots, i_n]^T,$$

$$\vec{\mathbf{y}} = [y_1, \dots, y_n]^T,$$

$$\bar{R} = \text{diag}[R_1, \dots, R_n].$$

$\vec{\mathbf{i}}$ – je vektor struje, a $\vec{\mathbf{y}}$ – je vektor fluksnog obuhvata i tada se jednaèina naponskog balansa može napisati kao :

$$\vec{\mathbf{u}} = \bar{\mathbf{R}} \vec{\mathbf{i}} + \frac{d}{dt} (\vec{\mathbf{y}})$$

n–diferencijalnih jednaèina naponskog bilansa u potpunosti definišu dinamiku elektriènog podsistema.

$$\vec{\mathbf{y}} = \bar{\mathbf{L}} \vec{\mathbf{i}}$$

$\vec{\mathbf{y}}$ – posledica delovanja u svim konturama, a $L_{ij} = f(q, l)$ sopstvena i međusobna induktivnost mogu biti funkcije položaja kontura.

$$y_1 = L_{11} i_1 + \cdots + L_{1i} i_i + \cdots + L_{1n} i_n.$$

Postojanje struje u bilo kojoj konturi može doprineti povećanju ili smanjenju y_1 .

Ukoliko je sistem linearan:

$$\frac{\partial L_{ij}}{\partial i} = 0 \Big|_{\forall i},$$

$$\vec{L} = \begin{bmatrix} L_{11} & \cdots & L_{1n} \\ \vdots & \ddots & \vdots \\ L_{n1} & \cdots & L_{nn} \end{bmatrix},$$

gde matrica ima osobinu $\vec{L} = \vec{L}^T$. Koeficijenti na glavnoj dijagonali su koeficijenti sopstvene induktivnosti, ostali koeficijenti su međusobne induktivnosti, (koeficijenti iznad ili ispod glavne dijagonale mogu biti i negativni što zavisi od načina motanja navojaka).

Energija sprežnog polja za linearan sistem je:

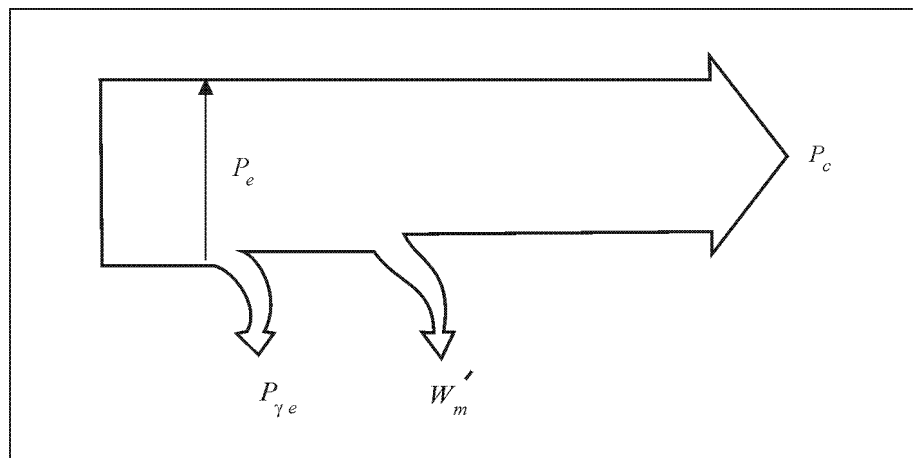
$$W_m = \frac{1}{2} \vec{i}^T \vec{L} \vec{i} = \frac{1}{2} \sum_i \sum_j L_{ij} i_i i_j.$$

Električna snaga:

$$P_e = \vec{i}^T \vec{v} = \vec{i}^T (\vec{R} \vec{i}) + \vec{i}^T \cdot \frac{d}{dt} (\vec{L} \vec{i}),$$

$$P_e = \sum R_i i_i^2 + \vec{i}^T \cdot \frac{d\vec{L}}{dt} \vec{i} + \vec{i}^T \vec{L} \cdot \frac{d}{dt} (\vec{i}) = P_{ge} + \frac{dW_m}{dt} + P_c.$$

Zahvaljujući ēinjenici da je \vec{R} dijagonalna matrica sledi da su gubici u el. sistemu $P_{ge} = \sum R_i i_i^2$ i $P_e - P_{ge} = \frac{dW_m}{dt} + P_c$ je uvećanje energije sprežnog polja i snaga konverzije (mehanička koja je konvertovana iz električne).



Slika 18.

Izvođenje P_c

$$P_c = P_e - P_{g_e} - \frac{dW_m}{dt} = \dot{\mathbf{i}}^T \cdot \frac{d\vec{\mathbf{L}}}{dt} \dot{\mathbf{i}} + \dot{\mathbf{i}}^T \vec{\mathbf{L}} \cdot \frac{d(\dot{\mathbf{i}})}{dt} - \frac{1}{2} \frac{d}{dt} \left(\dot{\mathbf{i}}^T \vec{\mathbf{L}} \dot{\mathbf{i}} \right),$$

$$P_c = \dot{\mathbf{i}}^T \cdot \frac{d\vec{\mathbf{L}}}{dt} \dot{\mathbf{i}} + \dot{\mathbf{i}}^T \vec{\mathbf{L}} \cdot \frac{d(\dot{\mathbf{i}})}{dt} - \frac{1}{2} \left(\frac{d}{dt} \cdot \dot{\mathbf{i}}^T \right) \vec{\mathbf{L}} \dot{\mathbf{i}} - \frac{1}{2} \dot{\mathbf{i}}^T \frac{d}{dt} (\vec{\mathbf{L}}) \dot{\mathbf{i}} - \dot{\mathbf{i}}^T \vec{\mathbf{L}} \cdot \frac{d(\dot{\mathbf{i}})}{dt},$$

$$P_c = \frac{1}{2} \dot{\mathbf{i}}^T \left(\frac{d\vec{\mathbf{L}}}{dt} \right) \dot{\mathbf{i}} + \frac{1}{2} \dot{\mathbf{i}}^T \vec{\mathbf{L}} \cdot \frac{d(\dot{\mathbf{i}})}{dt} - \frac{1}{2} \frac{d}{dt} \left(\dot{\mathbf{i}}^T \right) \vec{\mathbf{L}} \dot{\mathbf{i}}.$$

Pošto je matrica $\dot{\mathbf{i}}$ recipročna onda je svaki od izraza gde ona figuriše jednak $\frac{1}{2} \sum \sum L_{ij} i_i \left(\frac{d}{dt} i_i \right)$ pa se može skratiti tako da glasi:

$$P_c = \frac{1}{2} \dot{\mathbf{i}}^T \left(\frac{d\vec{\mathbf{L}}}{dt} \right) \dot{\mathbf{i}}.$$

Sve mašine koje posmatramo biće obrtne, koeficijenti L æe zavisiti od t iskljuèivo što æe oni zavisiti od ugla q_m : $\omega_m = \dot{q}_m$

$$P_c = \omega_m \cdot \frac{1}{2} \dot{\mathbf{i}}^T \left(\frac{d\vec{\mathbf{L}}}{d\theta_m} \right) \dot{\mathbf{i}}.$$

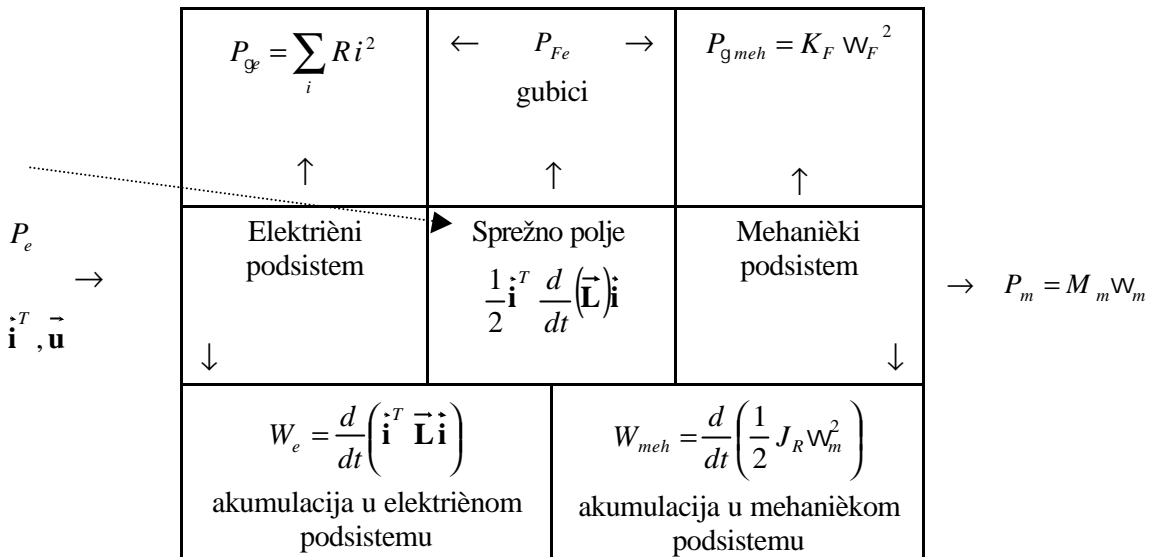
Iz svega možemo zakljuèiti da elektromagnetski moment koji je mera mehanièke interakcije izmeðu pokretnog i nepokretnog dela mašine uz prepostavke date ranije (od 1 do 4) glasi:

$$M_{em} = \frac{1}{2} \dot{\mathbf{i}}^T \left(\frac{d\vec{\mathbf{L}}}{d\theta_m} \right) \dot{\mathbf{i}}$$

$M_{em} \neq M_m$ nije jednak momentu na izlaznom mehanièkom delu mašine (zato što postoji akumulacija energije u inercijama i gubici usled frikvcije, ventilacije)

$$P_c = M_{em} \omega_m.$$

Blok dijagram elektromehanièke konverzije u konvertoru sa n sprež nih kontura



Rotor ima svoj moment inercije J_R (zavisi od mase, polupreènika). Obrtanje rotora izaziva nekakvo trenje, i to se nazivaju *Rayleigh–eva gubici*. Zbog toga se javlja moment frikcije koji je proporcionalan ugaonoj brzini obrtanja rotora:

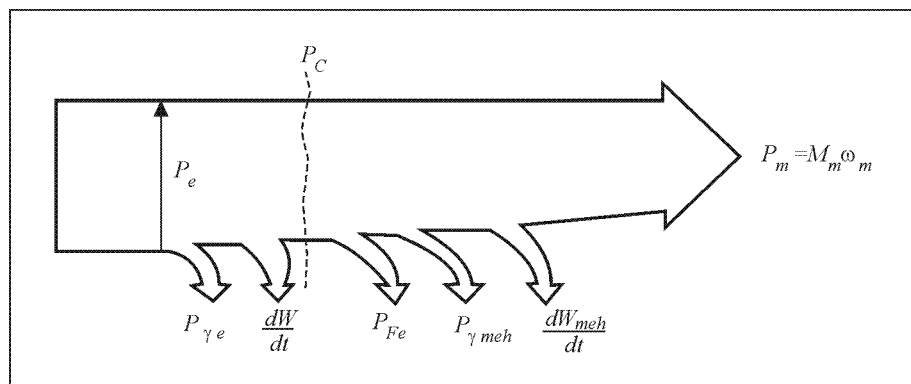
$$M_F = K_F W_m.$$

Pojavljuju se gubici $P_{gmech} = K_F W_m^2$

Pošto smo prepostavili da imamo samo jednu izlaznu osovinu sledi da æe diferencijalne jednaèine koje opisuju prelazne pojave u mehanièkom podsistemu biti proste (Njutnova jednaèina):

$$J_R \frac{dW_m}{dt} = M_{em} - K_F W_m - M_m.$$

Za ovaku mašinu treba znati dijagram bilansa snage:



Slika 19.

Matematièki model:

1. n -diferencijalnih jednaèina naponskog bilansa za konverziju sa n kontura

$$\vec{u} = \vec{R} \vec{i} + \frac{d}{dt} \vec{\phi}.$$

2. $\vec{u} = \vec{L} \vec{i}$. –može biti i nelinearna, ali u svakom sluèaju mora biti nestacionarna (nema parcijalnog izvoda \vec{L} pa je snaga

konverzije jednaka nuli) mora biti kretanja

3. $M_{em} = \frac{1}{2} \dot{\mathbf{i}}^T \cdot \frac{d}{d\theta} \vec{\mathbf{L}} \cdot \dot{\mathbf{i}}$.
4. Njutnova jednačina opisuje prelazne pojave u elektromehaničkom sistemu

$$J_R \frac{dW_m}{dt} = M_{em} - K_F W_m - M_m.$$

Podela na jednostrano i dvostrano napajane mašine

Ukoliko je nestacionaran element matrice $\vec{\mathbf{L}}$, $\vec{\mathbf{L}}_{ii}$ (sopstvena induktivnost) dobija se jednostrano napajanje.

Ukoliko je to $\vec{\mathbf{L}}_{ij}$ (međusobna induktivnost) sledi da je mašina dvostrano napajana.

Jednostrano napajane mašine su :

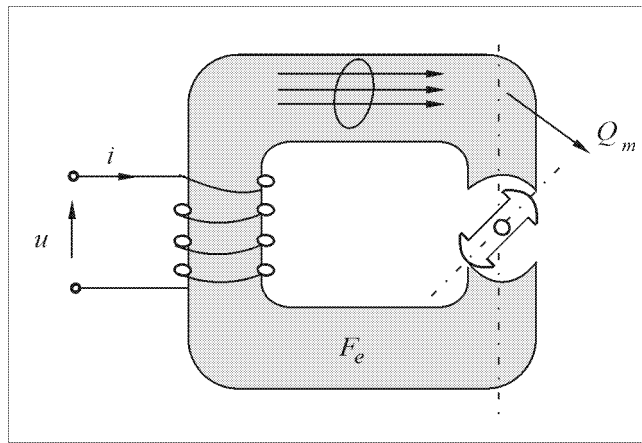
- asinhroni (indukcioni – Teslin) motori
- reluktantni motori
- rele
- step motor

$$M_{em} \sim \Psi_1^2.$$

Dvostrano napajane mašine su mašine jednosmerne struje (MJSS), sinhroni...

$$M_{em} \sim \Psi_1 \Psi_2 \sim i_1 i_2.$$

Magnetno kolo jedne jednostrano napajane mašine (veoma često, ali ne uvek, jednostrano napajana mašina ima konture (namotaje) samo na statoru ili rotoru). Skoro sve dvostrano napajane mašine imaju namotaje i na statoru i na rotoru. Pod namotajem podrazumevamo skup navojaka.



Slika 20. Na slici postoji greška jer je ugao Q_m greškom označen sa Q_m

Magnetno kolo se sastoji iz dva dela, jedan deo je nepokretan i to je stator, drugi deo magnetnog kola je rotor. Strujno kolo čini namotaj.

$$u = R i + \frac{dy}{dt},$$

$$\vec{\mathbf{L}} = \vec{\mathbf{L}}_{11}.$$

Matrica L je skalar (nema spregnutih kontura zato što postoji samo jedan namotaj).

$$R_{\mu} = \frac{F}{\Phi}.$$

F – magnetopobudna sila, R_m magnetni otpor a Φ – fluks kroz magnetno kolo (fluks kroz jedan navojak).

$$y = N\Phi,$$

$$\text{rot } \vec{\mathbf{H}} = \vec{\mathbf{J}} + \frac{\partial \vec{\mathbf{D}}}{\partial t}.$$

Ako zanemarimo efekte $\vec{\mathbf{D}}$ dobijamo kružni integral po $\vec{\mathbf{H}}$

$$\oint_C \vec{\mathbf{H}} d\vec{l} = Ni.$$

Za jedno magnetno kolo konstantnog preseka i konstantne permeabilnosti:

$$R_m = \frac{1}{\mu S_{Fe}} \frac{l}{l},$$

$$\Psi = N \frac{F}{R_m} = \frac{N^2 i}{R_m},$$

$$L = \frac{N^2}{R_m},$$

onda možemo pisati:

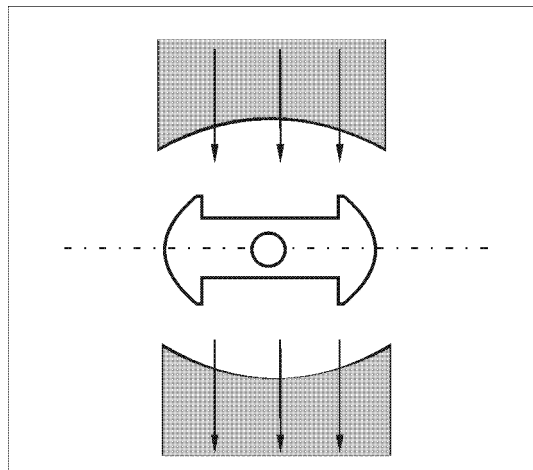
$$\Psi = Li.$$

Magnetni otpor varira u funkciji od q , jer linije magnetnog polja moraju prolaziti kroz vazduh:

$$R_m = f(q_m),$$

$$L_{11}(q_m) = L_{\min} + (L_{\max} - L_{\min}) \frac{1 + \cos(2q_m)}{2}.$$

Funkcija ima maksimum za $q_m = 0$ i minimum za $q_m = \frac{\pi}{2}$.



Slika 21.

$$u = R i + L_{11}(q_m) \frac{di}{dt} + \frac{\partial L_{11}(q_m)}{\partial q_m} W_m \cdot i,$$

$$P_e = ui = Ri^2 + i L_{11}(\theta_m) \frac{di}{dt} + \omega_m \cdot i^2 (L_{max} - L_{min})(-\sin 2\theta_m).$$

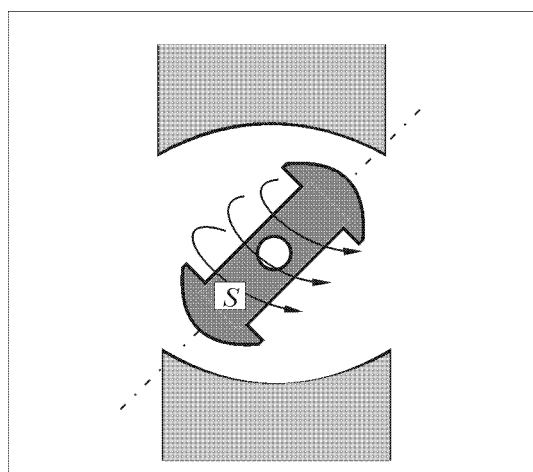
Gde je $P_\varphi = Ri^2$ gubitak u elektriènom podsistemu, $P_c = \omega_m \cdot i^2 (L_{max} - L_{min})(-\sin 2\theta_m)$.

Kod jednostrano napajanih mašina u funkciji pomeraja q varira koeficijent samoinduktivnosti. Po njihovoj prirodi samo jedan deo (rotor ili stator) je napajajan.

Elektromagnetni moment je proporcionalan amplitudi fluksa na kvadrat:

$$M_{em} \sim \Psi_1^2$$

Dvostrano napajane mašine imaju provodnike i na statoru i na rotoru (može biti i bez namotaja na rotoru, ali tada je na rotoru permanentni magnet koji se opet modelira strujnim plaštom).



Slika 22.

$$\begin{aligned} u_1 &= R_1 i_1 + \frac{d}{dt} \Psi_1, \\ u_2 &= R_2 i_2 + \frac{d}{dt} \Psi_2, \end{aligned}$$

$$\begin{bmatrix} \Psi_1 \\ \Psi_2 \end{bmatrix} = \begin{bmatrix} L_{11} & L_{12} \\ L_{21} & L_{22} \end{bmatrix} \cdot \begin{bmatrix} i_1 \\ i_2 \end{bmatrix}.$$

Gde je $L_{11} = L_{22} = L_s = \text{const}$, a $L_{12} = M \cos \theta_m$

$$\begin{aligned} P_e &= u_1 i_1 + u_2 i_2 = \\ &= (R_1 i_1 + R_2 i_2) + \left(i_1 L_{11} \frac{di_1}{dt} + i_1 L_{12} \frac{di_2}{dt} + i_2 L_{22} \frac{di_2}{dt} + i_2 L_{21} \frac{di_1}{dt} \right) + \left(i_1 \frac{dL_{12}}{dt} i_2 + i_2 \frac{dL_{21}}{dt} i_1 \right) \end{aligned}$$

Koeficijenti sopstvenih induktivnosti su konstantni, dok su međusobnih promenljivi.

Svaki od obuhvata ima koeficijente $\Psi_1 = i_1 L_{11} + i_2 L_{22}$.

Elektromagnetni momenat $M_{em} \sim i_1 i_2 \sim \Psi_1 \Psi_2$ je proporcionalan proizvodu dve struje, odnosno dva fluksa kod dvostruko napajanih mašina.

$$P_e = P_{\gamma e} + \frac{d}{dt} (W_m) + \omega_m i_1 i_2 M \sin \theta_m.$$

Ako posmatramo izvod fluksa (u jednom namotaju):

$$\frac{d\Psi_1}{dt} = e_1,$$

$$e_1 = L_{11} \frac{di_1}{dt} + L_{12} \frac{di_2}{dt} + \frac{dL_{12}}{dt} i_2,$$

možemo uočiti dve komponente i to transformatorsku $L_{11} \frac{di_1}{dt} + L_{12} \frac{di_2}{dt}$ i dinamičku $\frac{dL_{12}}{dt} i_2$.

Onaj deo elektromotorne sile koji egzistira i u odsustvu kretanja je transformatorska elektromotorna sila, a u toku kretanja nastaje dinamička.

$$M_{em} \omega_m = P_C.$$

Relacija koja karakteriše konverziju je

$$EI = MW.$$

Dinamička elektromotorna sila u proizvodu sa strujom daje P_C , mera elektromehaničke konverzije sa strane električnog podsistema je $e_d i_1$.

e_d – je posledica varijabilnih koeficijenata u matrici L.

Snaga elektromehaničke konverzije se dobija kao zbir proizvoda $e_d i_1$ za svaki namotaj.

Sa strane mehaničkog podsistema, snaga elektromehaničke konverzije je proizvod mere mehaničke interakcije pokretnog i inertnog dela, koji zovemo elektromagnetni moment, i brzine, stoga moment možemo uvek odrediti kao količnik $\frac{e_d i}{\text{M}}$ = M_{em}

Podela na mašine jednosmerne struje i mašine naizmenične struje

Posmatraæemo idealizovanu cilindriènu mašinu.

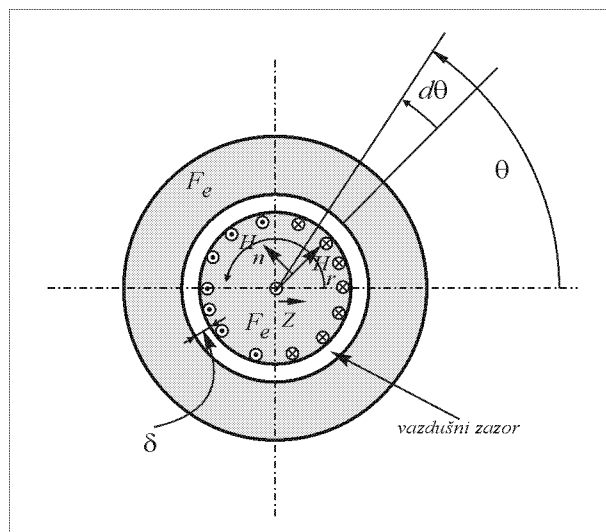
Provodnici su locirani u samom feromagnetiku i njihova gustina je obično sinusno raspodeljena po obimu rotora. Ako na nekoj lokaciji q uoèimo dq tada imamo izvesnu kolièinu provodnika:

$$dN_R = N_R' R dq .$$

$N_R'(q) \sim$ podužna gustina provodnika po jedinici dužine rotorskog namotaja. $N_R'(q) = N_{R\max}' \cdot \cos q$ (pozitivan smer je onaj kada struje ulaze u tablu).

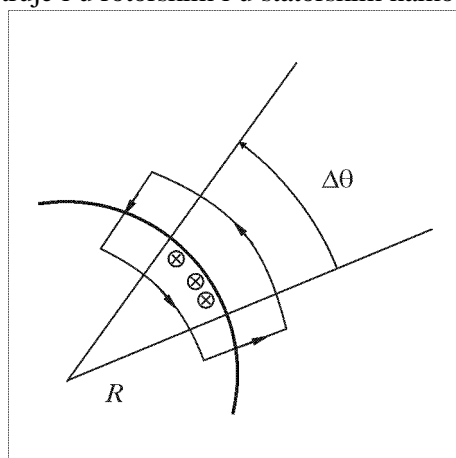
Ukupan broj provodnika $N_{uk} = \int_0^{2p} |N_R'(q)| R dq$, svaki pojedinaèeni provodnik je par

provodniku pomerenom za p .



Slika 24. Greæka na slici: H_q je greækom obeleæeno sa H_n

Samo u vazdušnom zazoru postoji magnetno polje. Ukoliko pretpostavimo da je permeabilnost i u statoru i u rotoru $\mu \rightarrow \infty$, a B mora biti konaèeno ($1,5 - 1,7 \text{ T}$), u samom feromagnetskom materijalu nema polja \vec{H} pa sledi da magnetno polje postoji samo u zazoru. Polje u zazoru je posledica postojanja struje i u rotorskim i u statorskim namotajima.



Slika 25.

Recimo da je mašina zaustavljena: $\omega_m = 0$. Tada egzistiraju samo radijalna i tangencijalna komponenta $\dot{\mathbf{H}} = (\dot{H}_R^r + \dot{H}_R^\theta)$.

Polazeći od toga da je izvornost polja \vec{H} nula tj: $\operatorname{div} \vec{H} = 0$, sledi na nema \vec{z} komponente polja

$$I_R dN_R = I_R N_R' R d\theta = J_R(\theta) R d\theta,$$

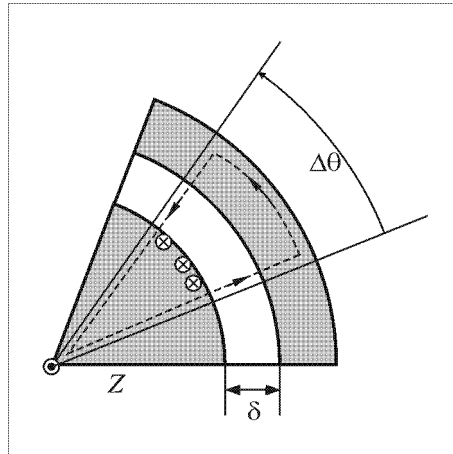
$$J_R(\theta) = J_{R \max} \cos \theta,$$

gde je $J_R(\theta)$ – struja po jedinici dužine (linijska gustina struje), a $J_{R \max} = I_R N_{R \max}$.

$$\int \vec{H} d\vec{l} = R \Delta \theta H_R^\theta = -R \Delta \theta J_R(\theta) \Rightarrow H_R^\theta(\theta) = -J_R(\theta).$$

Minus u izrazu $-J_R(\theta)$ ide zbog suprotnog smera u odnosu na smer struje.

Tangencijalna komponenta polja \vec{H} uz samu površinu statora u vazdušnom zazoru je nula pod uslovom da ima struje u statoru.



Slika 26.

Zbog $m \rightarrow \infty$ \vec{H} je u statoru i rotoru jednako nuli, iz čega sledi da \vec{H} postoji samo u vazdušnom zazoru d (obično oko 1 do 1,5 mm).

$$\delta H_R^r(0) - \delta H_R^r(\theta) = - \int J_R(\theta) R d\theta \Rightarrow$$

$$\Rightarrow \delta H_R^r(0) - \delta H_R^r(\theta) = -R J_{R \max} \sin \theta.$$

Minus ispred integrala je zbog smera struje u odnosu na konturu.

$$H_R^r(\theta) = H_R^r(0) + \frac{R}{\delta} J_{R \max} \sin \theta,$$

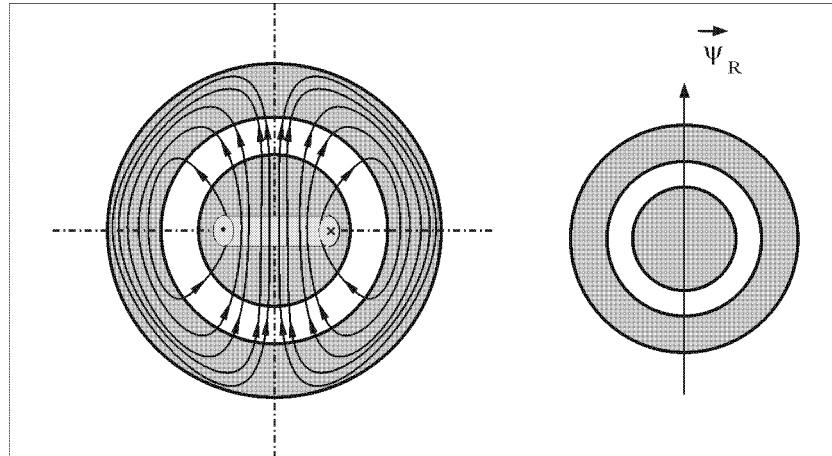
gde je R poluprečnik konture.

$H_R^r(\theta) \gg H_R^\theta$ – dominantna komponenta polja je radijalna. d treba da bude što je moguće manje kako bi akumulirana energija u polju bila manja (manja reaktivna snaga), time se smanjuju dimenzije mašina.

Najveća gustina polja je na $\frac{p}{2}$ i $\frac{3p}{2}$.

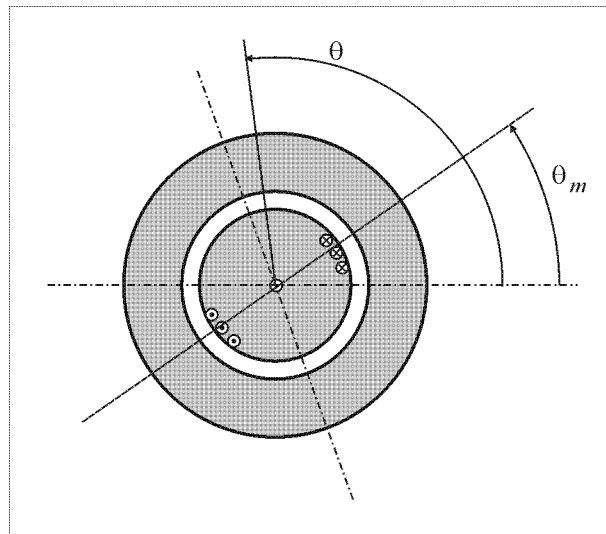
Rečimo da je $\vec{\Phi}_R$ (fluks) orijentisan tako da mu se vrh (pravac) podudara sa zonama gde je magnetno polje najgušće i da mu je amplituda proporcionalna ukupnom fluksnom obuhvatu kroz ovu površinu.

Sve linije se zatvaraju kroz magnetno kolo. Ovo je slika polja \vec{H} koje potiče od H_R^r (pošto H_R^q zanemarujemo).



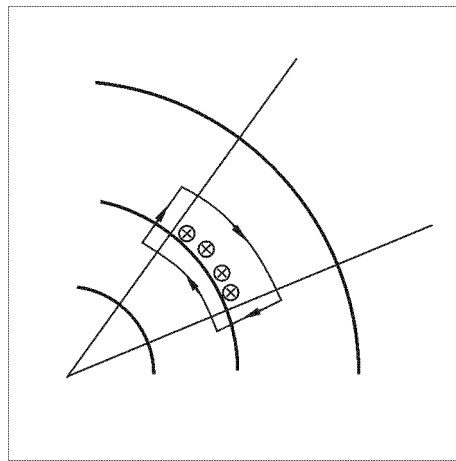
Slika 27.

Rotor se može pomerati u odnosu na stator.



Slika 28.

Na slici 28. Q_m gledamo u odnosu na zonu gde su provodnici bili najgušći.



Slika 29.

Kontura se poklapa sa smerom struje.

Na nekom mestu q polje u vazdušnom zazoru je:

$$H_R^r(\theta) = \frac{R}{\delta} J_{R \max} \sin(\theta - \theta_m).$$

I na statoru postoje provodnici.

Magnetno polje u vazdušnom zazoru usled provodnika na statoru je $H_S^q(q) = J_{S \max} \cos q$ odnosno $H_S^r(\theta) = \frac{R}{\delta} J_{S \max} \sin(\theta)$.

Prepostavka u datim analizama je da su statorski provodnici raspodeljeni po obimu, ali tako da najveću gustinu imaju oko horizontalne ose.

Ugao između osa maksimalne gustine provodnika rotora i statora zovemo θ_m .

Ukoliko nema kretanja (rotor zaustavljen) $w_m = 0$, $q_m = \text{const}$, nema izmene magnetnog polja u prostoru između statora i rotora. Zbog toga je $E = 0$.

$$\operatorname{rot} E = \begin{vmatrix} \dot{\mathbf{r}}_r & \dot{\mathbf{r}}_\theta & \dot{\mathbf{r}}_z \\ \frac{\partial}{\partial r} & \frac{1}{R} \frac{\partial}{\partial \theta} & \frac{\partial}{\partial z} \\ E_r & E_\theta & E_z \end{vmatrix}.$$

$\operatorname{rot} E$ – je izvor polja i u linearnej sredini imamo :

$$\operatorname{rot} \vec{E} = -m \frac{\partial}{\partial t} \vec{H} = -m_0 w_m \frac{\partial}{\partial q} \vec{H}.$$

Gde je $w_m = q_m = \text{const}$ stacionarna rotacija (bez promene brzine).

Iz prethodne matrice i uslova dobijaju se tri skalarne diferencijalne jednačine:

$$(1) \quad \frac{1}{R} \frac{\partial}{\partial \theta} E_z - \frac{\partial}{\partial z} E_\theta = -\mu_0 \omega_m \frac{\partial}{\partial \theta_m} H_r^r(\theta),$$

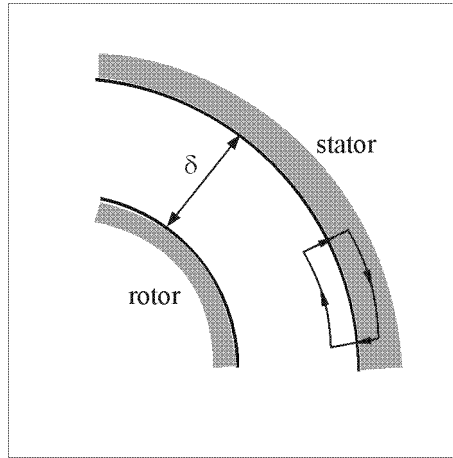
$$(2) \quad -\frac{\partial}{\partial r} E_z + \frac{\partial}{\partial z} E_r = -\mu_0 \omega_m \frac{\partial}{\partial \theta_m} H_r^\theta(\theta),$$

$$(3) \quad \frac{\partial}{\partial r} E_\theta - \frac{1}{R} \frac{\partial}{\partial \theta} E_r = -\mu_0 \omega_m H_r^z(\theta).$$

Zašto smo uzeli u obzir samo polje rotora $H^R(q)$, a ne i polje statora $H^S(q)$? Mi tražimo izvod ovog polja po uglu q , za referentni koordinatni sistem (o čemu uvek treba voditi računa), izabrali smo cilindrični (koji je stacionaran i nepomičan), u tom koordinatnom sistemu nalazi se i stator, i u odnosu na ovaj koordinatni sistem, nema varijacije polja statora!.

Kako je polje stacionarno, ne menja se, imamo $\frac{\partial}{\partial q} H_n^S = 0$ i $\frac{\partial}{\partial q} H_q^S = 0$.

Komponenta polja $H_q^z(\theta)$ je u pravcu z -ose i ne postoji. Kao tačku u kojoj æemo izraèunavati protok snage (Pointigov vektor), usvojimo tačku koja je tik uz površinu statora. U ovoj tački $H_q^z(q)$ jednak je nuli (rotorska komponenta polja).



Slika 30.

Pod uslovom da je $r \rightarrow 0$ (provodnost) imamo da je $E_q = 0$.

Jednaèine se svode na samo jednu diferencijalnu jednaèinu (strana 28.)

$$\frac{1}{R} \frac{\partial}{\partial \theta} E_z = -\mu_0 \frac{\partial}{\partial \theta} H_r^r(\theta) \omega_m.$$

Postoji samo z komponenta polja. Ako sada uvedemo $H_r^r(\theta) = \frac{R}{\delta} J_{R0} \sin(\theta - \theta_m)$

$$\frac{1}{R} \frac{\partial}{\partial \theta} E_z = -\mu_0 \frac{R}{\delta} \omega_m J_{R0} \omega_m \cos(\theta - \theta_m).$$

Rešavanjem (integracijom) dobijamo :

$$E_z(q) = E_{z0} - \omega_m \frac{R^2}{d} m_0 J_{R0} \sin(q - q_m).$$

Gde je J_{R0} maksimalna vrednost površinske gustine struje rotora.

$$\operatorname{div} \vec{\mathbf{E}} = 0.$$

Nema nanelektrisanja. Polje E tik uz površinu statora na položaju q :
 $E_z(q) = E_{z0} - \omega_m \frac{R^2}{d} \mu_0 J_{R0} \sin(q - q_m).$

Kako se obavlja protok snage?

$$\vec{\mathbf{P}} = \vec{\mathbf{E}} \times \vec{\mathbf{H}} = \begin{vmatrix} \vec{r}_r & \vec{r}_\theta & \vec{r}_z \\ E_r & E_\theta & E_z \\ H_r & H_\theta & H_z \end{vmatrix}.$$

Iz gornje matrice sledi:

$$P_r = E_\theta H_z - E_z H_\theta,$$

$$P_\theta = E_z H_r - E_r H_z,$$

$$P_z = E_r H_\theta - E_\theta H_r.$$

Protok snage: radijalna komponenta pokazuje razmenu energije između statora i rotora; tangencijalna komponenta opisuje rotaciju energije magnetnog polja u vazdušnom zazoru; a z komponenta (ako postoji) pokazuje kretanje energije duž osovine motora (toga ne bi trebalo da bude).

Rekli smo da nemamo ni radijalnu komponentu, ni tangencijalnu polja H^S uz statiski namotaj, nemamo ni tangencijalnu komponentu $E_q = 0$, $H_z = 0$, postoji samo radijalna i tangencijalna komponenta polja H_n :

$$P_r = -E_z H_\theta,$$

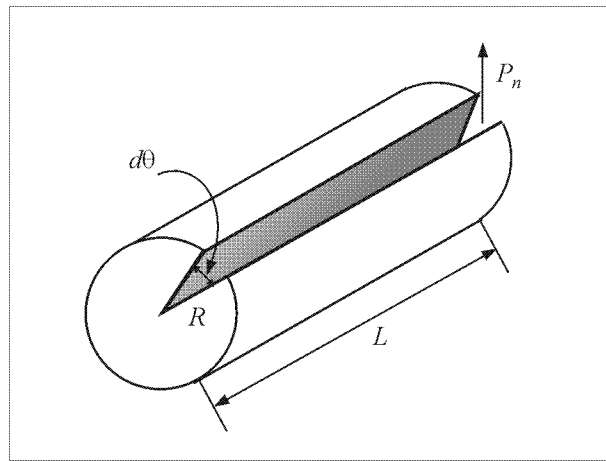
$$P_\theta = E_z H_r,$$

$$P_z = 0.$$

Tačka u kojoj vršimo račun je tik uz površinu statora, nema komponente H_q^R .

$$P_r = -E_z (H_\theta^S + H_\theta^R) = -\omega_m \frac{R^2}{d} \mu_0 J_{R0} J_{S0} \sin(\theta - \theta_m) \cos(\theta).$$

Hoćemo da izračunamo snagu elektromehaničke konverzije. To je snaga razmene energije između statora i rotora. Pošto su mašine cilindrične treba izračunati fluks kroz cilindričnu površinu dužine l .



Slika 31.

Snaga koju rotor predaje statoru :

$$P_{R \rightarrow S} = \int_E P_r dS = L \frac{R^3}{\delta} \mu_0 \omega_m J_{R_0} J_{S_0} \int_0^{2\pi} \sin(\theta - \theta_m) \cos(\theta) d\theta,$$

$$P_{S \rightarrow R} = \pi L \frac{R^3}{\delta} \mu_0 \omega_m J_{R_0} J_{S_0} \sin \theta_m.$$

Ovo je isto kao i $P_{R \rightarrow S}$, samo se pri integraciji pojavljuje elektromagnetski moment kojim stator deluje na rotor:

$$M_{S \rightarrow R} = \frac{P_{S \rightarrow R}}{\omega_m} = \pi L \frac{R^3}{\delta} \mu_0 J_{R_0} J_{S_0} \sin \theta_m,$$

$$P \sim \nabla_m l^4,$$

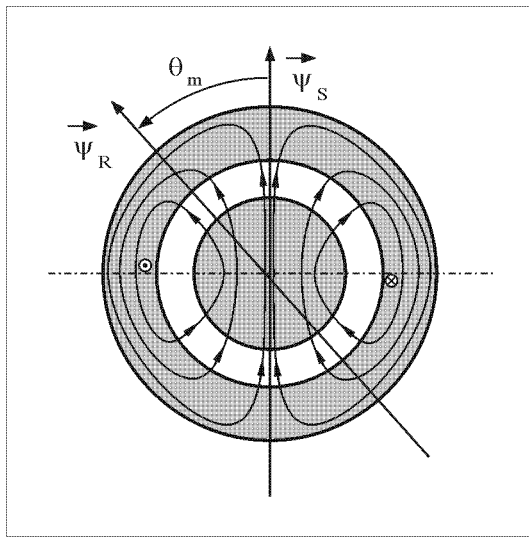
$$M \sim l^4.$$

Ovo je moment koji mašina može da razvije i srazmeran je četvrtom stepenu linearne dimenzije (veća mašina = veća snaga).

I stator i rotor moraju biti magnetno aktivni – moment se javlja isključivo kao interakcija polja statora i rotora.

$$\vec{M} = K \vec{\Theta}_S \times \vec{\Theta}_R \sim |\vec{\Theta}_S| \times |\vec{\Theta}_R| \sin \varphi_m.$$

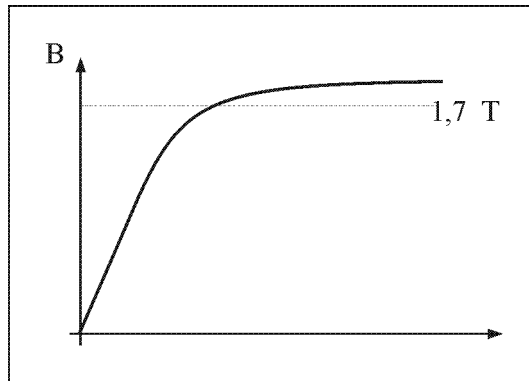
I na statoru i na rotoru mora postojati neka pobuda, tj. neki fluks.



Slika 32.

Šta æe se dogoditi sa mašinom koja ima beskonaèno mali vazdušni zazor? ($d \rightarrow 0$, $P_{S \rightarrow R} = \infty$).

Ukoliko bi se smanjilo d , $H_r^R = \frac{R}{\delta}$ bi se poveæavalio, a pošto ono postoji i u vazdušnom zazoru i u statoru, u statoru bi se poveæavala polja B i H .



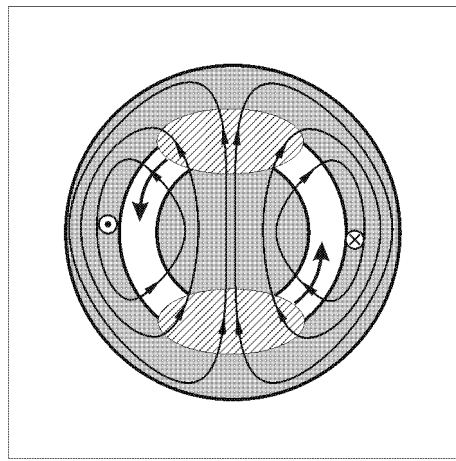
Slika 33.

Snaga konverzije zato ne može biti beskonaèno poveæavana smanjivanjem vazdušnog zazora, jer motor ulazi u zasiæenje, za dalje promene H , u dubokom zasiæenju $\frac{\Delta B}{\Delta H} = \infty$, tu materijal se nadalje ponaša kao vazduh.

Da bi postojala kontinuirana konverzija, potrebno je da srednja vrednost snage i momenta bude razlièita od 0. U sluèaju stacionarne rotacije $q_m = w_m t$, srednja vrednost snage konverzije i momenta je nula. Znaèi, neophodno je da fluksevi statora i rotora ne menjaju svoj relativni položaj. (ovo se odnosi na strujne plastiæe).

$$P_\theta = E_z (H_r^R + H_r^S) = -\omega_m \frac{R^3}{\delta^2} \mu_0 J_{R_0} \sin(\theta - \theta_m) [J_{R_0} \sin(\theta - \theta_m) + J_{S_0} \sin(\theta)].$$

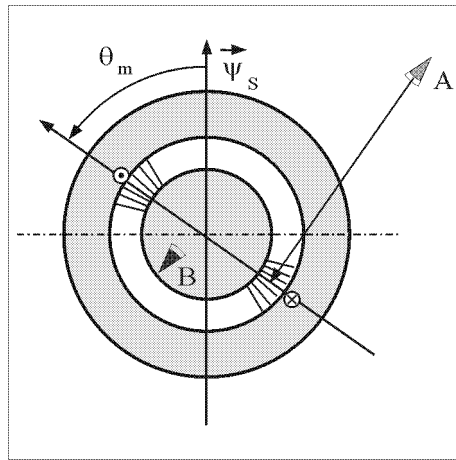
Približno tangencijalna komponenta koja opisuje dislokaciju energije polja duž obima vazdušnog zazora.



Slika 34.

Linije polja su jako gусте у оси нормалној на намотаје, B је конаћено, m јако велико ($m \rightarrow \infty$), па је зато H мало (минорно унутар самог магнетног материјала) и зато је енергија спречног поља локирана у зазору, и то тамо где су линије поља најгушће.

Raspodela поља по обиму је синусоидална - кретање зона у којима имамо максимум поља по обиму машине практично представља дислокацију енергије – тангенцијална компонента P_q описује пренос енергије спречног поља (које се обраћа). Сада дигресија $J_{S_0} = 0$, $J_{R_0} > 0$ постоји само магнетно поље које је последица простирања струје кроз ротор, то поље (магнетно) представљено је вектором $\vec{\Theta}_R$ који се обраћа брзином w_m .



Slika 35.

Посматрач А стоји везан за статор, гледа у ваздушни зазор где је најгушће поље ротора и види следећу енергију у јединици запремине:

$$W_m + W_e = \frac{1}{2} \mu_0 H_R^2 + \frac{1}{2} \epsilon_0 E_z^2.$$

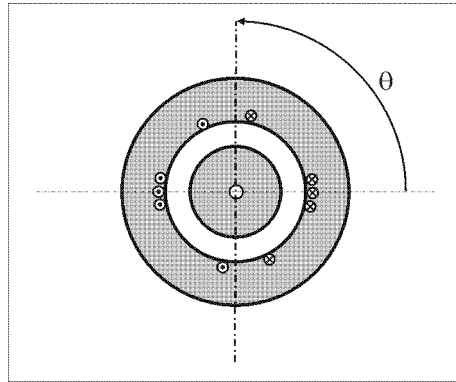
Посматрач Б је везан за ротор и види:

$$W_m + W_e = \frac{1}{2} \mu_0 H_R^2.$$

Посматрач Б не види промену поља H па је $\text{rot } E = 0$. Што значи да се окреће има мању енергију.

Sinusoidalno raspodeljen namotaj kao filter

Kod jedne cilindrične mašine načinjene sa sinusoidalnim raspodeljenim namotajima postoji polje $H(q)$ koje ima sinusoidalnu varijaciju po obimu $H_s \sim \cos q$.



Slika 36.

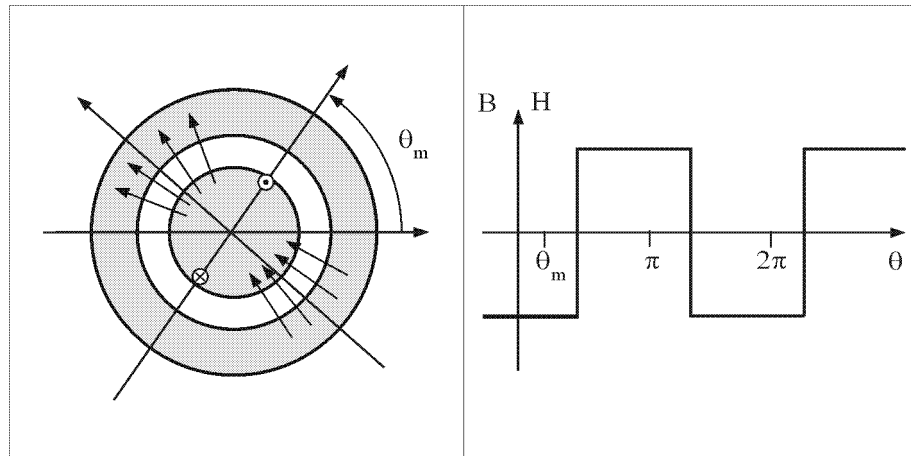
Kako postojeće polje u vazdušnom zazoru (B, H) indukuje elektromotorna sila u namotaju – ovo æemo prouèiti.

Prepostavimo da u vazdušnom zazoru postoji nekakvo polje koje je prouzrokovano od strane rotora, a onda izraèunajmo elektromotornu силу koja se indukuje u provodnicima i statoru.

Usvojimo da je ovo polje radikalno usmereno od rotora ka statoru (radikalna komponenta mnogo veæa od tangencijalne – znaèi da je dominantna radikalna komponenta) i prepostavimo da to polje ima odreðeni broj harmonika.

$$B(\theta) = \sum_i B_{i\max} \sin(i\theta - i\theta_m).$$

Primer:



Slika 37 . Postoje gre{ke na prethdnim slikama:

- a) na levoj slici su pogre{no ozna~eni smerovi struja para rotorskih provodnik
- b) na desnij slici je pogre{no na θ-osi ozna~en polo`aj ugla θ_m, koje treba da bude na mestu gde polje menja znak

Prepostavka da na rotoru postoje samo dva provodnika koji sa referentnom osom zaklapaju ugao q_m . Kakvu god konturu integracije odabrali imam:

$$\oint_C \vec{H} \cdot d\vec{l} = I_R,$$

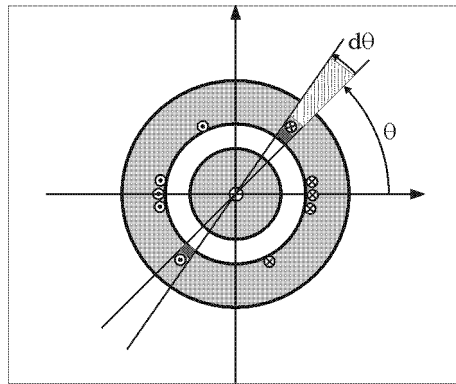
$$H = \frac{I_R}{2d}.$$

Polje H postoji samo u vazdušnom zazoru (u magnetnom materijalu nema značajnijih vrednosti polja H). $H = \frac{I_R}{2d}$ za svaki namotaj.

Raspodela magnetnog polja u zazoru dobija se razvojem u Furijeov red:

$$B_{2i+1 \max} = \mu_0 \frac{I_R}{2\delta} \frac{4}{\pi(2i+1)}.$$

Treba da izraèunamo fluksni obuhvat statorskog namotaja:



Slika 38.

Ukupan broj provodnika u odseèku $d\theta$ je:

$$RN'_{S \max} \cos\theta d\theta.$$

Gde je $N'_{S \max}$ maksimalna podužna gustina provodnika.

Fluksni obuhvat konture koju èine provodnici u odseku $d\theta$ je:

$$\Psi(\theta) = \int_{\theta}^{\theta+\pi} B(\theta) L \cdot R d\theta = L \cdot R \cdot \sum_i B_{i \max} \int_{\theta}^{\theta+\pi} \sin(i\theta - i\theta_m) d\theta,$$

pri èemu je L dužina mašine.

$$\Psi_1(\theta) = 2 \cdot L \cdot R \cdot \sum_i \frac{B_{i \max}}{i} \cos(i\theta - i\theta_m).$$

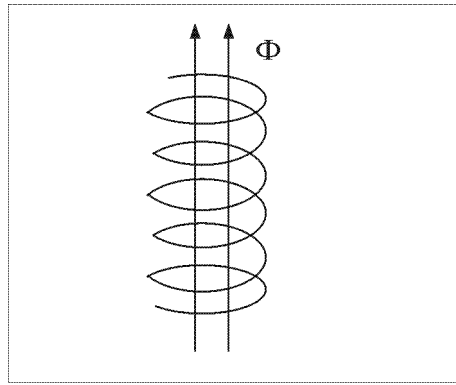
Svaka kontura doprinosi po $\Psi(\theta)$ – treba sabrati sve konture.

$$d\Psi = \Psi_1(\theta) \cdot RN'_{S \max} \cos\theta d\theta.$$

$\Psi_1(\theta)$ je ukupni fluksni obuhvat koji prolazi kroz površinu definisanu osenèenim delom na slici, tu ima $RN'_{S \max} \cos\theta$ provodnika (nema samo jedan provodnik).

$$\Psi = N \cdot \Phi.$$

Gde je Φ fluksni obuhvat jednog provodnika a Ψ fluksni obuhvat kalema sa N provodnika.



Slika 39.

Ukupan fluksni obuhvat statorskog namotaja:

$$\Psi = \int_0^\pi \Psi_1(\theta) \cdot R N'_{S_{max}} \cos \theta d\theta .$$

Granica je od 0 do ρ (a ne od 0 do 2ρ) zato što jedna kontura obuhvata grupu provodnika u gornjem, a druga kontura grupu provodnika u gornjem poluobimtu.

$$\Psi = \int_0^\pi 2 \cdot L \cdot R \cdot \sum_i B_{i_{max}} \cos(i\theta - i\theta_m) R N'_{S_{max}} \cos \theta d\theta ,$$

$$\int_0^\pi \cos(i\theta - i\theta_m) \cos \theta d\theta = \int_0^\pi \left[\frac{1}{2} \cos(i\theta - i\theta_m - \theta) + \frac{1}{2} \cos(i\theta - i\theta_m + \theta) \right] d\theta = 0 .$$

Ortogonalne funkcije kada se množe u integralu su jednake 0. $i \in [1, 3, 5, \dots, 2n+1]$ **što znači da i uzima neparne vrednosti.**

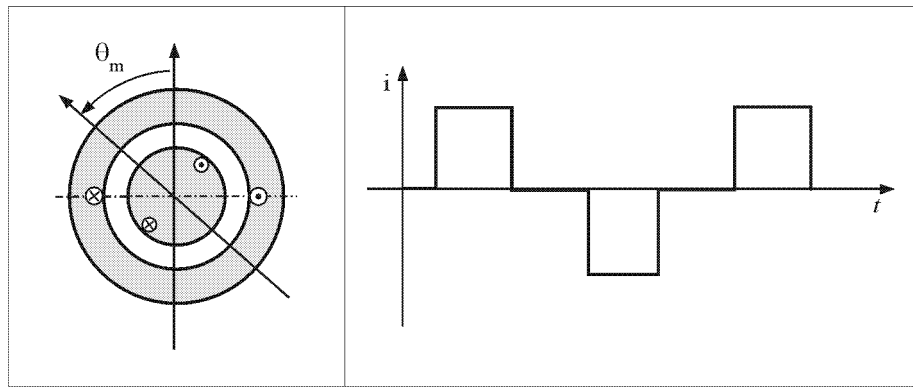
Specijalno raspodeljen namotaj vrši filtriranje – viši harmonici se ne pojavljuju u konačnom izrazu za fluksni obuhvat:

$$\Psi_s = 2 \cdot L \cdot R^2 \cdot B_{1_{max}} N'_{S_{max}} \int_0^\pi \cos(\theta - \theta_m) \cos \theta d\theta = \pi \cdot L \cdot R^2 \cdot B_1 \cdot N'_{S_{max}} \cos \theta_m .$$

Elektromotorna sila koja se indukuje u namotaju je :

$$e = -\frac{d\Psi_s}{dt} = -\omega_m \cdot \pi \cdot L \cdot R^2 \cdot B_1 \cdot N'_{S_{max}} \sin \theta_m .$$

Sinusna raspodela provodnika rezultuje sinusnim poljem u zazoru; za bilo kakvu raspodelu polja u zazoru sinusoidalna raspodela provodnika rezultuje samo prvim harmonikom elektromotorne sile. Svi ostali viši harmonici u talasnom obliku indukcije bivaju eliminisani.



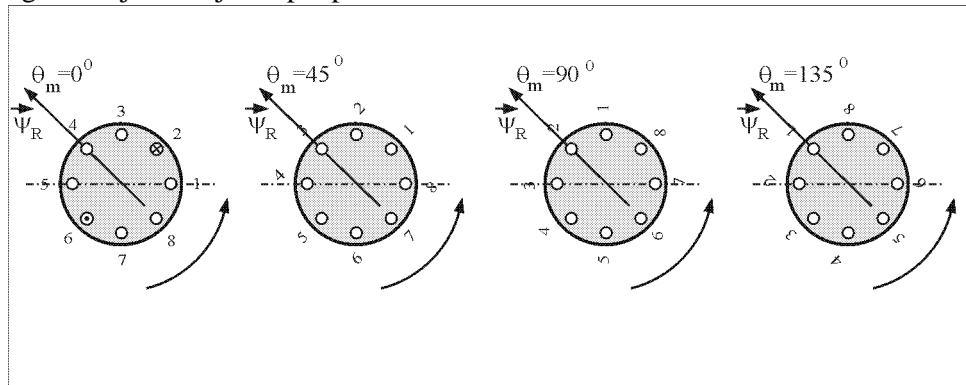
Slika 40.

Biva propuštena samo ona komponenta u talasnom obliku $B(q)$ koja ima prostornu periodu i jednaku obimu vazdušnog zazora.

$$\vec{M} = \vec{\Phi}_R \times \vec{\Phi}_S \sim \sin q_m.$$

Kontinualna konverzija zahteva da ugao između strujnih plaštova statora i rotora bude konstantan. Kako je to moguće kad je stator nepomièan? Usmeravanjem rotorske struje u neki od provodnika postižemo da ima kretanja rotora, a da je strujni plašt rotora nepomièan u odnosu na statorski.

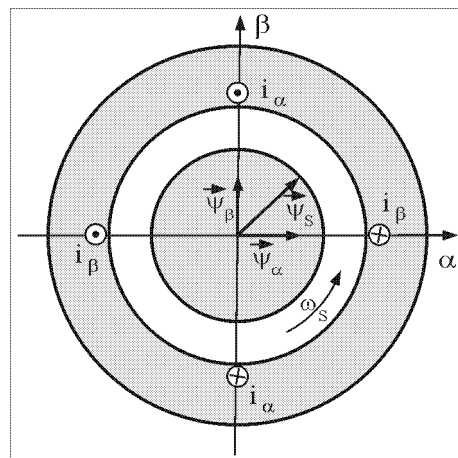
Izgled struje kroz jedan par provodnika možemo videti na slici 41.



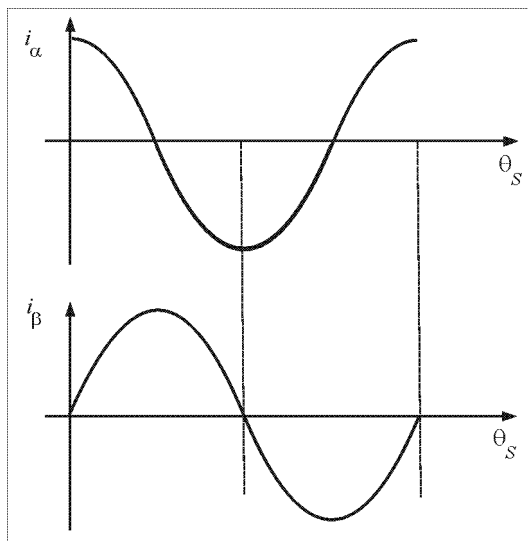
Slika 41.

Fluks rotora može ostati nepromenjen u odnosu na stator, ako kroz rotor protièu naizmeniène struje.

Mašine kod kojih je struja statora jednosmerna, a kroz rotor protièe naizmenièena struja su mašine jednosmerne struje. Pored ovoga relativno nepomièene flukseve statora i rotora možemo dobiti ukoliko fluks statora neprekidno prati rotaciju fluksa rotora. Drugi naèin da se postigne konstantan ugao između flukseva rotora je da kroz rotor teku jednosmerne struje, i da tada rotorski fluks ostane nepomièan u odnosu na rotor (i samim tim se sa njim okreće), a da u statoru postoje naizmenièene struje takve da statorski fluks prati rotaciju rotorskog (mašine naizmenièene struje).



Slika 42.



Slika 43.

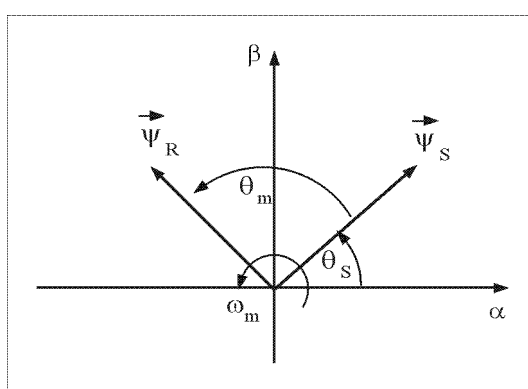
Prepostavka da na statoru imamo dva para provodnika (dve konture).

$$\Psi_{\alpha}^S = k i_{\alpha},$$

$$\Psi_{\beta}^S = k i_{\beta}.$$

Rezultantni fluks statora je:

$$\vec{\Phi}_S = \vec{a}_0 k i_a + \vec{a}_0 k i_b.$$



Slika 44.

$$\mathbf{q}_s = \mathbf{w}_m t - \mathbf{q}_m \Rightarrow \\ \Rightarrow \angle(\vec{\Theta}_s, \vec{\Theta}_R) = \mathbf{q}_m = \text{const} ,$$

$$i_a = I_m \cos \mathbf{q}_s, \\ i_b = I_m \sin \mathbf{q}_s,$$

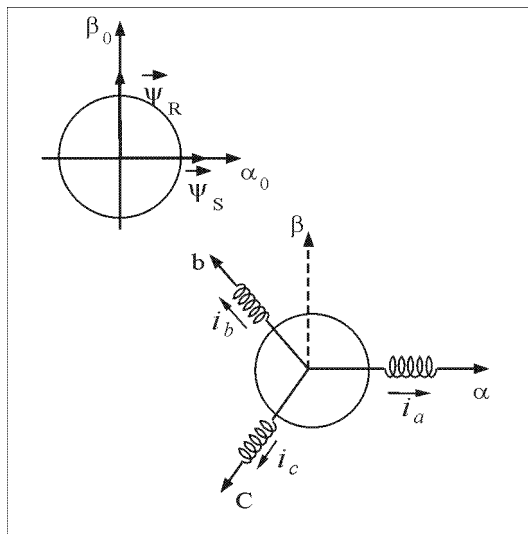
$$|\dot{\Theta}_s| = k I_m,$$

$$\arg(\vec{\Theta}_s) = \arctan \frac{\Psi_b}{\Psi_a} = \mathbf{q}_s ,$$

$$\mathbf{q}_s = \mathbf{w}_s t.$$

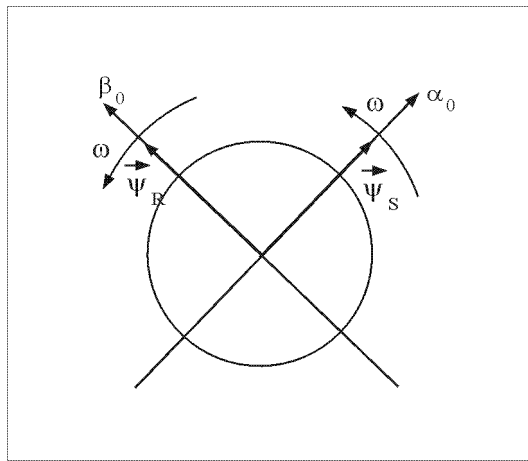
Statorski i rotorski fluks moraju da se obræu sinhrono.

Jednosmerne mašine: nepomièni fluksevi statora i rotora (u odnosu na stator), kroz stator se imala jednosmerena struja, a kroz rotor naizmenièna.



Slika 45.

Mašine naizmeniène struje: i statorski i rotorski fluks se okreæu zajedno sa rotorom, flukseve èini nepomiènim to što se u statoru ima naizmenièna struja, a u rotoru jednosmerna.



Slika 46.

$$\begin{aligned}\vec{\Phi}_a &= \vec{a}_0 k i_a + \hat{a}_0 k \cdot 0, \\ \vec{\Phi}_b &= -\frac{1}{2} \vec{a}_0 k i_b + \frac{\sqrt{3}}{2} \hat{a}_0 k i_b, \\ \vec{\Phi}_c &= -\frac{1}{2} \vec{a}_0 k i_c - \frac{\sqrt{3}}{2} \hat{a}_0 k i_c.\end{aligned}$$

Ukoliko su statorski namotaji (konture) prostorno pomereni za 90° , a struje koje postoje kroz namotaje fazno pomerene za $\pi/2$, tada je resultantni statorski fluks konstantne amplitude. Ovo je vrlo retko u praksi; mnogo češće (skoro uvek) mašine naizmenične struje na statoru imaju 3 namotaja prostorno pomerena za $2\pi/3$.

Ako napravimo da fazni pomeraj struja i_a, i_b, i_c odgovara prostorno rasporedu namotaja kroz koje protiču

$$\begin{aligned}i_a &= I_m \cos \omega t, \\ i_b &= I_m \cos \left(\omega t - \frac{2\pi}{3} \right), \\ i_c &= I_m \cos \left(\omega t - \frac{4\pi}{3} \right)\end{aligned}$$

$$\vec{\Phi}_s = \vec{\Phi}_a + \vec{\Phi}_b + \vec{\Phi}_c,$$

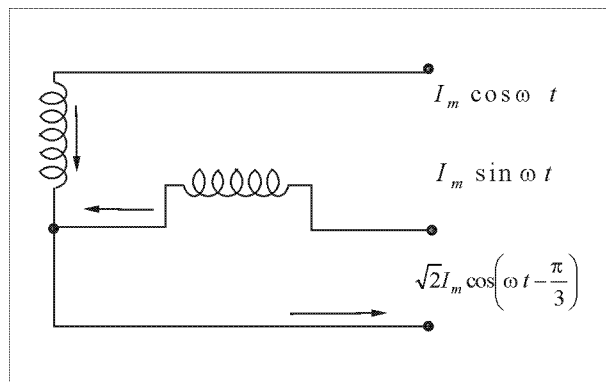
$$\vec{\Phi}_s = \frac{3}{2} I_m k (\vec{\alpha}_0 \cos \omega_s t + \vec{\beta}_0 \sin \omega_s t).$$

Dvofaznim ili trofaznim mašinama možemo postići obrtno polje konstantne amplitude.

Greška u fazi jedne od struja bi izazvala polje koje je na primer elipsoidno (nije kružno, nema konstantnu amplitudu).

Esencijalno je da struje budu naizmenične, jednakih amplituda i faznog pomeraja koji prostorno odgovara namotajima.

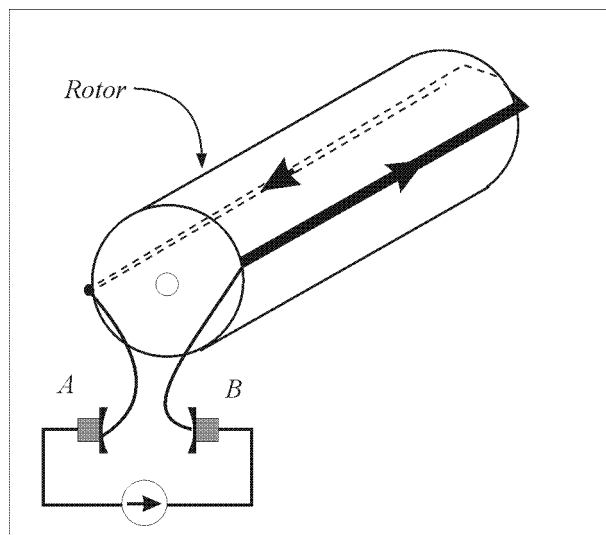
Zbir struja kroz trofazni sistem je 0, tako da trofazne namotaje možemo sa jedne strane da spojimo, a na druga tri kraja dovedemo napajanje. Kod dvofaznog napajanja, struja bi u tom slučaju bila $\sqrt{2}$ puta veća iz čega sledi da nastaje nesimetričnost..



Slika 47.

Mašine jednosmerne struje

Krajevi svake konture završavaju na naroèitim krajevima koji se zovu kolektorske kriške (bakarne), koje se obræu zajedno sa rotorom. Postoje i èetkice obièeno ugljene.

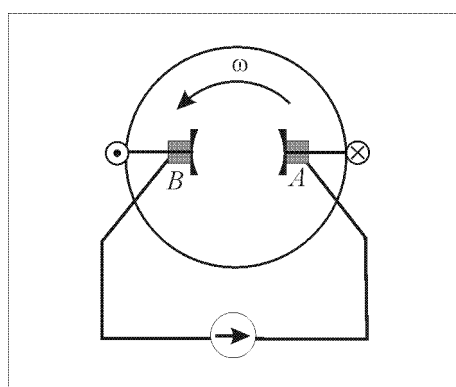


Slika 48.

Postojanje kolektorskih kriški i èetkica omoguæuje da smer proticanja struje (koja je dovedena spolja) ne biva promenjen onda kad se rotor okrene za δ .

Èetkica A je pozitivna a èetkica B je negativna.

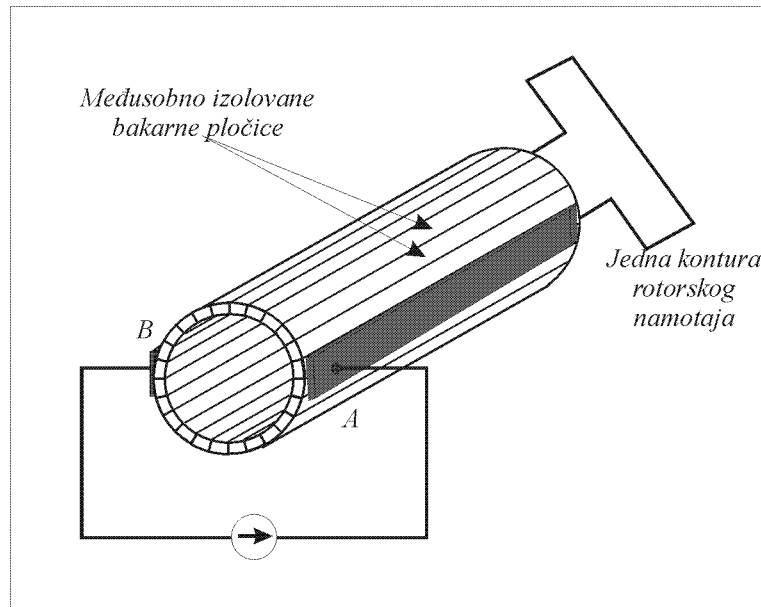
U položaju koji gledamo smer proticanja struje je:



Slika 49.

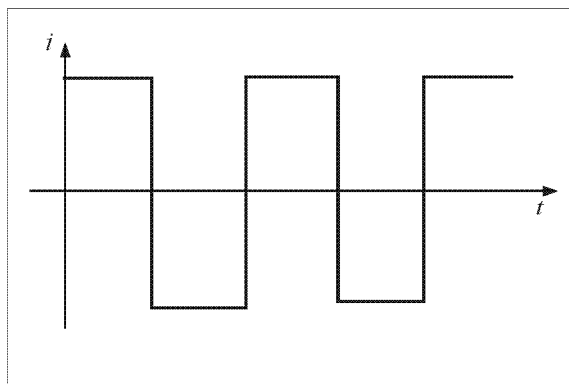
Ako se rotor okrene za δ kolektorske kriške æe zameniti mesto, ali smer struje se neæe promeniti u odnosu na stator. Smer struje kroz same rotorske provodnike æe se promeniti, meðutim prostorna orientacija rotorskog fluksa u odnosu na stator se neæe promeniti.

Izgled kolektora:



Slika 50.

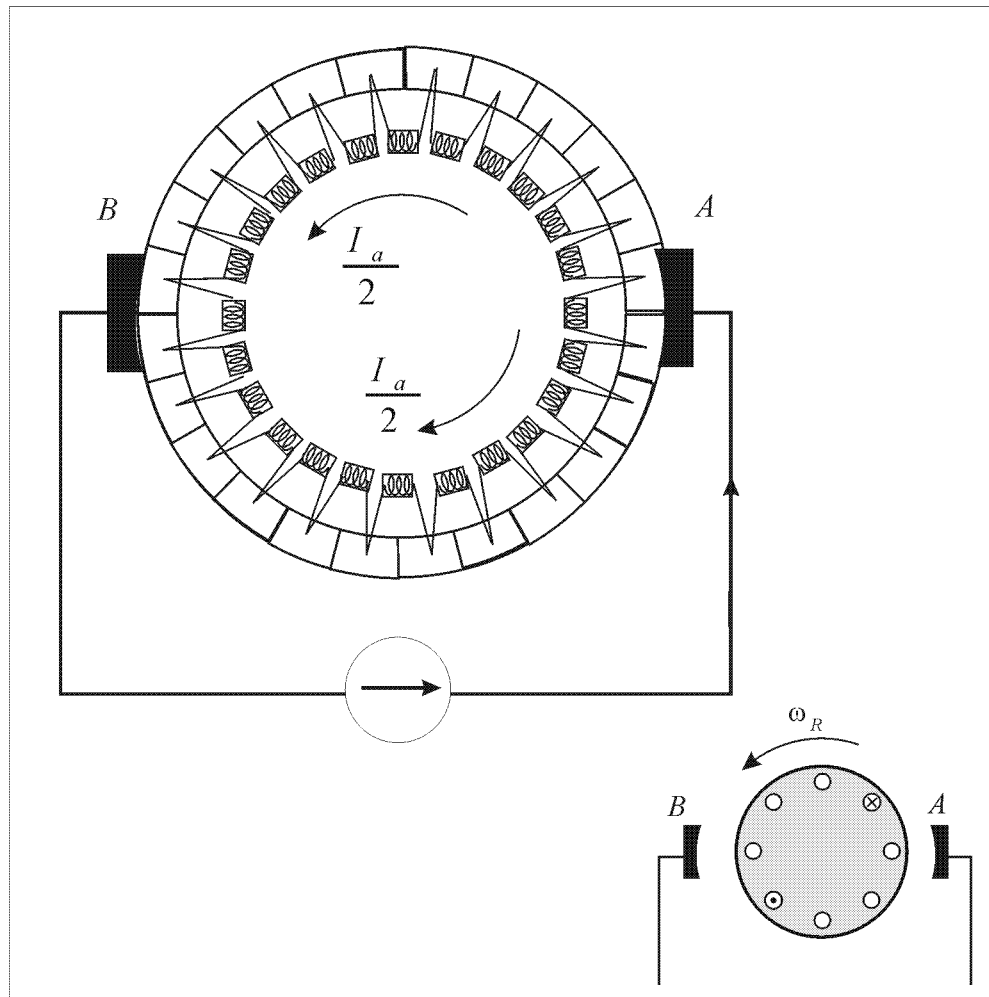
Spoljašnji izvor koji je uvek izvor jednosmerne struje preko kolektorskih kriški i èetikica usmerava istosmernu struju rotorske provodnike tako da one u rotorskim provodnicima bude naizmenična.



Slika 51.

Rotorski = armatuni namotaj (pogrešno) zato se struja oznaèava sa I_a .

Struja I_a deli se na 2 jednakе grane. Zakljuèujemo da je struja kroz bilo koji rotorski provodnik $\frac{I_a}{2}$.

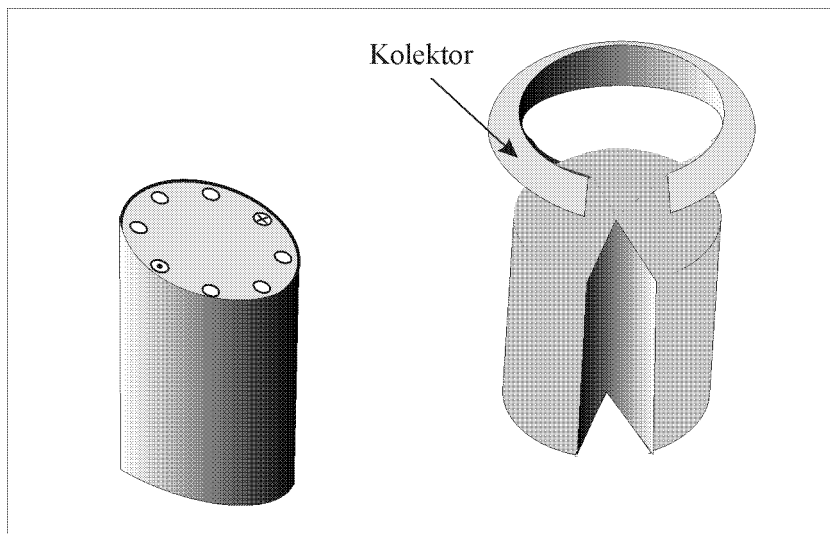


Slika 52.

Kolektor obezbeđuje da raspodela struja u rotoru bude takva da jedna polovina struje iznad kolektorskih èetkica bude jednog smera, a ispod kolektorskih osa drugog smera.

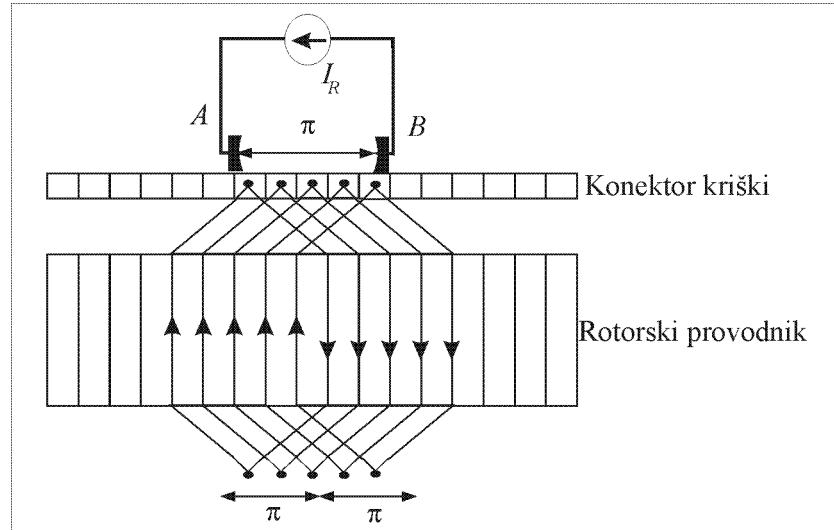
Kako se spajaju konture sa kriškom?

Prepostavimo da jedan rotor možemo da preseèemo:



Slika 53.

Sad æemo ga “razmotati” (obim rotora od $0 - 2p$).



Slika 54. Postoje gre{ke na slici:

Nepravilno je nacrtan na-in povezivanja rotorskih namotaja. Za detaljnije obja{njene u vezi na-inu na koji se mo`e namotavati rotor, konsultovati literaturu koja detaljnije bavi ma{inama jednosmerne struje.

Na rotoru se nalazi kolektor (takođe æemo ga preseæi) i on ima nekakve kriške.

Krišku povezujemo sa provodnikom koji je približno udaljen $p/2$.

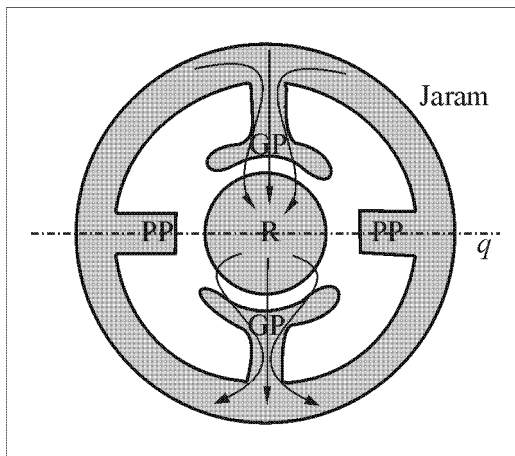
Struja I_a ulazi u èetvrticu A i zatim se ta struja deli na 2 ravnopravna dela (zato što su iste omske otpornosti i iznad i ispod ose koja spaja èetvrtice AB, (vidi Sliku 51).

Svi provodnici koji se nalaze od $0 - p$ imaju struju na jednu stranu, a svi ostali provodnici ($p - 2p$) imaju struju na drugu stranu.

Od èega se sastoje mašine jednosmerne struje

Sve mašine jednosmerne struje imaju *magnetno kolo* i *strujno kolo*. Oba ova kola su sastavljena od *rotorskog* i *statorskog* dela.

Magnetno kolo se sastoji od 2 glavna pola. u q osi koja je normalna na glavne imamo pomoæene polove. Linije magnetnog polja zatvaraju se kroz jaram.



Slika 55

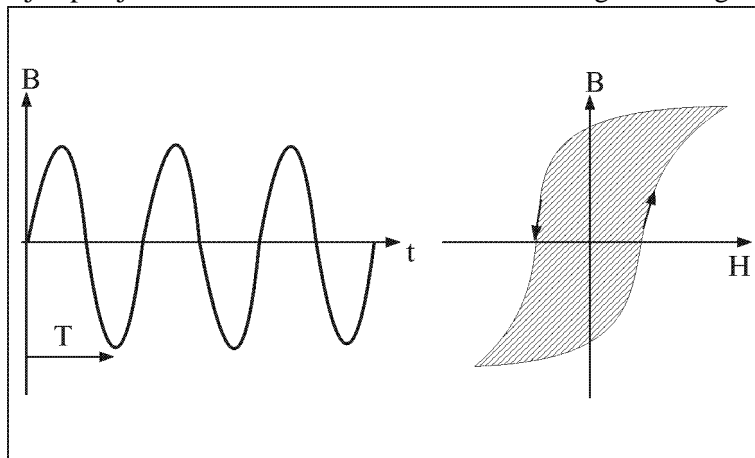
Rotor je takođe od magnetnog materijala i on saèinjava deo magnetnog kola kroz koji prolazi fluks glavnih polova.

Kod mašina jednosmerne struje fluks statora je stacionaran (nema rotacije fluksa) zbog čega nema ni pulsacije (varijacije) polja \vec{B} u pojedinim delovima magnetnog kola statora.

Varijacije polja u feromagnetnom materijalu (kao što je Fe) prouzrokuju gubitke (zovemo ih gubici u gvožđu) u sprežnom polju.

Rekapitulacija:

1. Ukoliko \vec{B} varira sa t (sinusoidalno sa periodom T), tada na B - H dijagramu imamo histerezisnu krivu koja opisuje radnu tačku. Posledica su histerezisni gubici snage.



Slika 56.

U svakom ciklusu na histerezisnoj krivoj, izgubi se energija proporcionalna površini histerezisne krive.

Kao što se kod elektromehaničkog konvertora sa nelinearnim feromagnetikom u mehaničku energiju pretvori onaj deo proporcionalana površini krive, tako se ovde u feromagnetnu toplotu pretvori onaj deo energije proporcionalan površini krive. Gustina snage (vati po metru kubnom) feromagnetika srazmerna je površini opisanoj u B - H dijagramu.

$$\frac{\Delta P}{\Delta V} \left[\frac{W}{m^3} \right] = \sigma_H \cdot S_{BH} \cdot \frac{1}{T}$$

$\frac{\Delta P}{\Delta V}$ – je specifična snaga gubitaka, σ_H – razmera, S_{BH} – površini opisanoj u B - H dijagramu i $\frac{1}{T}$ – učestanost opisivanja dijagrama.

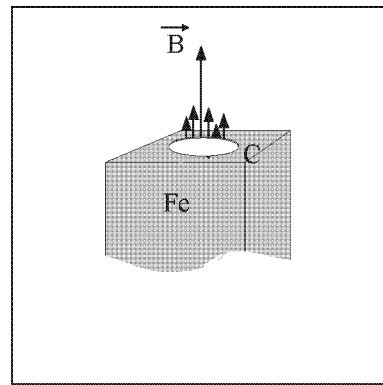
Specifični gubici snage usled histerezisa krive magnetizacije:

$$p_H = \sigma_H \cdot f \cdot B_m^2$$

Površina krive je proporcionalna kvadratu B_m (maksimalna vrednost indukcije).

Bitno uočiti da u feromagnetiku imamo histerezisne gubitke koji su proporcionalni sa f na prvi stepen, i B_m na drugi stepen.

2. Gubici usled vihornih struja (u feromagnetiku)



Slika 57.

Ukoliko u feromagnetiku imamo polje \vec{B} , koje se menja harmonijski možemo uočiti konturu C . U C æe se indukovati elektromotorna sila i ona je proporcionalna izvodu fluksnog obuhvata

$$e_e \sim \frac{d}{dt}(\Psi_C) \sim \frac{d}{dt}(S_C \cdot B_m \sin \omega t).$$

Ψ_C – ukupan fluksni obuhvat kroz C , S_C – površina konture.

$$e_e \sim \omega \cdot B_m \sim 2 \cdot \rho \cdot f \cdot B_m.$$

(indukcija se menja po prostoperiodiènom zakonu)

Ako imamo konturu (predstavljenu kao tubu) popreèenog preseka S_1 dužine $2\pi r$ (r - polupreènik konture), i ukoliko nam je poznata specifièna provodnost materijala (Fe) u njoj æe se uspostaviti neka struja.

Struja koja protièe kroz konturu proporcionalna je sa

$$i_C \approx \frac{e_C}{R_C} \approx \frac{\omega \cdot B_m}{R_C},$$

$$P_C \sim R_C i_C^2 \sim \frac{1}{R_C} \omega^2 \cdot B_m^2,$$

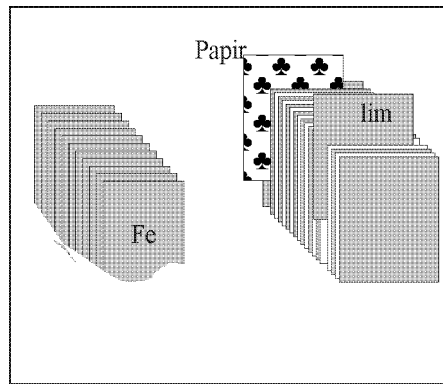
gde su P_C – gubici snage u konturi.

Specifièni gubici snage usled vihornih struja :

$$p_V \left[\frac{W}{m^3} \text{ ili } \frac{W}{kg} \right] = \sigma_V \cdot f^2 \cdot B_m^2.$$

Mi u našim mašinama želimo da imamo pulsacioni karakter magnetnog polja. Kod mašina naizmeniène struje, polje rotira u odnosu na stator pa onda u magnetiku statora postoji prostoperiodièna promena polja \vec{B} . U mašini jedosmerne struje polje je stacionarno u odnosu na stator, ali se rotor obræe pa polje \vec{B} ima pulsacioni karakter u rotoru iz èega sledi da postoje gubici usled vihornih struja (najbolje bi bilo kad bi $R_C \rightarrow \infty$).

Rotor je napravljen od magnetnog materijala, magnetna indukcija rotora unutar rotora uzrokuje stvaranje vihornih struja. Problem rešavamo paketom meðusobno izolovanih limova. Ako su limovi meðusobno izolovani (postoji papir između svaka dva lima) biæe prekinut put struji, neæe se uspostaviti struja (vihorna) i zbog toga æe izostati gubici u gvožđu.

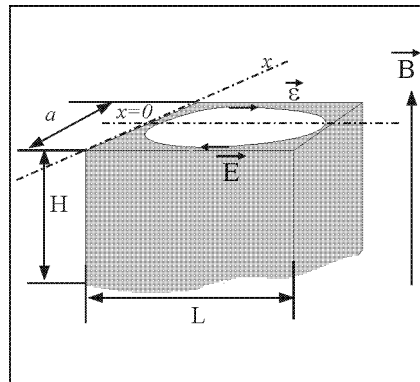


Slika 58.

Koliko treba da bude debeo lim?

Koliko god da je tanak uvek imamo neke male konture vihornih struja.

Posmatrajmo jedan komad lima u polju $|\vec{B}| \sim B_m \sin \omega t$.



Slika 59

Posmatramo konturu koja ima širinu $2x_0$ ($x_0 < L$). Ukupni fluksni obuhvat ove konture je:

$$\Psi(x_0) = L 2x_0 B_m \sin \omega t.$$

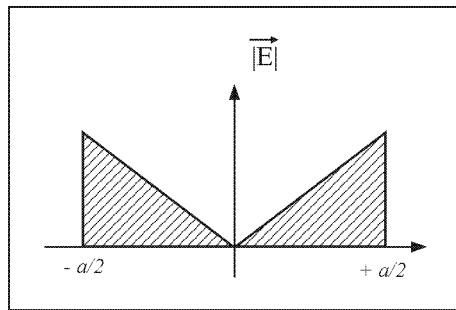
U konturi æe se pojaviti elektromotorna sila:

$$e = \oint_C \vec{E} d\vec{l} = 2L |\vec{E}|.$$

Smatraæemo da je polje \vec{E} – duž konture svuda isto $e = 2x_0 L \omega B_m \cos \omega t$

$$|\vec{E}|_{x=x_0} = x_0 \omega B_m \cos \omega t.$$

Moduo vektora \vec{E} – u funkciji koordinate x na intervalu od $-\frac{a}{2}$ do $\frac{a}{2}$



Slika 60.

U provodnom materijalu provodnosti σ u kome postoji elektrièno polje \vec{E} egzistira i određena gustina struje.

$$J = \sigma E \text{ sledi da postoje specifièni gubici snage } p = \frac{dP}{dV} = \sigma E^2, \text{ gde je } dV \text{ zapremina.}$$

$$p_V = \sigma x_0^2 \omega^2 B_m^2 \cos^2 \omega t.$$

Srednja vrednost P za prostoperiodiènu eksitaciju je:

$$P_{Fe} = \frac{1}{2} \sigma x_0^2 \omega^2 B_m^2.$$

Ukupni gubici snage u jednom komadu lima su

$$P_{Fe} = \frac{H \cdot L \cdot \sigma \omega^2 B_m^2}{2} \cdot 2 \int_0^{a/2} x_0^2 dx_0.$$

Ispred integrala je 2 zato što gubici idu i na jednu i na drugu stranu i isti su.

$$P_{Fe} = H \cdot L \cdot \sigma \omega^2 B_m^2 \cdot \frac{a^3}{24}.$$

Buduæi da je HLa zapremina komada magnetnog lima koje posmatramo sledi

$$\frac{\Delta P_{Fe}}{\Delta V} = p_V = \sigma \omega^2 B_m^2 \frac{a^2}{24},$$

i ovo je specifièna snaga gubitaka usled vrtložnih struja.

Zakljuèak: Gubici u feromagnetskom materijalu koji potièu od vihornoih struja se mogu smanjiti ukoliko se upotrebe meðusobno izolovani limovi jer su gubici proporcionalni kvadratu dimenzije debljine lima.

Uslov za to je da su linije polja bile paralelne sa limom (da je normalno na lim ništa ne bi uradili).

Delovi magnetnog kola u kojima postoji varijacija \vec{B} redovno se prave od limova (laminiranih) da bi se smanjili gubici usled vihornoih struja. Gubici usled histerezisa se ne mogu smanjiti na ovaj naèin.

Što se tièe gubitaka u sprežnom polju oni postoje u feromagnetnom materijalu. Specifièna snaga gubitaka u feromagnetnom materijalu

$$P_{Fe} \left[\frac{W}{kg} \right] = S_H B_m^2 \cdot f + S_V B_m^2 \cdot f^2,$$

$S_H B_m^2 \cdot f$ – su histerezisni gubici, a $S_V B_m^2 \cdot f^2$ – su gubici usled vihornih struja, $S_V \approx a^2$, gde je a debljina lima.

Postoje dve vrste limova od kojih se grade magnetna kola:

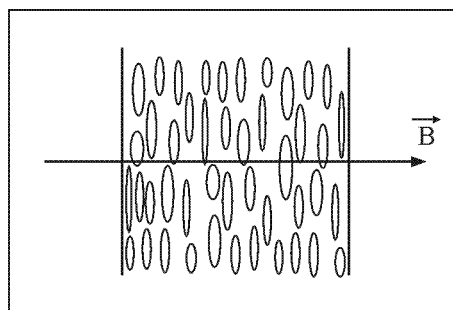
- a) hladno valjani limovi (transformatorski limovi)
- b) toplo valjani limovi ($\frac{1}{2}$ dinamo $\frac{1}{2}$ lim)

a) Hladno valjani limovi

Nema promena orijentacije magnetnog polja u odnosu na samo magnetno kolo, linije polja uvek u istom pravcu kod transformatora (nema kretanja transformatora). Kristali od koga je naèinjen lim, tim hladnjim valjenjem bivaju izduženi u jednom pravcu (pravcu valjanja). Taj lim ima jako dobre magnetne osobine (permeabilnost) i male gubitke u pravcu valjanja. Zato što polje ide kroz kristale a ne u prostor pored njih.

Lim ima loše magnetske osobine u normalnom pravcu na pravac valjanja.

Tako valjan lim je praktičan za primenu gde se pravac polja nikada ne menja u odnosu na lim (transformatori)- transformatorski lim.



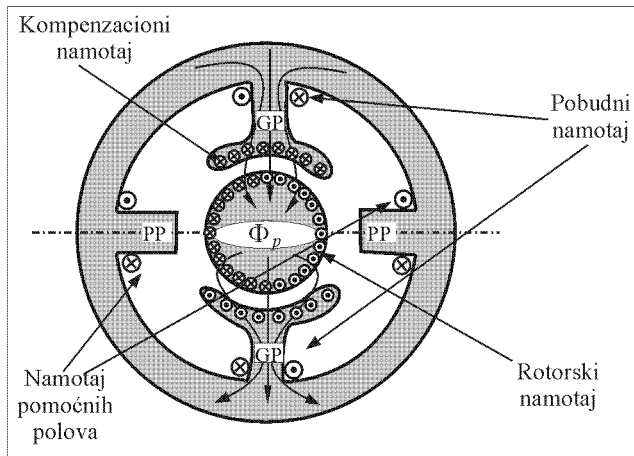
Slika 61.

b) Toplo valjani limovi

Rotor se obræe u polju između N-S pola magnetni materijal u sebi ima polje koje stalno menja orijentaciju. Koristi se ova vrsta limova, jer ima iste magnetne osobine u svim pravcima (dinamo lim).

- a) anizotropni; b) izotropni.

Pošto je polje u statoru jednosmerno nepromenljivo, mašine jednosmerne struje se èesto prave tako što su glavni polovi, pomoèni polovi i jaram naèinjeni od livenog gvožđa, rotor je obavezno naèinjen od limova (ima pulsaciono polje u sebi).



Slika 62. Na slici postoji greška

Smerovi struja u rotorskim namotajima, namotaji na glavnim polovima i smer polja, kao i namotaji na pomoćnim polovima nisu konzistentni ni ta-ni. Kao večba, predlaže se ~itaocu da postavi referentne smerove struja da ~ine jedan konzistentan sistem.

Od èega je naèinjeno strujno kolo?

Mašine jednosmerne struje imaju namotaje i na statoru i na rotoru. Strujno kolo rotora se sastoji iz provodnika koji su smešteni duž ose mašina u telu rotora i zahvaljujući akciji komutatora i èetkica obezbeđuje se da kroz sve provodnike rotora postoji struja $I_{a/2}$ ispod i $I_{a/2}$ u zoni iznad èetkica.

Namotaji rotora se nazivaju rotorski, armaturni ili namotaji indukta.

Na statoru postoje 3 namotaja. Jedan od tih namotaja svojim provodnicima obuhvata glavne polove (PN), zove se pobudni namotaj, (redno su vezani namotaji na jednom i drugom polu).

Postoji naroèit komplet provodnika montiran u telu glavnih polova – kompenzacioni namotaj.

Treæi je namotaj pomoæenih polova.

Sada prvo pravimo dinamièki model:

a) Pobudni namotaj ima $\frac{N_p}{2}$ provodnika koji obuhvataju pol S, i $\frac{N_p}{2}$ u provodnika koji obuhvataju pol N. Sledi da ima ukupno N_p provodnika pobudnog namotaja.

Prepostavimo da se taj pobudni namotaj prikljuèi na pobudni napon U_p i da kroz njega protièe struja i_p .

Ψ_p – ukupan fluksni obuhvatkoji prolazi kroz glavne polove i rotor.

$$\Psi_p = N_p \Phi_p,$$

i predstavlja fluksni obuhvat celokupnog pobudnog namotaja.

$$u_p = R_p i_p + \Psi_p'.$$

Izraženi su prelazni procesi u pobudnom namotaju gde je R_p – omski otpor provodnika. Magnetni otpor na putu fluksa po pretpostavkom da imamo $m \rightarrow \infty$ sastoji se iskljuèivo od magnetnog otpora u vazdušnom zazoru ispod polova S i N ($H = 0$ u rotoru $m \rightarrow \infty$).

$$R_m^P \Big|_{m_r \rightarrow \infty} = \frac{2d}{m_0} \frac{1}{LW},$$

gde je d – debljina vazdušnog zazora.

Magnetni otpor na putu fluksa po pretpostavkom da imamo $m \rightarrow \infty$ sastoji se isključivo od magnetnog otpora u vazdušnom zazoru ispod polova S i N ($H = 0$ u rotoru $m \rightarrow \infty$). Ukoliko je dužina glavnih polova W , a dužina mašine L :

$$\Phi_P = \frac{F_P}{R_m^P} = \frac{N_P i_P}{2d} m_0 LW,$$

$$\Psi_P = \frac{N_P^2}{2\delta} \mu_0 LW i_P = L_P i_P \Rightarrow L_P = \frac{N_P^2}{2\delta} \mu_0 LW = \frac{N_P^2}{R_\mu^P},$$

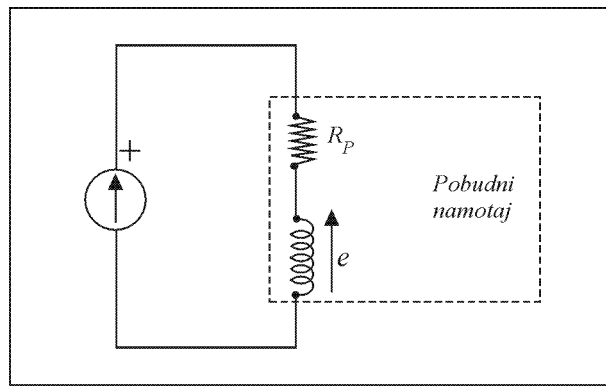
$$\Phi_P = L_P' i_P,$$

$$L_P' = \frac{N_P}{R_m^P} = \frac{L_P}{N_P}.$$

Fluks koji obuhvata pobudni namotaj $\Psi_P = \Phi_P N_P$.

Kako se pobudni namotaj napaja?

U svim praktičnim aplikacijama postoji izvor jednosmernog napona koji je obično konstantan i on se dovodi na pobudni namotaj (ima termogeni karakter, a deo impedanse mu je reaktivna kome je elektromotorna sila koji je izvod fluksa).



Slika 63.

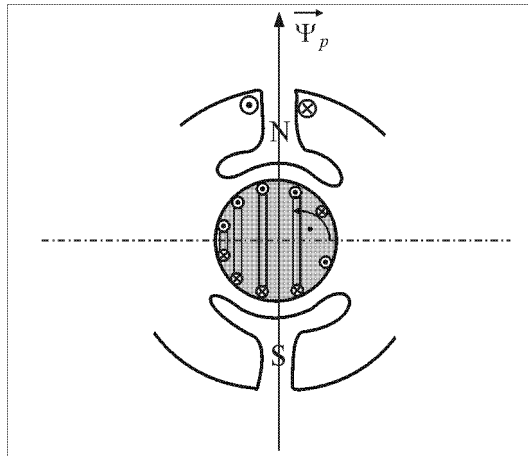
Primetimo da pobudni namotaj nema nikakvu spregu sa rotorskim strujama. Fluks pobude ne bi trebao da bude funkcija struje rotora. Drugim rečima varijacije aramaturne struje ne bi trebalo da prouzrokuju promenu pobudnog fluksa.

$$\frac{\partial \Phi_P}{\partial i_a} = 0,$$

$$e = \frac{d}{dt}(\Psi_P) = \frac{d}{dt}(L_P i_P),$$

ΔI_a ne sledi $\Delta \Phi_P$.

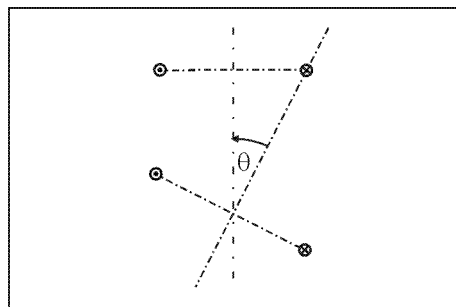
To je zbog toga što pobudni fluks $\vec{\Phi}_P$ ide po vertikalnoj osi. Osa pobudnih namotaja i osa u kojoj postoji fluks je vertikalna, rotorski provodnici su postavljeni tako da kroz svaki provodnik u gornjoj grani teče ka nama, a kroz provodnik u donjoj teče struja od nas. Možemo zamisliti da su ti provodnici povezani u parove, a osa svake konture je q i ona je normalna na osu i kojoj postoji glavni fluks i nju zovemo d osa.



Slika 64. Postoje greške na slici:

a) Polovi nisu pravilno označeni u odnosu na smer pobudnog fluksa

Doprinos fluksa po q osi ne doprinosi fluksu Φ_P .



Slika 65.

Međusobna induktivnost proporcionalna je $\cos q$ (gde je q ugao između osa namotaja) a najveća je kada su ose namotaja kolinearne.

Međusobna induktivnost između rotorskog i statorskog namotaja je 0 ($\cos q = 0$), pa fluks kroz rotor neće uticati na statiski fluks. Drugim rečima elektromotorna sila je isključivo izvod $L_P i_P$.

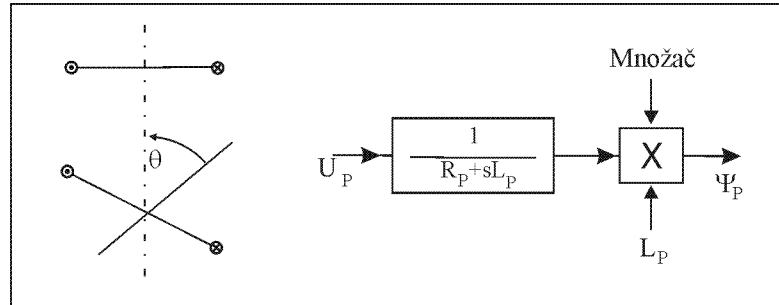
L_P – je induktivnost pobudnog namotaja.

$$e \approx \frac{d}{dt}(\Psi_P) = \frac{d}{dt}(L_P i_P).$$

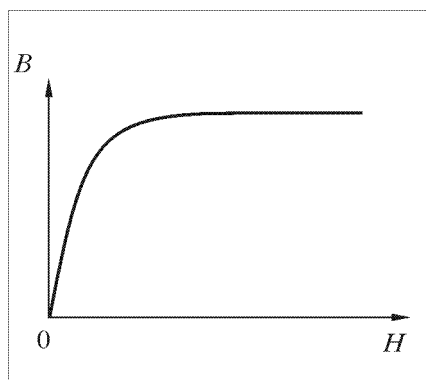
$$L_P = \text{const} \Rightarrow U_P = R_P i_P + L_P \frac{di_P}{dt},$$

$$L_P = \frac{N_p^2}{R_\mu}.$$

Najveća vrednost R_μ u vazdušnom zazoru zavisi od struje a kako je gvožđe nelinearan materijal može da dođe u zasićenje.



Slika 66.



Slika 67.

Zato je induktivnost funkcija struje $L_P = f(i_P)$.

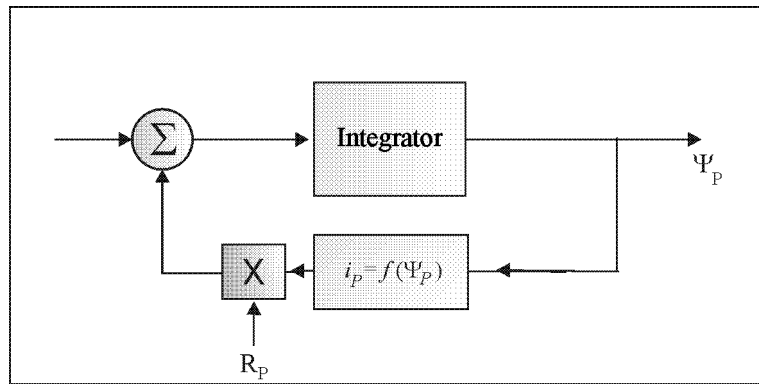
Kako da ovu zavisnost opišemo, a da se jednačine ne komplikuju?

Jednačina naponskog balansa za slučaj da je induktivnost promenljiva je:

$$u_P = R_P i_P + L_P(i_P) \frac{di_P}{dt} + \left(\frac{\partial L_P}{\partial i_P} \right) \cdot \frac{di_P}{dt} i_P.$$

Izborom struja i_P za promenljive stanja u slučaju nelinearnog magnetnog (nelinearni feromagnet) kola moramo da znamo dve zavisnosti: $L_P(i_P)$ i $\frac{\partial L_P}{\partial i_P}$ (i $\frac{\partial L_P}{\partial i_P}$ je takođe funkcija struje).

Izborom fluksa Φ_P za promenljivu stanja pojednostavljuje se modelovanje sistema sa nelinearnim feromagnetom:



Slika 68. (Ulag modela predstavlja pobudni napon U_p)

Potrebno je da znamo samo jednu funkcionalnu zavisnost $i_p = f(\Psi_p)$

$$u_p = R_p i_p + \Psi_p'$$

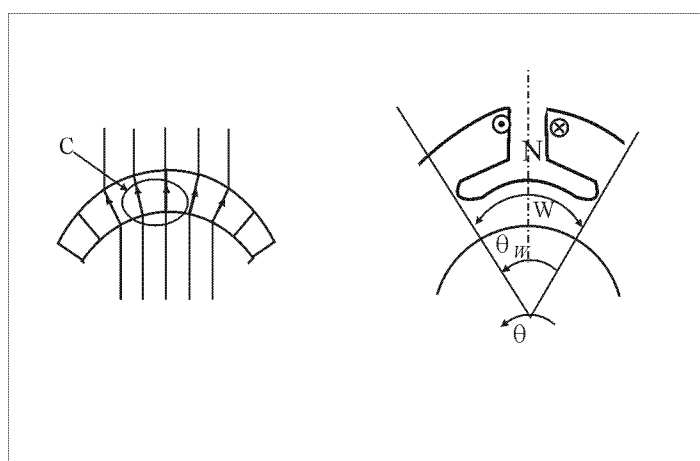
Transformatorska ili elektromotorna sila samoindukcije nije dinamièka (ne nastaje kao posledica kretanja delova mašine) i oznaèava se $e \sim \Psi_p'$.

Javlja se i $t_p \sim \frac{L_p}{R_p}$ vremenska konstanta namotaja (ova zavisnost nije baš proporcionalna

jer L_p nije konstantno). Nakon proticanja nekoliko ovakvih vremenskih intervala uspostavlja se stacionarno stanje (ulaz u integrator = 0) u pobudnom namotaju. U stacionarnom stanju $i_p = \frac{U_p}{R_p}$.

Linije polja u vazdušnom zazoru normalne su na feromagnetik zbog toga što je $\left(\oint_C \dot{\mathbf{H}} d\mathbf{l} = 0 \right)$

tangencijalna komponenta uz sam feromagnetik jednaka nuli, pa polje mora biti normalno.

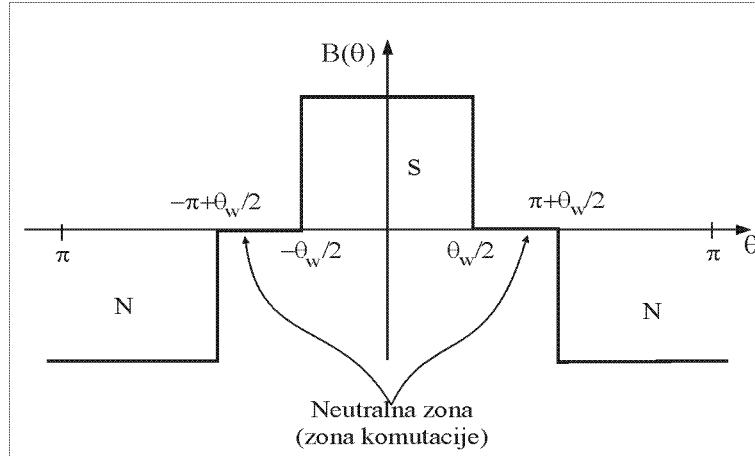


Slika 69. Postoji greñka na slici: oznaka za pol (N) nije u skladu sa ref. smerom struje pobude

W – širina polova, q_w – ugao pod kojim vidimo pol ako ga gledamo iz centra osovine, $W = \frac{D}{2} q_w$ formula za dužinu luka unutrašnji preènik statora približno je jednak spoljašnjem preèniku rotora (prepostavka je da je vazdušni zazor tanak) D – preènik vazdušnog zazora, a L – osna dužina mašine).

$$B \approx \frac{\Phi_p}{W \cdot L}.$$

Pišemo približno jer je taèna vrednost B nešto drugaèija (i taèan oblik polja je malo drugaèiji kod ivice polje je zakriviljeno).



Slika 70. Gre{ka na slici: umesto $\pi+\theta_w/2$ treba da pi{e $\pi-\theta_w/2$

$B(q)$ – raspodela indukcije u vazdušnom zazoru, $q = 0$ taèno na sredini glavnog pola.

Indukcija u zoni glavnog (S) pola iz rotora ulazi u stator (pozitivna je) u zoni van glavnih polova nema indukcije.

U zoni drugog pola (N) linije idu iz statora u rotor.

Zona komutacije (ili neutralna zona) – ispod pomoæenih polova, u njoj nema indukcije, i u njoj se nalaze provodnici koji komutuju.

U svakom rotorskom provodniku koji se nalazi ispod glavnog pola indukuje se elektromotorna sila:

$$E_1 = LB \frac{D}{2} \omega_R$$

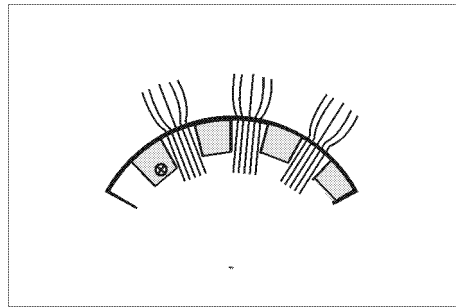
gde je ω_R – brzina kretanja maæine, a $\frac{D}{2}\omega_R$ – periferna brzina.

Elektromotornu silu ne raèunamo više po $e = \oint_C \vec{E} d\vec{l}$ jer želimo da pređemo na makro model.

Prepostavljamo da smo duž jednog provodnika u rotoru veæ izvršili tu integraciju. Sada tražimo zamensku šemu i mehanièke karakteristike.

$$E_1 = LB \frac{D}{2} \omega_R \text{ nije taèna jednaèina}$$

Na slici 71. su unutar žlebova prikazani provodnici. Magnetni otpor vazduha \gg od magnetnog otpora gvožđa. U zoni gde se nalazi provodnik indukcija je jako mala – nema je.



Slika 71.

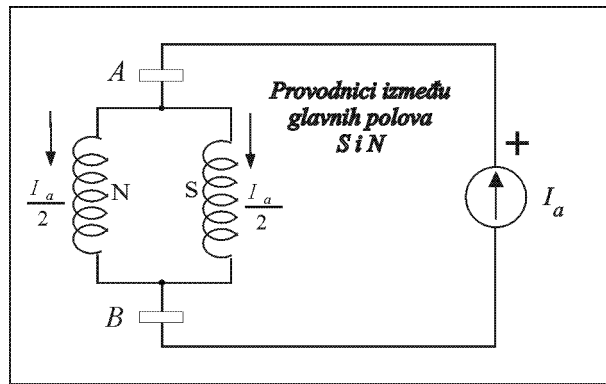
Ako uoèimo parnjak ovog provodnika, oni se vrte brzinom w_R , izraèunamo fluks i elektromotornu silu njihovu i dobijamo prethodnu jednaèinu. Indukcija u zoni provodnika je oko hiljadu puta manja od indukcije u zubu. Izraz je taèan, ali je pogrešan zakljuèak da se polje u provodniku indukuje zbog toga što se nalaze u polju B-to nije taèno.

Još jedan privid je da na provodnik u žlebu deluje sila $F = B L \frac{I_a}{2}$, ali æe rezultati koje æemo dobiti na osnovu ovoga biti taèni. Sila u stvari deluje na zupce. Nema indukcije B na mestu gde se provodnik nalazi, ova relacija samo opisuje makroskopske fenomene.

Rotorski provodnici èiji je ukupan broj po obimu mašine N_R . Ispod jednog glavnog pola ima $\frac{W}{p D} N_R$ provodnika.

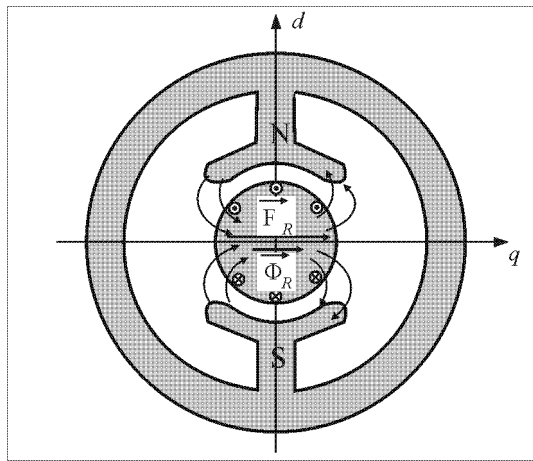
$$U_{AB}(t) = R_a i_a(t) + L_a \frac{d}{dt} i_a(t) + \frac{W}{p D} N_R \cdot B L \frac{D}{2} w_R,$$

gde je $R_a i_a(t)$ termogeni pad napona, $L_a \frac{d}{dt} i_a(t)$ induktivni pad napona i $\frac{W}{p D} N_R \cdot B L \frac{D}{2} w_R$ dinamièka elektromotorna sila koja je posledica rotacije.



Slika 72.

Na slici su rotorski provodnici povezani paralelno u 2 grane.



Slika 73.

Rotorski provodnici kroz koje teče struja uzrokuju magnetopobudnu silu usmerenu u pravcu pomoćnih polova, a ona uzrokuje fluks:

$$|\vec{F}_R| = \frac{N_R}{2} \frac{i_a}{2},$$

$$\vec{\mathbf{O}}_R = \frac{\vec{F}_R}{R_{\mu_q}}.$$

\vec{F}_R – magnetopobudna sila rotora, $\vec{\mathbf{O}}_R$ – magnetni otpor u pravcu q ose.

$$R_{\mu_q} \gg R_{\mu_d},$$

U d osi glavni polovi su široki, a njihov vazdušni zazor je mali. R_{μ_q} je mnogo veće jer se linije polja zatvaraju velikim delom kroz vazduh.

$$|\vec{\mathbf{O}}_R| \ll |\vec{\mathbf{O}}_P|$$

Stator (koji je uzrok indukovana elektromotorna sila u rotoru) = induktor

Rotor (u kome se indukuje elektromotorna sila) = indukt

Fluks rotora i magnetopobudna sila rotora = fluks indukta ili fluks reakcije indukta (jer se javlja kao reakcija na statorsku struju)

Armatura = indukt

Induktor je uvek uzrok pojave elektromotorna sila, bez obzira o kojim se mašinama radi.

Induktivni pad napona nije posledica rotacije – Φ_R uvek postoji u istom pravcu zahvaljujući komutaciji; elektromotorna sila samoindukcije nije posledica rotacije.

$$L_a \ll L_p, \quad R_{\mu_q} \gg R_{\mu_d}, \quad \text{a} \quad L = \frac{N^2}{R_{\mu}}$$

Induktivnost armature je mnogo manja od induktivnosti pobude.

Dinamička elektromotorna sila je posledica kretanja mašine:

$$E_d = L \frac{D}{2} \mathcal{W}_R \frac{W}{p D} N_R \Phi_p \frac{1}{WL} = \frac{N_R}{2p} \Phi_p \mathcal{W}_R,$$

$\frac{N_R}{2p}$ – koeficijent elektromotorne sile. Jednačina naponskog balansa za indukt:

$$U_{AB}(t) = R_a i_a(t) + L_a \frac{di_a}{dt} + K_e \Phi_p \mathcal{W}_R,$$

$L_a(i_a)$ – je jako mala zavisnost, pa je zanemarujemo.

$$\Psi_R = \frac{N_R}{2} \Phi_R,$$

$$\frac{d}{dt} \Psi_R = \frac{d}{dt} (L_a i_a) = L_a \frac{di_a}{dt} + \frac{\partial L_a}{\partial i_a} \frac{di_a}{dt} i_a \cong L_a \frac{di_a}{dt},$$

Dinamički deo magnetnog otpora u q osi je u vazduhu – ovaj magnetni otpor je linearan, pa je $L_a(i_a)$ – mala zavisnost.

Dinamički model električnog pod sistema

Jednačina naponskog balansa za pobudno kolo glasi:

$$U_p = R_p i_p + \frac{d}{dt} (N_p \Phi_p).$$

Jednačina naponskog balansa za armaturno kolo (kolo indukta):

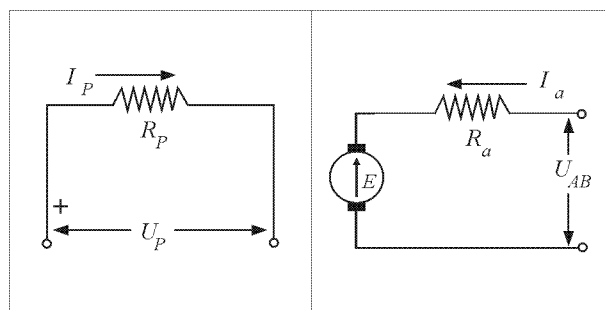
$$U_{AB} = R_a i_a + L_a \frac{di_a}{dt} + K_e \Phi_p \mathcal{W}_R.$$

Zamenska šema za stacionarno stanje (svi izvodi su jednaki 0)

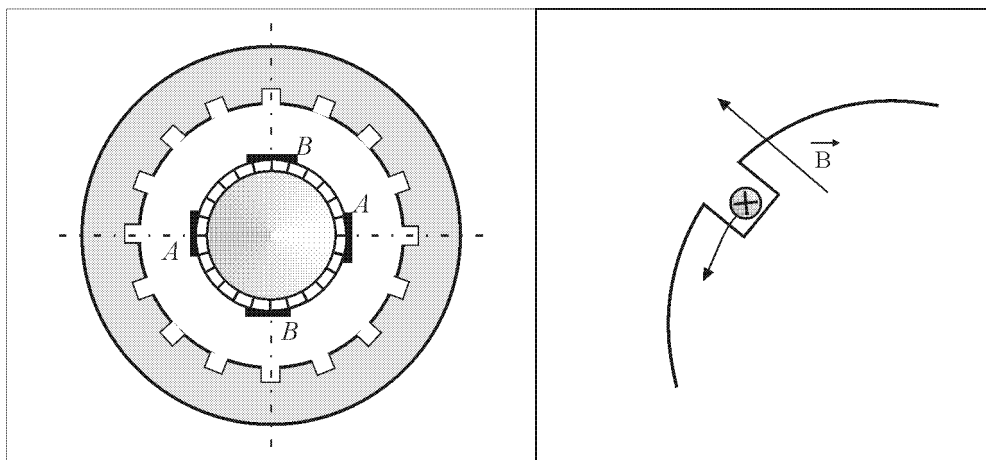
$$I_p = \frac{U_p}{R_p} \quad (\Phi_p = L_p' I_p),$$

$$U_{AB} = R_a i_a + K_e \Phi_p \mathcal{W}_R,$$

(nedostajaće nam samo Njutnova jednačina).



Slika 74.



Slika 75. Na levoj slici postoji greška: magnetno kolo statora nije ispravno nacrtano. Za ispravnu sliku magnetnog kola statora –etvoropolne MJSS konsultovati odgovarajuću literaturu.

Njutnova jednačina:

$$J_R = \frac{d\omega_R}{dt} = M_{em} - K_F \omega_R - M_m.$$

$K_F \omega_R$ je frikcija, a M_m – spoljašnji moment.

$$F = L \frac{I_a}{2} B,$$

Ova sila u stvari ne deluje na provodnike već na zupce. Sila koja deluje na rotor je:

$$M_{em} = \left(\frac{D}{2} F \right) \cdot \frac{2W}{p D} N_R,$$

$$M_{em} = \frac{LB}{2} \cdot I_a \cdot \frac{W}{p} N_R,$$

$$M_{em} = \frac{\Phi_p}{WL} \cdot \frac{LI_a W N_R}{2p},$$

$$\left(\frac{N_R}{2p} \right) = K_m.$$

Iz ovoga sledi:

$$M_{em} = K_m \Phi_p I_a.$$

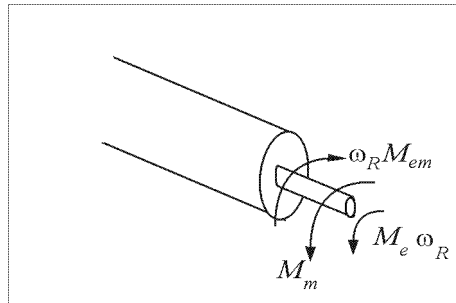
Mi æemo govoriti pre svega o dvopolnim mašinama jednosmerne struje. Broj pari polova jednak je ukupnom broju polova podeljeno sa dva. Na slici 75. levo imamo prikaz četvoropolne mašine. Za višepolne mašine vrednosti za K_m i K_e nisu identične. Recimo, kod četvoropolne mašine imamo: $K_m = 2 * K_e$.

Mašine jednosmerne struje sa nezavisnom pobudom

Ukoliko se pobuda namotaja napaja iz nezavisnog strujnog ili naponskog izvora, struja armaturnog namotaja može se kontrolisati nezavisno od struje pobude.

Mehanička karakteristika (zamenska šema za stacionarno stanje je ista kao prethodna – povezuje napone i struje na električnim prikljucima) povezuje veličine na mehaničkom priključku mašine.

Φ_p nije funkcija I_R i W_R .



Slika 76. Na slici postoji greška: umesto M_e treba da piše k_F u značenju koeficijenta frizije

Karakteristika koja daje zavisnost momenata opterećenja od brzine obrtanja je mehanička karakteristika.

$$U_{AB} = R_a i_a + K_e \Phi_p W_R,$$

$$M_{em} = K_m \Phi_p I_a = K_m \Phi_p \frac{U_{AB} - K_e \Phi_p W_R}{R_a}.$$

Jednačina važi u stacionarnom stanju i uz prepostavku da je frizija zanemarljiva.

U izvoru koji napaja armaturno kolo može postojati neki otpor, pa pišemo opštije:

$$M_{em} = K_m \Phi_p \frac{U_{AB} - K_e \Phi_p W_R}{\sum R},$$

$$M_{em} = \frac{U_{AB}}{\sum R} K_m \Phi_p - \frac{K_m K_e \Phi_p^2}{\sum R} W_R = M_0 - S W_R.$$

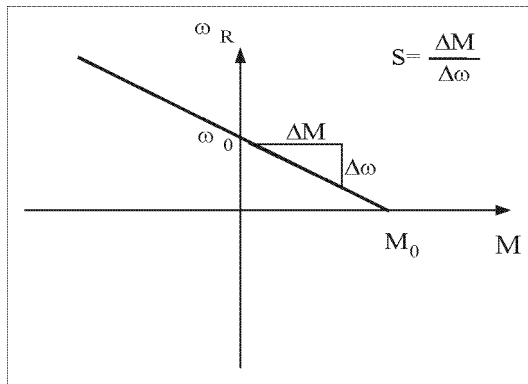
S – strmina mehaničke karakteristike.

M_0 – moment koji mašina razvija kada je zaustavljena (presek mehaničke karakteristike sa apcisom), mehanička karakteristika je linearна.

Strmina mehaničke karakteristike

$$S = -\frac{\Delta M_{em}}{\Delta W} = \frac{K_m K_e \Phi_p^2}{\sum R},$$

$$M_{em} = M_0 - S W_R.$$



Slika 77.

ω_0 – brzina praznog hoda (presek sa ordinatom)

$$\omega_R = \omega_0 - \frac{1}{S} M_{em},$$

$$\omega_0 = \frac{U_{AB}}{K_e \Phi_P}.$$

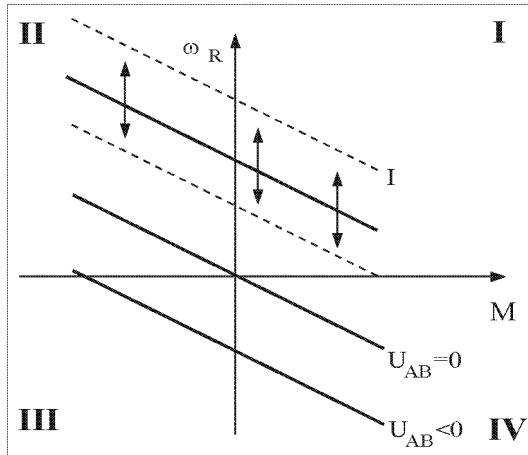
Gde je $S = \frac{M_0}{\omega_0}$.

Ovo je tvrda karakteristika. Sa promenom brzine moment se jako menja.

M_0 još zovemo i polazni moment (kad uključimo mašinu).

U primenama električnih mašina potrebno je regulisati njihovu brzinu. Koje su upravljačke promenljive kod mašina sa nezavisnom pobudom?

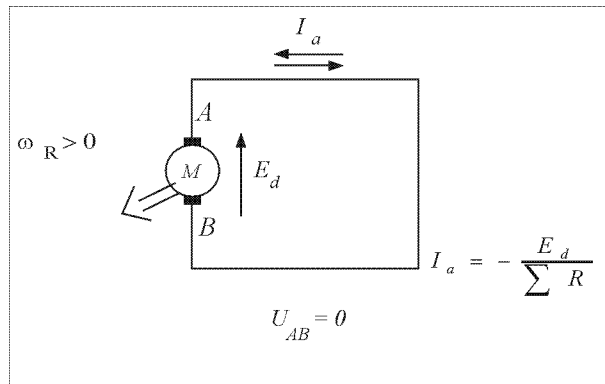
Armaturalni napon U_{AB} i struja pobude I_p . Armaturalni napon menja brzinu praznog hoda a ne menja strminu karakteristike $\omega_0 \sim \omega_{AB}$



Slika 78.

Varijacija U_{AB} omogućava translaciju karakteristike naviše i naniže. $U_{AB} = 0$ namotaj indukta u kratkom spoju.

Postojanje pozitivnog smera obrtanja stvaraće pozitivnu elektromotornu силу i I_a u ovom smeru.



Slika 79.

Odsustvo napona U_{AB} prouzrokuje kretanje struje I_a u suprotnom smeru od referentnog. Pobudni fluks nije promenio smer ali elektromagnetni moment je sada negativan, protivi se kretanju i koèi mašinu.

Dalje umanjenje U_{AB} translira karakteristiku naniže.

I Kvadrant

Elektromagnetni moment je veæi od nule, brzina veæa, njihov proizvod $M_{em}\omega > 0$ radi se o motornom radu.

$$E_d = K_e \Phi_p \omega_K,$$

$$P_C = E_d I_a = K_e \Phi_p \omega_K I_a = (K_e \Phi_p I_a) \omega = M_{em} \omega_R.$$

Ovo je snaga konverzije pri èemu je $K_e = K_m$.

Uz uslov da je $\omega > 0$ i $M_{em} > 0$ imamo da je $P_C > 0$.

Iz elektriènog snaga se konvertuje u mehanièki podsistem (motorni rad).

II Kvadrant

Za $\omega > 0$ i $M_{em} < 0$ imamo da je $\omega_0 = \frac{U_{AB}}{K_e \Phi_p}$ i $\omega > \omega_0$. Iz ovih uslova sledi da je

$E_d > U_{AB}$ (elektromotorna sila veæe od napona U_{AB}).

Iz zamenske šeme za stacionarno stanje vidimo da armaturna struja I_a menja smer: $I_a < 0$ pa se iz mehanièkog snaga konvertuje u elektrièni podsistem – generatorski rad.

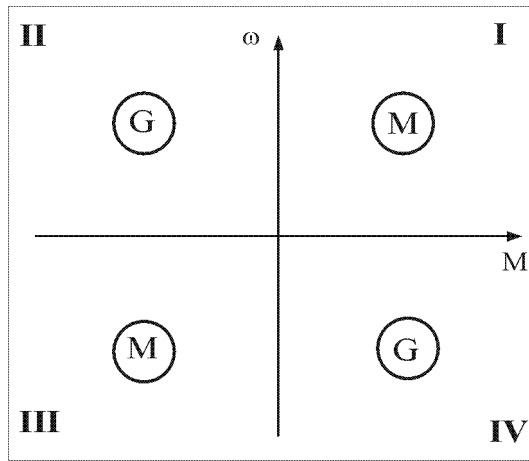
Generator = naprava koja mehanièku energiju konvertuje u elektriènu.

III Kvadrant

$I_a < 0, \omega < 0, M_{em} < 0, E_d < 0, M\omega > 0, E \cdot I_a > 0$ motorni rad

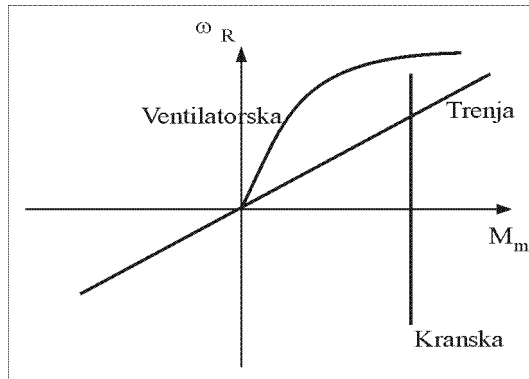
IV Kvadrant

Generatorski rad.



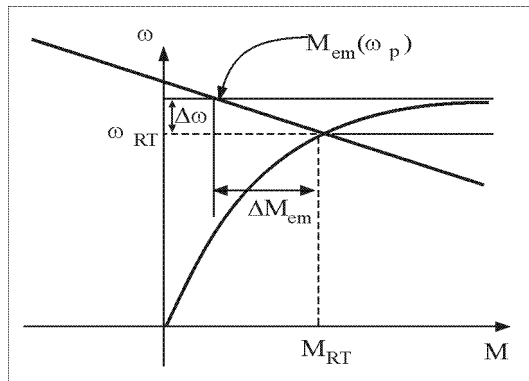
Slika 80.

Ako nam je poznata mehanička karakteristika, radnu tačku dobijamo u preseku karakteristike opterećenja i mehaničke karakteristike $M_m(\omega_p)$.



Slika 81.

Karakteristike označene na slici su: 1.Kraska karakteristika-moment opterećenja ne zavisi od brzine; 2.Karakteristika trenja i 3.Ventilatorska karakteristika.



Slika 82.

Ako je strmina karakteristike opterećenja veća od strmine mehaničke karakteristike, radna tačka je stabilna:

$$\frac{\Delta M_m}{\Delta \omega} - \frac{\Delta M_{em}}{\Delta \omega} \geq 0.$$

U suprotnom sluèaju: (uslov stabilnosti nije ispunjen)

$$J \frac{d\omega}{dt} = M_{em} - M_m > 0.$$

Bitno je zapamtiti kako se dobija radna taèka (u preseku mehanièke karakteristike motora i mehanièke karakteristike optereæenja) i koji je uslov za njenu stabilnost.

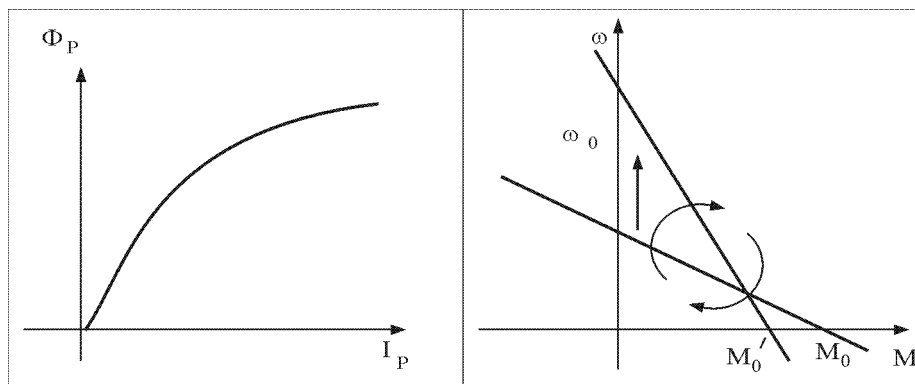
Ako u okolini radne taèke izvršimo linearizaciju:

$$\begin{aligned}\Delta M_{em} &= K_1 \Delta \omega \\ \Delta M_m &= K_2 \Delta \omega\end{aligned}$$

Kada gornje izraze zamenimo u Njutnovoj jednaèini imamo:

$$\Delta \omega = \Delta \omega_0 e^{-\frac{t}{T}},$$

Gde je $t < 0$ nestabilno za $K_2 - K_1 > 0$



Slika 83.

Druga upravljaèka promenljiva velièina kojom možemo da utièemo na mehanièku karakteristiku mašine JS sa nezavisnom pobudom, je i_p (struja pobude)

Umanjenje pobudnog fluksa pomera naviše brzinu praznog hoda i smanjuje poèetni moment.

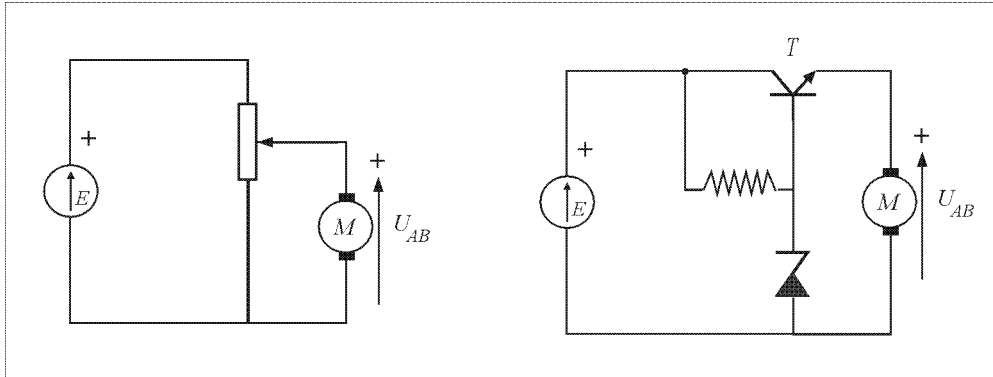
Kako æemo menjati napon napajanja? Na raspolaganju imamo konstantan izvor jednosmernog napajanja E (baterija, neregulisani ispravljaè...)

Da bismo menjali brzinu motora, potrebno je menjati napon armature. Ako zanemarimo termogeni pad napona, tada vrlo približno možemo reæi da je:

$$U_{AB} = K_e \Phi_p \omega_R \Rightarrow \omega_R = \frac{U_{AB}}{K_e \Phi_p}.$$

Da bismo ostvarili kontinualnu varijaciju brzine, potrebno je da ostvarimo kontinualnu varijaciju napona U_{AB} .

Možemo ovako:

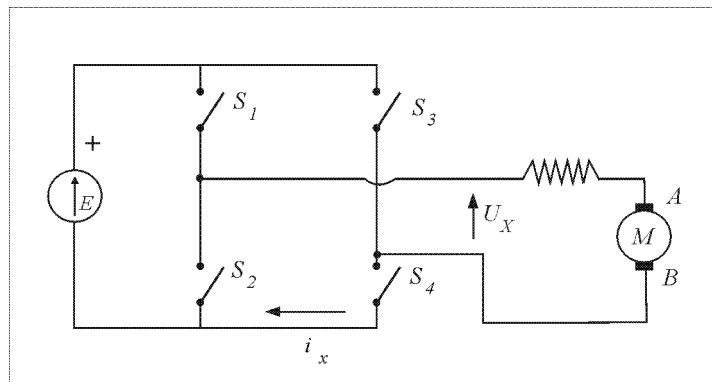


Slika 84. (Na desnoj slici nije prikazan mehanizam regulacije armaturnog napona, ve} na~in da se stabil{i{ napon kojim se napaja armatura motora E)

Ovakvim naèinom bismo veæi deo energije koristili samo na zagrevanje otpornika. Pored velikih gubitaka, imali bismo još veæi problem da odvedemo toplotu – ovaj naèin je disipativan.

Isto kao i prethodno.

Radi se ovako:



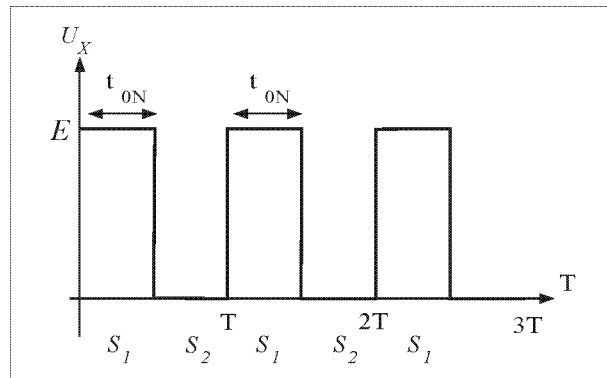
Slika 85. Gre{ka na slici: umesto otpornika na slici treba da bude prikazan kalem

S_1, S_2 ili S_3, S_4 napon = 0, brzina približno je 0.

$$U_X \in \{-E, 0, +E\};$$

$$w \in \left\{ -\frac{E}{k\Phi}, 0, +\frac{E}{k\Phi} \right\};$$

Šta bi se desilo kada bismo brzo menjali stanje prekidaèa? S_4 stalno ukljuèen, S_3 stalno iskljuèen.



Slika 86.

Kontinualnom varijacijom t_{ON} možemo fino, nedisipativno menjati srednju vrednost U_X , $f^{dom} = \frac{1}{T}$ dominantna frekvencija u naizmeničnom delu napona U_X .

Ovo je širinska modulacija i neæemo je prouèavati.

Uèestanost izmene stanja (komutacije ili širinske modulacije) je $\frac{1}{T}$.

$X_a = L_a \cdot \frac{2p}{T}$ reaktansa je dovoljno velika da umanji valovitost armaturne struje.

$\Delta I \sim \frac{1}{L_a} \frac{1}{f^{dom}}$ valovitost armaturne struje (amplituda neželjene naizmenične komponente)

Ako je uèestanost komutacije dovoljno velika, možemo smatrati da je naizmenična komponenta U_X zanemarljiva, tj. da kontinualno i nedisipativno menjamo jednosmernu komponentu U_X .

Snaga koju predajemo motoru:

$$P_{\rightarrow M} = I_a E \cdot \frac{t_{ON}}{T} = I_a \cdot U_X^{SR}.$$

Struja koju crpemo iz izvora postoji samo kada je S_1 zatvoren (ovo nas interesuje da bi znali kolika je snaga koju gubimo).

U intervalu S_2 ON, S_1 OFF ne crpemo nikakvu struju iz izvora.

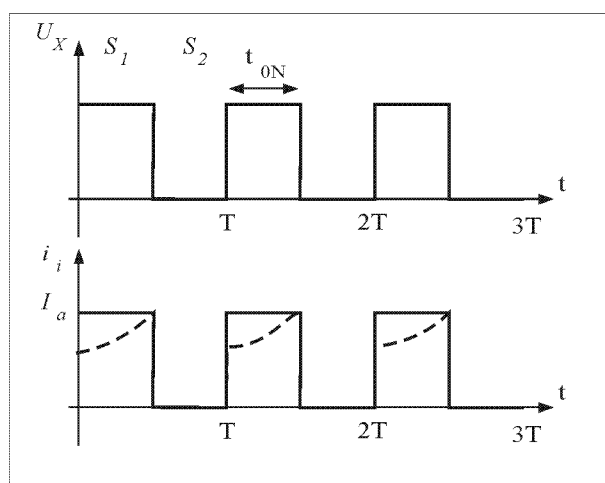
Na slici 87. je prikazan realan oblik struje (kad uzmemo u obzir naizmeničnu komponentu).

$$I_i^{SR} = \frac{t_{ON}}{T} I_a.$$

Smatramo da je valovitost zanemarljiva I_i^{SR} – srednja vrednost koju crpemo iz izvora..

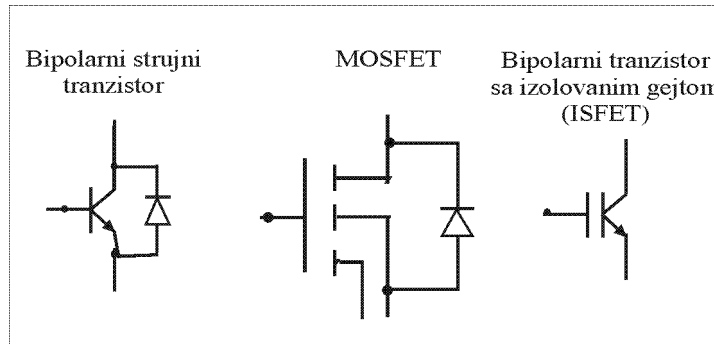
Snaga koju crpemo iz izvora: $P_{IZV} = E \cdot I_i^{SR} = I_a \cdot E \cdot \frac{t_{ON}}{T}$. Snaga disipacije je mala kada

nam je potrebna negativna snaga motora, U_X mora da ima negativnu srednju vrednost – to postižemo tako što S_3 ukljuèimo (3 i 4 kvadrant).



Slika 87.

Ukoliko je X_a mala, da bi se umanjila valovitost armaturne struje (ona treba da bude 5% od nazine struje), na red se sa motorom ugrađuje dodatna induktivnost. U鑓estanosti komutacije u praksi su 1–100 kHz, dakle prekidaèi moraju da budu poluprovodnièki prekidaèi velike snage, ali ne mogu tiristori.



Slika 88. Greka na slici: umesto ISFET treba da pie IGBT

Dioda nam služi da bismo mogli da provodimo struju u oba smera (trebaju nam sve kombinacije znakova $u - i$, znak u odgovara znaku w , a znak i znaku momenta). Tiristor ne može jer se on samopobuđuje, pa ne može da se ugasi.

S_1, S_4 pozitivan i

S_2, S_3 negativan.

Slabljenje polja

Elektromotori èesto rade u uslovima kada je potrebna konstantna snaga.

Zavisnost zahtevanog momenta M_m od brzine obrtanja rotora ω_R je takva da M_m opada pri porastu brzine (veliko optereæenje prouzrokuje malu brzinu obrtanja i obratno).

Primene motora èesto zahtevaju da se on obræe brzo sa malim teretom i obrnuto.

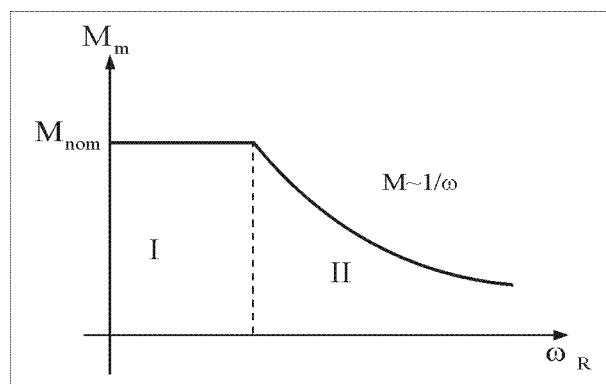
Primene motora su èesto takve da nam treba brzo skretanje sa malim momentom.

$$M_m \sim \frac{1}{\omega} \Rightarrow P_m \sim M_m \omega \sim \text{const.}$$

Karakteristika konstantne snage se èesto zahteva.

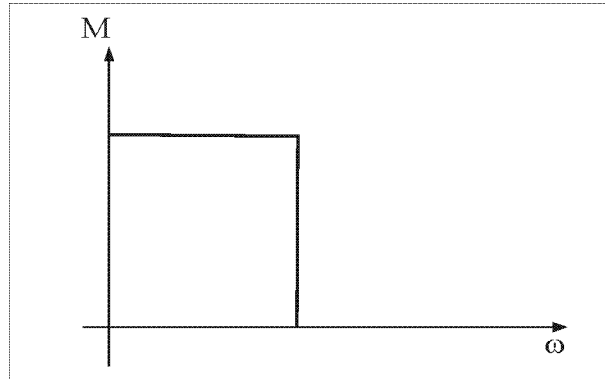
I zona konstantnog momenta (moment ovde zovemo nominalan)

II zona konstantne snage (oblast slabljenja polja)



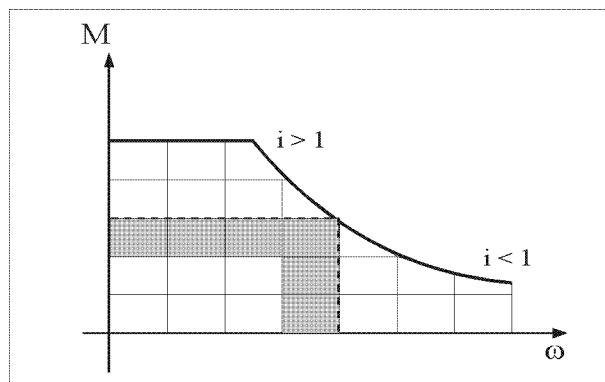
Slika 89. Karakteristika konstantne snage (hiperbola u $M - \omega$ dijagramu)

Kod motora sa unutrašnjim sagorevanjem $M = \frac{\Delta W}{\Delta q} = \text{const.}$ Daju konstantan rad u toku svakog obrtaja što znači i konstantan moment, dakle ne mogu da daju gornju karakteristiku, pa se zato primenjuje varijabilan prenos.



Slika 90.

Varijabilan prenos omogućava da se moment i brzina preslikavaju na iM i $\frac{W}{i}$. Variranjem i (stepena prenosa) omogućava se da se obezbedi karakteristika konstantne snage, ali sa jednim setom diskretnih karakteristika.



Slika 91.

Ukoliko motor ima karakteristiku konstantne snage, onda možemo da izbegnemo prenosnik.

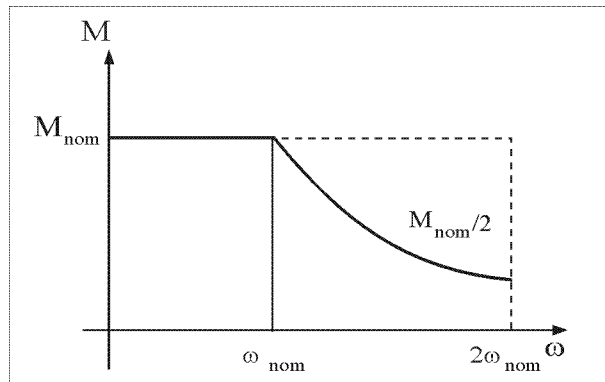
$$M \rightarrow i \cdot M,$$

$$\text{VV} \rightarrow \frac{W}{i}.$$

Jako je dobro da motor ima mogućnost da radi u režimu konstantne snage. Gornja karakteristika nije mehanička karakteristika motora, već karakteristika onih momenata koji su dostižni (tzv. eksplotaciona karakteristika). Mehanička karakteristika je karakteristika $M(w)$ za određene uslove napajanja motora.

Ovo je zahtev tereta – teret traži ovu karakteristiku.

Recimo da teret traži karakteristiku kao na slici 92.:

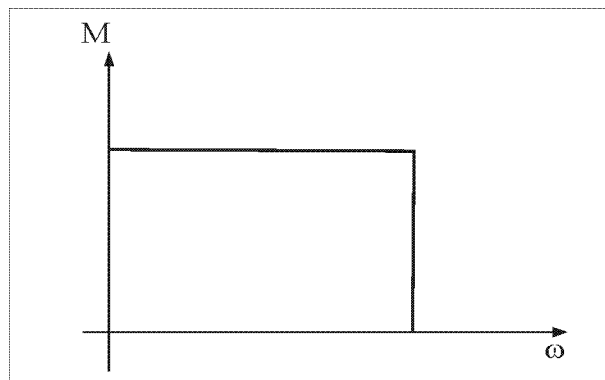


Slika 92. (Poja{njenje slike) Na karakteristici je: $M(2\omega_{\text{nom}}) = M_{\text{nom}} / 2$

Ukoliko bismo imali motor koji ne može da radi u zoni slabljenja polja (zoni konstantne snage), tada moramo izabrati motor koji može da stigne do $M_{\text{nom}}, 2\omega_{\text{nom}}$ (pravougaona karakteristika).

Snaga dimenzionisanja motora:

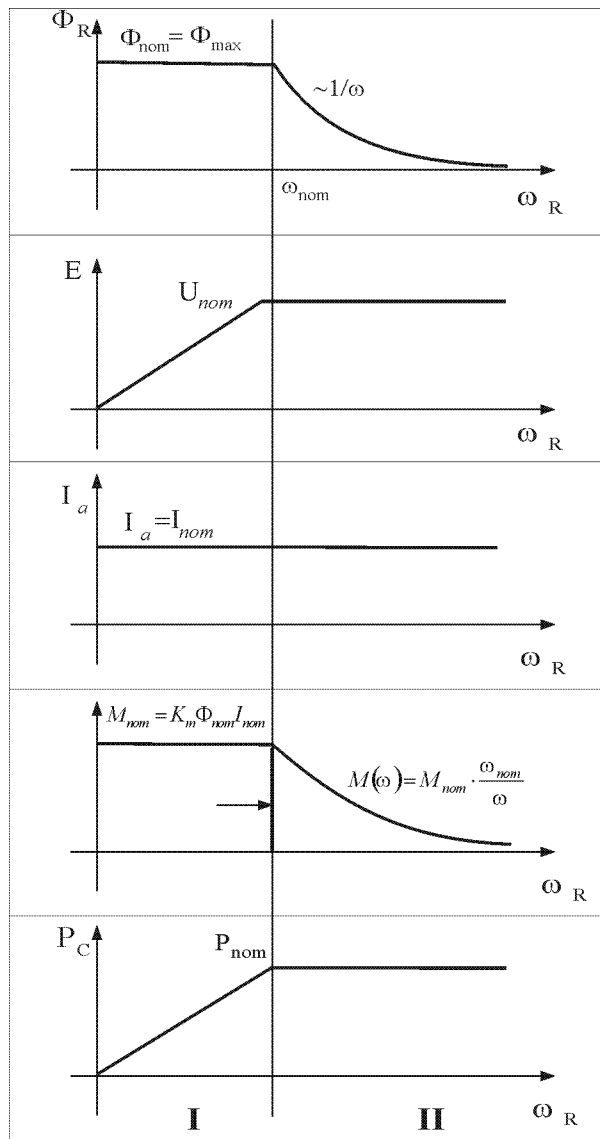
$$P_{\text{dim nom}} = 2\omega_{\text{nom}} M_{\text{nom}}.$$



Slika 93.

Kod motora koji može da radi u režimu konstantne snage snaga dimenzionisanja je dvaput manja.

Mašine jednosmerne struje sa nezavisnom pobudom mogu da rade u zoni slabljenja polja, a sada æemo pokazati i kako.



Slika 94.

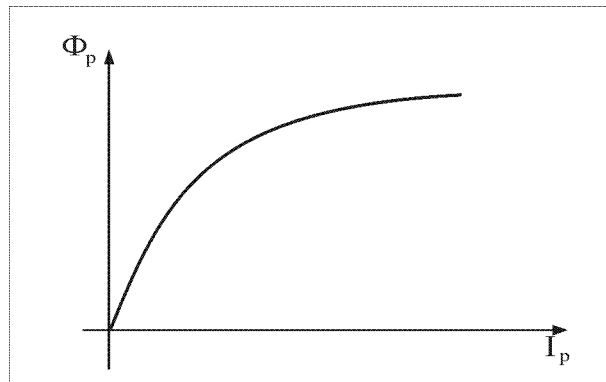
ω_{nom} – je nominalna ili nazivna brzina (razdvaja zone I i II, tj. zone konstantnog momenta i konstantne snage), ω_R – ugaona brzina obrtanja rotora, E – indukovana elektromotorna sila i P_C snaga koja se konvertuje.

Zašto je $\Phi_{nom} = \Phi_{max}$?

Nominalan ili bilo koji moment:

$$M_{em} = K_m \Phi_P I_a \Rightarrow I_a = \frac{M_{em}}{K_m \Phi_P}.$$

$P_g \sim I_a^2$ gubici u električnom podsistemu su srazmerni kvadratu armaturne struje \rightarrow . Povoljno je imati beskonačan fluks da bi gubici bili minimalni, tj. da bi proces elektromehaničke konverzije bio efikasniji. To naravno nije moguće: materijal od koga je napravljen magnetno kolo statora i rotora je nelinearan.



Slika 95.

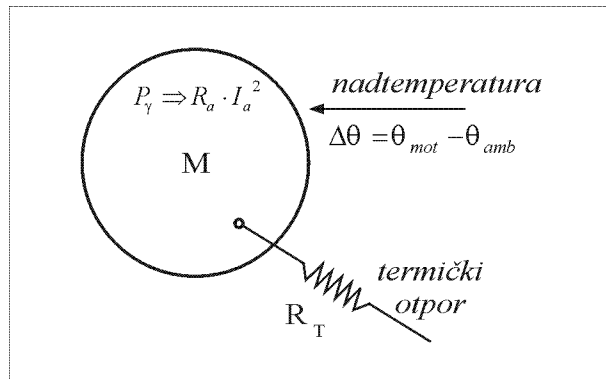
Karakteristika magneæenja je nelinearna i daljim poveæavanjem pobudne struje ne može se poveæavati fluks.

Postoji neka maksimalna vrednost fluksa koja se može postići i ona je približno jednaka proizvodu dužine mašine L , W polova i nekog broja B (oko 1,5 T).

Nominalan – ova oznaka uvek oznaèava da se radi o vrednosti za koju je mašina projektovana. Da bismo minimizirali gubitke, fluks æemo držati na max vrednosti ako je to ikako moguæe, a smanjivaæemo I_a koliko možemo da bismo smanjili gubitke.

Nominalna vrednost struje je najveæa vrednost struje koju motor može podneti u stalnom radu.

U okviru mašine postoje nekakvi gubici P_g , koji poveæavaju temperaturu motora.



Slika 96.

Izmeðu motora i sredine imamo neki termièki otpor (razmena topline konvekcijom, zraèenjem).

$$\Delta q = q_{mot} - q_{amb} \text{ je razlika temperatura motora i ambijenta (nadtemperatura)}$$

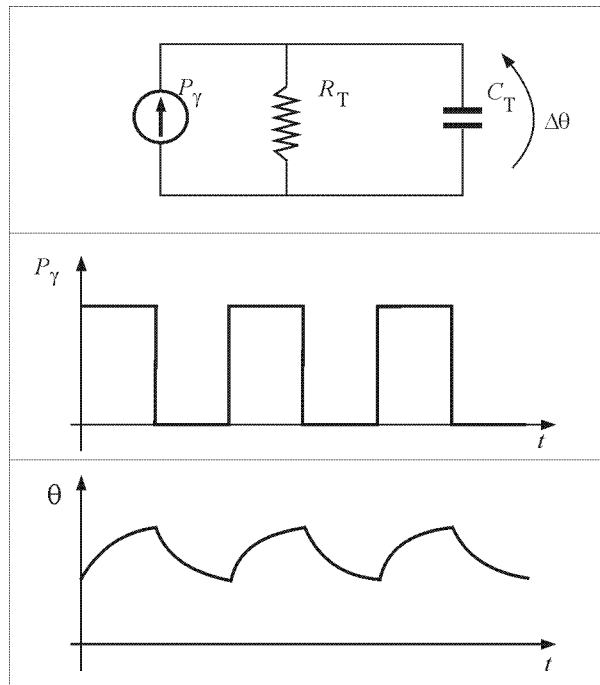
Termièki otpor je koliènik temperaturne razlike i snage gubitaka. Poveæanjem armaturne struje poveæava se temperatura motora.

Posle izvesne temperature (150°C) uništava se izolacija namotaja itd.

Najveæa moguæa vrednost struje koja se može trpeti u trajnom radu, a da motor ne izgori naziva se *nominalna struja*.

R_T – termièki otpor u odnosu na ambijent, C_T – termièka kapacitativnost u odnosu na ambijent.

Veæu struju od nominalne motor može da izdrži samo kratkotrajno (impulsno). Srednja vrednost struje mora da se održava na konstantnoj vrednosti.



Slika 97.

Takođe, mi možemo razviti neke momente koji su veći od nominalnog, ali to ne sme da traje dugo.

Eksplotaciona karakteristika: "ono što možete dobiti", tj. geometrijsko mesto tačaka u $M(w)$ dijagramu koje motor može postići u trajnom radu.

Snaga je proizvod M i w pa je ona linearna karakteristika. Nominalna snaga je maksimalna snaga koju motor može da postigne u trajnom radu.

$E \approx U_{AB}$ uz zanemarenje termogenog pada napona i konstantnog fluksa, elektromotorna sila je jednaka naponu koji dovodimo na priključke motora i linearno raste. Pri nominalnoj brzini, elektromotorna sila dostiže vrednost nominalnog napona. Snaga motora nije beskonačna jer je napon koji dovodimo na njegove priključke ograničen, kao i njegova struja.

Nominalan napon je maksimalni napon koji se može dovesti na motor u trajnom radu, a da se on ne ošteti (da ne izgori izolacija namotaja).

Nominalna brzina je ona pri kojoj nominalno pobuđen motor (sa nominalnim fluksom) razvija elektromotornu силу jednaku nominalnom naponu. Dalji porast brzine uz nominalni fluks nije moguć jer æe doći do oštećenja izolacije. Nominalno pobuđen motor na nominalnoj brzini razvija elektromotornu силу jednaku nominalnom naponu; dalje povećanje ugaone brzine povećava elektromotornu силу i izolacija probija. Ukoliko imamo permanentne magnete na statoru, karakteristika motora je (vidi M_{em}) i nema načina da povećamo $w_{nom} \rightarrow$ eksplotaciona karakteristika æe biti ona označena strelicom.

$$E = E_{nom} = K_e \Phi_{nom} w_{nom}.$$

ne sme da prevaziđe ovu vrednost.

Za svaku brzinu koja je veća od nominalne, neophodno je da se fluks proporcionalno smanjuje sa porastom brzine (tada æe elektromotorna sila biti E_{nom}):

$$\Phi_p(w) \Big|_{w>w_{nom}} = \Phi_{nom} \frac{w_{nom}}{w}.$$

Struja u nominalnom radu je konstantna iz èega proizilazi da moment opada isto kao i fluks.

Umanjenjem fluksa obezbeđujemo konstantnu vrednost elektromotorne sile pri svim brzinama većim od nominalne, oblast II se zato zove oblast slabljenja polja.

$$M(W) = M_{nom} \frac{W_{nom}}{W} \Big|_{W > W_{nom}},$$

Ovo je eksploatacionala karakteristika.

U zoni konstantnog momenta, snaga koju možemo razviti je uzlazna funkcija, a u oblasti slabljenja polja je konstantna.

Kako variraju gubici u gvožđu u zoni slabljenja polja?

$$P_{Fe}^{ROT} = S_v f^2 B_m^2 + S_H f B_m^2.$$

U zoni slabljenja polja:

$$f \uparrow, \quad B_m \sim \frac{1}{f} \downarrow, \quad B_m = B_m^{nom} \frac{f_{nom}}{f}, \quad f = \frac{W_R}{2p}, \quad \Phi_p = LW B_m$$

Φ_p je pobudni fluks..

$$P_{Fe}^{ROT} = S_v f^2 \left(B_{nom} \frac{f_{nom}}{f} \right)^2 + S_H f \left(B_{nom} \frac{f_{nom}}{f} \right)^2.$$

Ukupni gubici u gvožđu æe blago da opadaju – gubici usled vihornske struje su konstantni (skratiti sa f), ali gubici usled histerezisa su obrnuto proporcionalni sa f i blago opadaju.

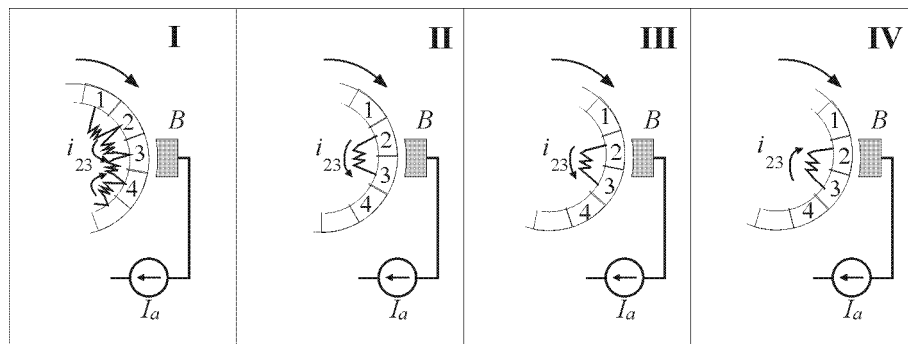
Ulaskom u zonu slabljenja polja, gubici usled vihornske struje se ne menjaju, a oni usled histerezisa blago opadaju. Dakle možemo povećavati brzinu motora.

Maksimalna brzina rada motora u zoni slabljenja polja je ograničena:

–mehanički (npr. da li je rotor dobro balansiran – ako nije, javlja se centripetalna sila; kvalitet ležajeva – oni omogućavaju da se rotor okreće bez velikog trenja)

–električno (problem sa komutacijom)

Proučiemo kako problemi sa komutacijom utječu na brzinu motora u oblasti slabljenja polja.



Slika 98.

$$\Delta q_R = \frac{2p}{N_{KK}}, \text{ gde je } N_{KK} - \text{broj kolektorskih kriški.}$$

Posmatramo proces u kome èetvrtica B prelazi sa kolektorske kriške 3 na krišku 2 – do toga dolazi zato što se rotor pomerio za ugao Δq_R .

Posmatramo samo namotaj vezan između kriški 2 i 3.

$$I \quad i_{23} = \frac{I_a}{2};$$

$$IV \quad i_{23} = -\frac{I_a}{2};$$

Imajući u vidu smerove struja u namotajima vezanim na red od A do B smatramo da je struja izvora vezanog između èetkica $I_a = const$.

$$\Delta t = \frac{\Delta \Phi_R}{W_R},$$

U toku ovog vremena struja se promeni za I_a (sa $+\frac{I_a}{2}$ na $-\frac{I_a}{2}$) i ovaj proces nazivamo komutacijom.

Jednaèina naponskog balansa za namotaj 2–3:

$$e_R = k B_R W_R.$$

U namotajima 2 i 3 ne treba da se pojavi nikakva elektromotorna sila (oni su kratko spojeni èetkicama i nalaze se u neutralnoj zoni – zoni ispod pomoæenih polova).

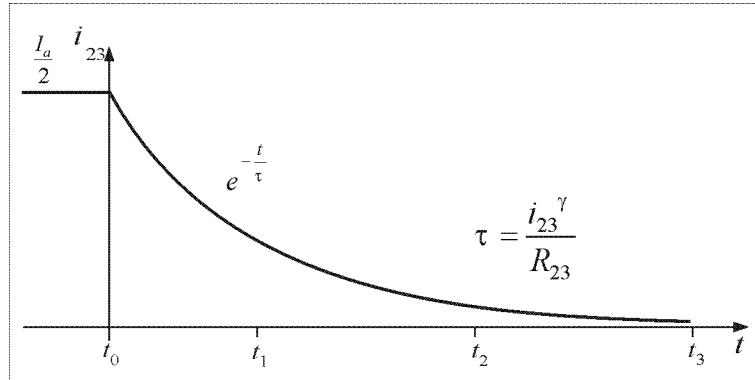
B_R – polje u neutralnoj zoni (ono je veoma malo, srazmerno armaturnoj struji i zanemarili smo ga u ranijem razmatranju).

$$e_R = R_{23} i_{23}(t) + L_{23}^g \frac{di_{23}}{dt}.$$

Ovo je jednaèina naponskog balansa za namotaj 2–3 a $R_{23} i_{23}(t)$ je termogeni pad napona.

L^g induktivnost rasipanja (linije polja fluksa reakcije se prostiru tako da obuhvataju i glavne polove, ali se jedan deo rasipa u žlebu).

Ako zanemarimo postojanje ove elektromotorna sila, ili tako podesimo B_R da ona bude 0 ($e_R = 0$), kakva æe biti struja:



Slika 99. Greæka na slici: ispravna definicija vremenske konstante tje: $t=L_{23}^g/R_{23}$

struja eksponencijalno opada od $+\frac{I_a}{2}$ do 0. $t_3 - t_0 = \Delta t$

Na kraju komutacije treba da postignemo $i_{23} = -\frac{I_a}{2}$, ali ako nema elektromotorna sila struja neće promeniti smer, već će biti bliska nuli (kao da nema namotaja) – sva struja koja dolazi kroz 43 i jednaka je $\frac{I_a}{2}$ ne može da prođe kroz 3–2, ona mora da uđe u èetkicu B. Rotacijom kolektora gustina struje raste jer ona nema gde da ide. Gustina struje pre prekida je jako velika (pre prestanka kontakta sa èetkicom), uspostavlja se plazma i elektrièni luk – struja kroz luk završava na èetkici. Kada se elektrièni luk uspostavi oko celog kolektora napraviće spoj između èetkica A i B – to je tzv. kružna vatra. Ona dosta brzo svodi brzinu obrtanja motora na nulu i uništava kolektor.

Ako postoji $e_R \neq 0$ i termogeni pad napona $R_{23} i_{23}$ je mali (što i jeste sluèaj): ako podesimo

$$B_R = -L_{23} \frac{dI_a}{dt} \cdot \frac{1}{K\omega_k},$$

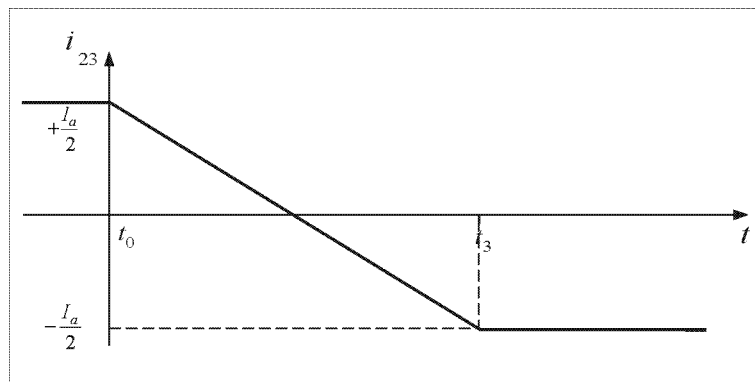
$$e_R = K\omega_k B_R,$$

$$\frac{di_{23}}{dt} = \frac{I_a}{\Delta t}.$$

Ovo predstavlja strminu struje.

Uz ovaku strminu struje promena struje u vremenu će biti linearna i u t_3 će dostići nivo od $-\frac{I_a}{2}$.

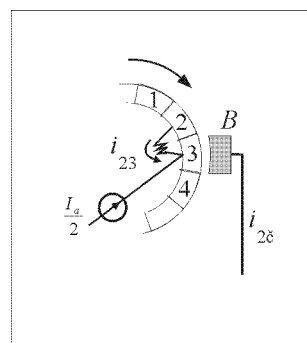
Linearna komutacija (linearna promena struje)



Slika 100.

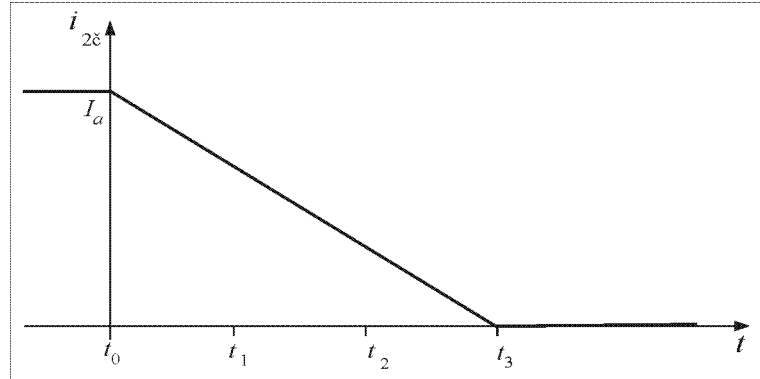
Zašto je povoljna linearna komutacija?

Površina napajanja između kriške 3 i èetkice linearno opada, èetkica sve manje poklapa krišku 3. Pošto je promena struje linearna, to će gustina struje biti konstantna.



Slika 101.

i_{3E} struja koja komutira između kriške 3 i èetkice B.



Slika 102.

Iz donje grane stalno dolazi $\frac{I_a}{2}$. Na poèetku komutacije je $i_{3E} = \frac{I_a}{2} + i_{23} = I_a$; na kraju komutacije $i_{3E} = \frac{I_a}{2} - \frac{I_a}{2} = 0$.

Èetkica izmièe linearno, pa æe gustina struje biti konstantna i ravnomerno rasporeðena na i_{2E} i i_{3E} , što omoguæava komutaciju bez luka na ivicama èetkica.

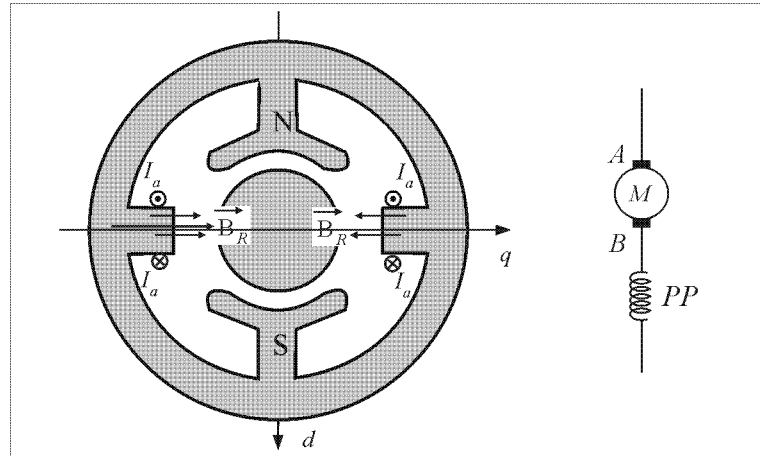
B_R treba da bude funkcija struje, da bi pri svakoj brzini bila omoguæena linearna komutacija:

$$B_R = -L_{23}^g \frac{I_a W_R}{2p} \cdot \frac{1}{K W_R} = -L_{23}^g \frac{N_{KK}}{2p} \frac{1}{K} I_a,$$

$$B_R = -L_{23}^g \frac{N_{KK}}{2p} \frac{1}{K} I_a.$$

Treba da postoji mala vrednost B_R u neutralnoj zoni. Ona zavisi od armaturne struje i tada je ostvarena linearna komutacija.

Kako postižemo malu negativnu vrednost B_R proporcionalnu aramurnoj struci? U tu svrhu koristimo pomoæene polove:



Slika 103.

Namotaji pomoæenih polova kroz koje protiæe I_a imaju zadatku da naprave malu negativnu vrednost indukcije B_R .

Izgled namotaja pomoæenog pola dat je na slici 103. a obièeno se ne crta.

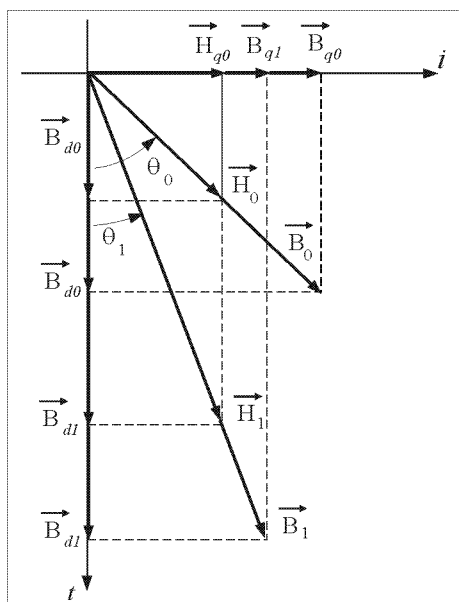
Armaturalna struja koja protiæe kroz pomoæene polove pravi indukciju B_R koja nam je potrebna. Relacija izmeðu B_R i I_a treba da bude linearna što nije uvek moguæe.

U želji da karakteristika $B_R(I_a)$ bude što je više moguæe linearna u neutralnoj zoni (a ona to nije zbog nelinearnosti Fe), uvodi se veliki vazdušni zazor ispod pomoæenih polova, mnogo veæi nego ispod glavnih.

Slabljenje polja negativno se odražava na linearost karakteristike $B_R(I_a)$, i u tome leži razlog ogranièenja maksimalne brzine kod mašina jednosmerne struje.

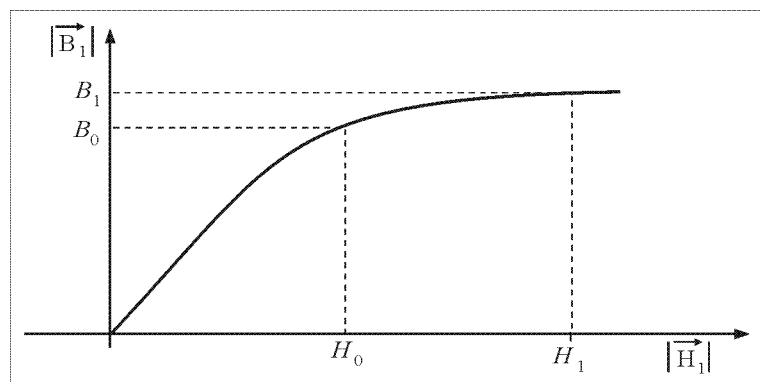
Izmeðu osa q i d postoji sprega. Osa d u kojoj fluks uspostavlja pobudni namotaj i osa q u kojoj fluks uspostavljuju pomoæeni polovi i rotorski namotaj imaju meðusobnu induktivnost 0 (meðusobna induktivnost je srazmerna \cos ugla izmeðu osa. $\cos 90^0 = 0$).

Sprega ipak postoji i prouzrokovana je nelinernošæu magnetnog materijala.



Slika 104. Greæka na slici: horizontalna osa treba da bude oznaæena sa q , a vertikalna sa d

\vec{B}_1 ima isti pravac kao i \vec{H}_1 , ali je njegova projekcija na q osu B_{q_1} manja – uveæanje \vec{H} na d osi smanjuje \vec{B} na q osi.



Slika 105.

Pravac \vec{B}_0 i \vec{H}_0 se poklapa, a amplitude su im povezane gornjom krivom.

U bilo kojoj taèki rotora ili statora posmatramo komponente B i H .

Pravac vektora B i H poklapa, a amplituda je odreðena karakteristikama magneteenja materijala. Kada bi sredina bila linearna, promene polja u jednoj osi ne bi trebale da utièu na varijacije polja u drugoj osi – sistem bi bio raspregnut.

$$\frac{B_1}{H_1} \ll \frac{B_0}{H_0}.$$

Materijal ulazi u magnetno zasiæenje:

$$B_{q_0} = \left(\frac{B_0}{H_0} \right) \cdot (H_0 \cdot \sin q_0).$$

$H_{q_0} = (H_0 \cdot \sin q_0)$, q komponenta se nije promenila, ali je permeabilnost opala.

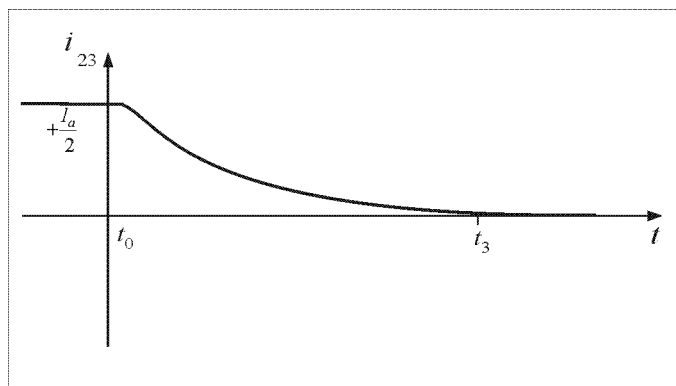
$$B_{q_1} = \left(\frac{B_1}{H_1} \right) \cdot (H_1 \cdot \sin q_1).$$

$$H_{q_1} = H_{q_0}$$

Uveæanje fluksa u nelinearnom magnetiku se odražava na smanjenje permeabilnosti, èime se postiže da uveæanje polja u jednoj osi deluje na smanjenje u drugoj. To znaèi da ose q i d jesu spregnute, ali ne preko meðusobne induktivnosti, sprega se ostvaruje zahvaljujuæi nelinearnosti magnetnog materijala. Uveæanje polja u jednoj osi umanjuje permeabilnost magnetnog materijala, tj.

odnos $\frac{B}{H}$ koji odreðuje polje u jednoj osi.

Ulaskom u slabljenje polja, d -fluks koji je dominantan opada. Pošto je jaram zajednièki za d -fluks i q -fluks, upravo u njemu se dogaða ovo što smo opisali. Umanjenje fluksa u zoni slabljenja polja dovodi do znatnog poveæanja permeabilnosti, jer magnetni materijal izlazi iz zasiæenja i postaje linearan, magnetni otpor opada, i $B_R(I_a)$ se menja za istu struju dobijamo mnogo veæu vrednost B_R zahvaljujuæi poveæanju permeabilnosti.



Slika 106.

Struja æe da se menja mnogo brže nego što je poželjno. Nagib struje u zoni slabljenja polja æe biti mnogo veæi nego što je poželjno – struja æe isuviše brzo da padne na nulu jer je B_R (veæe). Sva struja æe suviše brzo da se preusmeri na krišku 2 i imaæemo elementarni luk na ulaznoj zoni èetkice.

Ovakav luk nije toliko opasan, jer nema osobinu da se razmazuje po površini – èestice usijanog gasa (plazme) završavaju pod samom èetkicom jer je smer rotacije kolektora takav. Ovo se

zove preuranjena komutacija. Kao rezultat svih ovih efekata brzina koju možemo postići u zoni slabljenja polja je $\omega_{\max} = (2 - 3)\omega_{nom}$. Razmotrili smo uticaj:

$$\Phi_P \Rightarrow B_R, \Phi_q.$$

Sada razmatramo uticaj:

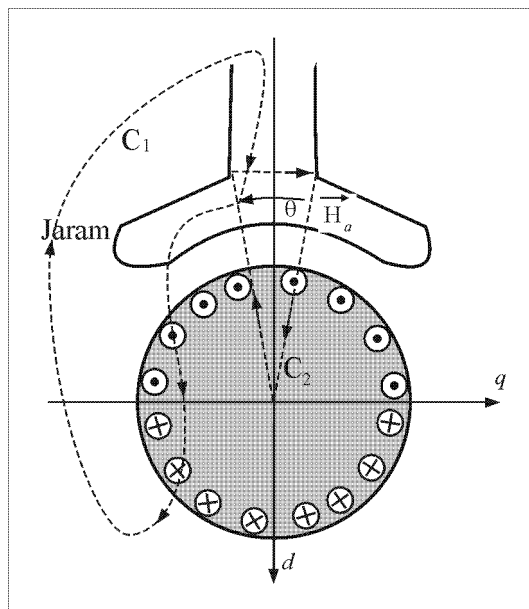
$$\Phi_R I_a \Rightarrow \Phi_P.$$

$$\Phi_P = L_p' \cdot I_p,$$

$$L_p' = \frac{L_p}{N_p}.$$

Reklo bi se da $\Phi_R I_a$ nemaju uticaja, ali se to ipak događa zbog nelinearnosti magnetnog materijala.

Pobudni fluks Φ_p biva umanjen kada armaturna struja I_a poraste. To se zove reakcija indukta.



Slika 107. Greška na slici: q je ugao otklona od vertikalne ose d a ne kao {to je prikazano na slici. Napomena: ugao q }e u daljem tekstu biti greškom preimenovan u q

U materijalu uz samu ivicu vazdušnog zazora možemo posmatrati polja \vec{B} i \vec{H} .

$$H_p = K \cdot I_p, \quad H_p = \frac{N_p \cdot I_p}{2d}.$$

Ako ovako odaberemo konturu integracije (C_1), ovo je kružni $\oint \vec{H}_p \cdot d\vec{l}$ (ne figuriše struja

rotora, jer obuhvatamo isti broj ulaznih i izlaznih provodnika. H_p je komponenta polja koja je posledica delovanja pobudne struje, a d – debljina vazdušnog zazora.

Ovde postoji i polje H_a koje je posledica postojanja armaturne struje.

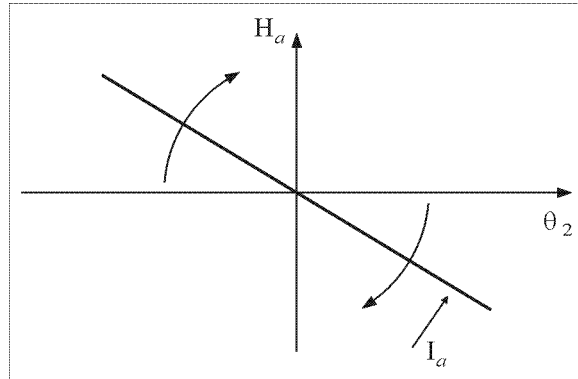
Jedan deo konture (C_2) leži na osi simetrije polova d . Sraèunamo kružni integral kao rezultat je 0 jer obuhvatimo isti broj taèkica i krstica (za $q_2 = p$).

$$H_a \Big|_{q_2=p} = 0.$$

na osi glavnih polova d .

$$H_a(q_2) = -\frac{1}{d} \frac{N_R}{2p} q_2 \frac{I_a}{2}.$$

N_R ukupan broj provodnika rotora.

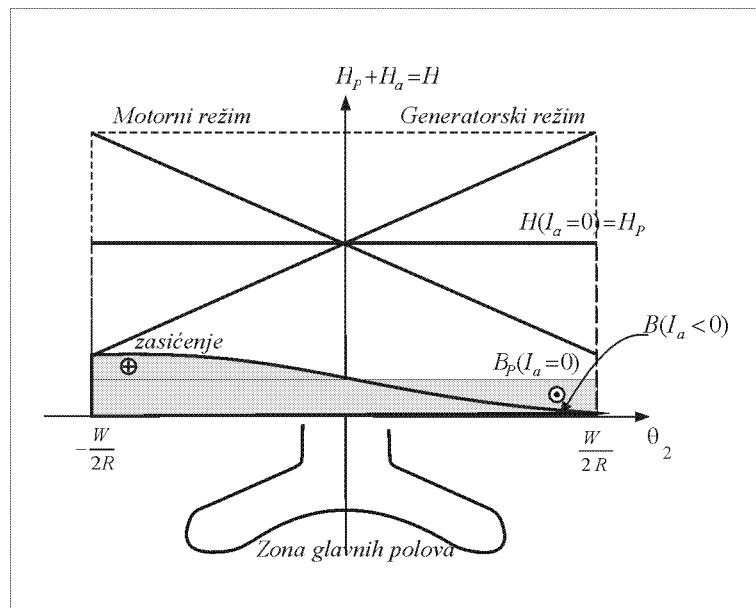


Slika 108.

Kada I_a raste, nagib prave æe biti sve veæi.

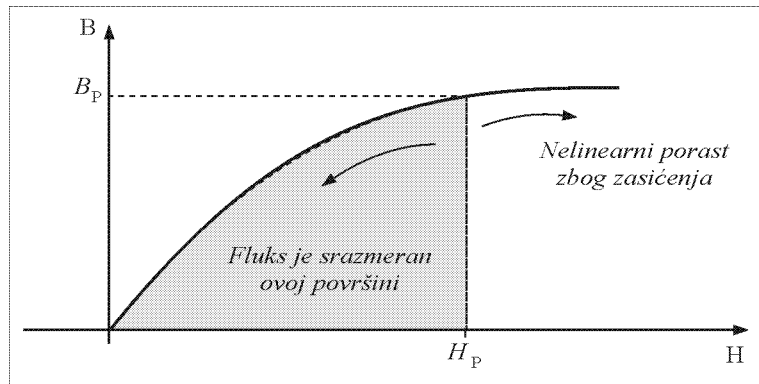
Zavisnost $H_a(q_2)$ u zoni ispod glavnih polova je linearна.

Rezultantno polje: $H = H_p + H_a$



Slika 109.

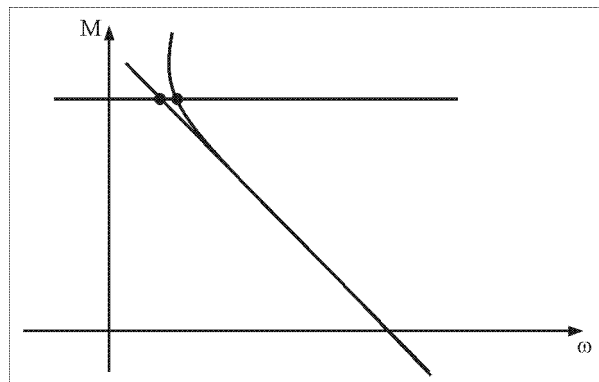
Šta se dešava sa poljem B ispod glavnih polova u vazdušnom zazoru?



Slika 110. Greška na slici: Konstatacija da je fluks srazmeran površini nije tačna. Fluks je srazmeran površini na slici 109.

Fluks je srazmeran površini $\Phi = L R \int B(q) dq$. Porast krive je nelinearan zbog zasićenja.

U zoni gde polje H opada, manje ili više linearno æe opasti indukcija. U zoni gde polje H raste, porast H neæe u istoj meri biti proporcionalan porastom B zbog pojave magnetnog zasićenja. Zbog toga Φ_p opada pri porastu armaturne struje – ova pojava se zove reakcija indukta i ima uticaj na mehanièku karakteristiku mašine. Mehanièka karakteristika mašine je geometrijsko mesto taèaka u $M(w)$ dijagramu za zadate uslove napajanja.



Slika 111.

Mehanièka karakteristika treba da bude linearna, ali æe se zbog ovog efekta kriviti. Zbog zavisnosti $\Phi_p(i_a)$ za odgovarajuæi momenat imamo veæu brzinu od one koju oèekujemo, zahvaljujuæi reakciji indukta.

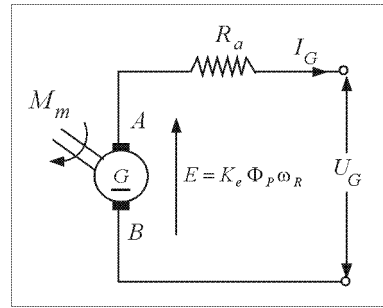
$$U_{AB} = R_a I_a + K_e \Phi_p W_R .$$

Zanemarimo $R_a I_a$.

$$W_0 = \frac{U_{AB}}{K_e \Phi_p} .$$

I_a se poveæava, Φ_p se smanjuje a W_0 raste.

To znaèi da je veæa snaga mašine, ali ne obavezno i koeficijent korisnog dejstva. Kada mašina radi kao generator bitnija nam je njena elektrièna karakteristika: R_a – termogeni otpor armaturnog namotaja.



Slika 112.

I_G, U_G – izlazna struja i napon generatora.

$$E - R_a I_G = U_G.$$

Za $E = K_e \Phi_p \omega_R$ imamo:

$$K_e \Phi_p \omega_R - R_a I_G = U_G.$$

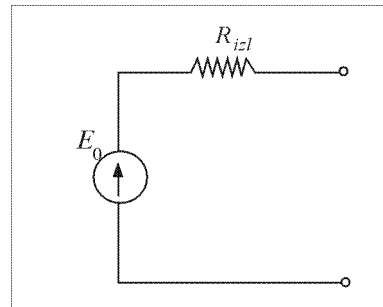
Linearizovanjem karakteristike $\Phi_p(I_a)$:

$$\Phi_p(I_a) \approx \Phi_{P_0} - K_{AA} I_a.$$

K_{AA} je koeficijent reakcije indukta.

$$K_e \Phi_{P_0} - (K_e K_{AA} \omega + R_a) I_a = U_G.$$

Umanjenje pobudnog fluksa reflektuje se na umanjenje elektromotorne sile. Sve to modelujemo ovako:



Slika 113.

$$R_{izl} = K_e K_{AA} \omega + R_a.$$

Generator sa pojavom reakcije indukta modelujemo kao idealan izvor E_0 sa unutrašnjom otpornosti R_{izl} .

II – termogeni deo $R_a I_a^2$ su gubici snage dok $K_e K_{AA} \omega I_a^2$ ne modeluje nikakve gubitke snage pri konverziji.

Snaga konverzije nije $E_0 I$, jer se E_0 realno ne indukuje – njim modelujemo reakciju indukta, ali ona realno ne postoji. Stvarna snaga konverzije jednaka je proizvodu elektromotorne sile koja se stvarno indukuje i struje I_a .

Kompenzacioni namotaj – ugrađen u glavnim polovima, tako da može da balansira amperzavojke rotorskih namotaja. Ovako se eliminiše magnetopobudna sila koja je uzrok pojave polja H_a . Struje u kompenzacionim namotajima su suprotnog smera od onih u rotorskim. Kompenzacioni namotaj dakle umanjuje uticaj negativnih efekata reakcije indukta.

Redno pobuđeni motor

$$M_{em} = K_m \Phi_p I_a,$$

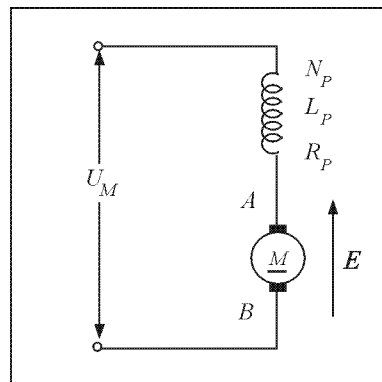
$$\Phi_p = L_p' I_p = L_p' I_a,$$

$$M_{em} = K_m L_p' I_a^2.$$

$I_p = I_a$. Armaturna struja je jednaka pobudnoj.

Ove relacije važe za režim relativno malih vrednosti fluksa, van dubokog zasićenja, gde je fluks srazmeran struji.

Pobudni namotaj rednog motora i namotaj armature vezani su na red.

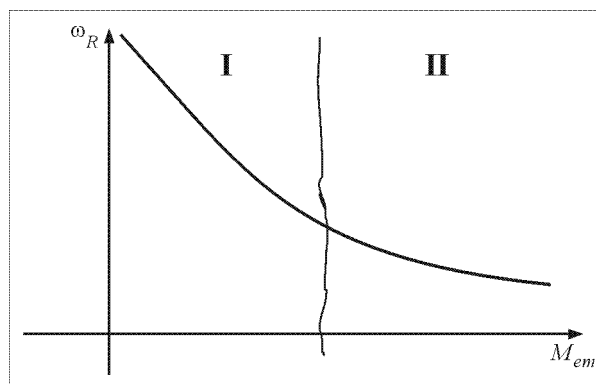


Slika 114.

Napon napajanja može da promeni smer, ali se smer momenta ne menja–ostaje pozitivan.

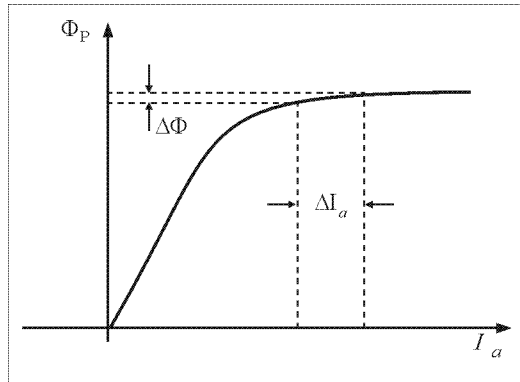
Možemo realizovati samo jedan, pozitivan znak momenta. Smer u kome moment deluje se može promeniti samo okretanjem pobudnog namotaja, tako da je $I_a = -I_p$.

Mehanička karakteristika postoji samo u prvom kvadrantu:



Slika 115.

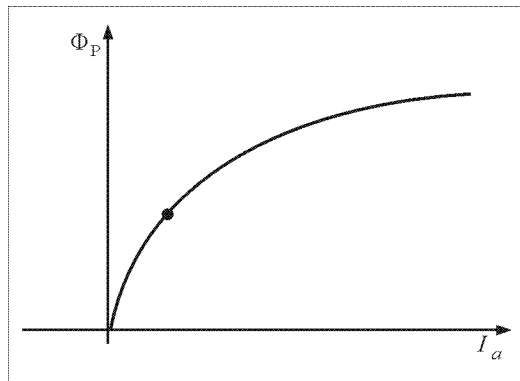
II zona velikih elektromagnetskih momenata \Rightarrow armaturna struja je visoka.



Slika 116.

Pošto je $I_a = I_p$, a u zoni dva imamo velike vrednosti I_a i nalazimo se u zoni dubokog zasićenja, pa zbog toga varijacije armaturne struje ne utiču na varijacije fluksa, pa u ovoj II oblasti možemo da smatramo da je fluks manje–više konstantan. Kao kod mašina sa nezavisnom pobudom karakteristika je približno linearna.

I Male vrednosti momenta \Rightarrow male vrednosti struje I_a . Nalazimo se u linearном delu karakteristike $\Phi_p(I_a)$



Slika 117.

$$\Phi_p = L_p' I_a,$$

$$U_M = (R_a + R_p) I_a + K_e \Phi_p \omega_R.$$

Jednačina naponskog balansa. Ako zanemarimo termogeni pad napona:

$$U_M = K_e L_p' I_a \omega_R;$$

$$\omega_R = \frac{U}{K_e L_p' I_a};$$

Brzinu rednog motora možemo menjati ili menjenjem U ili I_a .

Treba nam mehanièka karakteristika, tj. zavisnost $M(w)$:

$$M_{em} = K_m L_P' I_a^2,$$

$$I_a = \sqrt{\frac{M_{em}}{K_m L_p}},$$

$$\mathbb{W}_R = \frac{\sqrt{K_m}}{K_e} \cdot \frac{1}{\sqrt{L_P'}} \cdot \frac{U_m}{\sqrt{M_{em}}} ,$$

$$\frac{\sqrt{K_m}}{K_e} = 1,$$

$$M \sim \frac{U}{\mathsf{W}_R^2}.$$

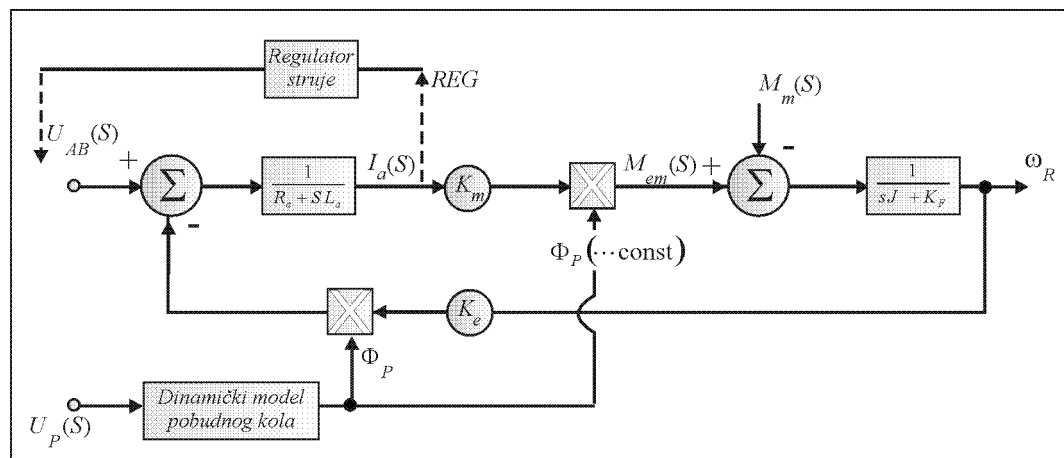
$$\text{jer je } W_R \sim \frac{U}{\sqrt{M}}$$

Ako je $M \approx 0$ sledi da $w_0 \rightarrow \infty$ i brzina praznog hoda je beskonaèno velika.

Redni motor ne sme da se ostavi da radi bez optereæenja.

Dinamički model motora jednosmerne struje – blok dijagram

Ovaj blok-dijagram æemo koristiti za sintezu algoritma upravljanja.



Slika 118.

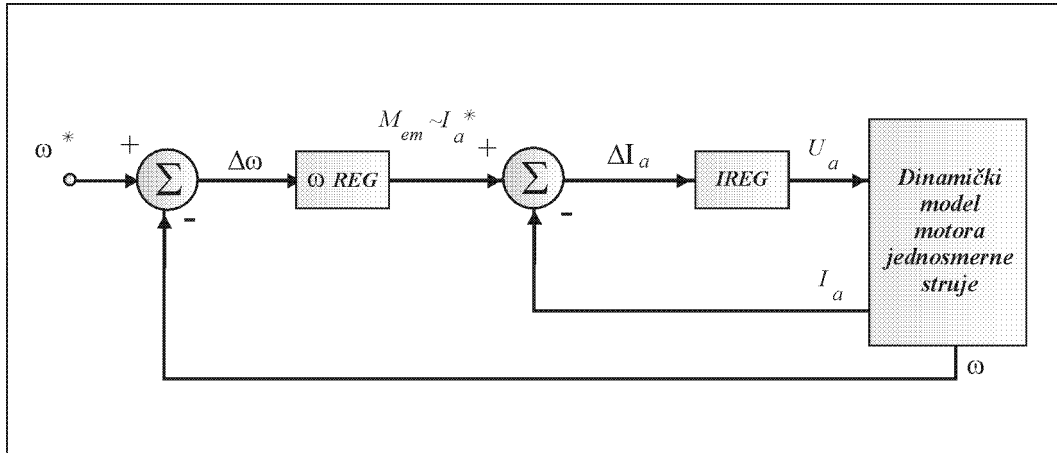
Ukoliko istovremeno posmatramo prelazne pojave u dinamičkom modelu pobudnog kola i prelazne pojave u kolu armature, model ne može biti linearan (ne može se promeniti Laplasova transformacija)

Linearizacija radne taèke vrši se tako što se funkcija razvije u red i zanemare èlanovi višeg reda: (Φ_{P_0}, I_{a_0}) (linearizaciju vršimo za male varijacije oko radne taèke).

$$\Delta M_{em} = \Phi_{P_0} \Delta I_a + I_{a_0} \Delta \Phi_P.$$

Uobièajeno je da se mašine jednosmerne struje upravljuju (regulišu) tako da je armaturna struja jedna od regulisanih velièina – postojaæe nekakav regulator struje.

Tipièan pogonski regulator mašina jednosmerne struje: (armaturna struja je signal povratne sprege, a armaturni napon je upravljaèka promenljiva)



Slika 119.

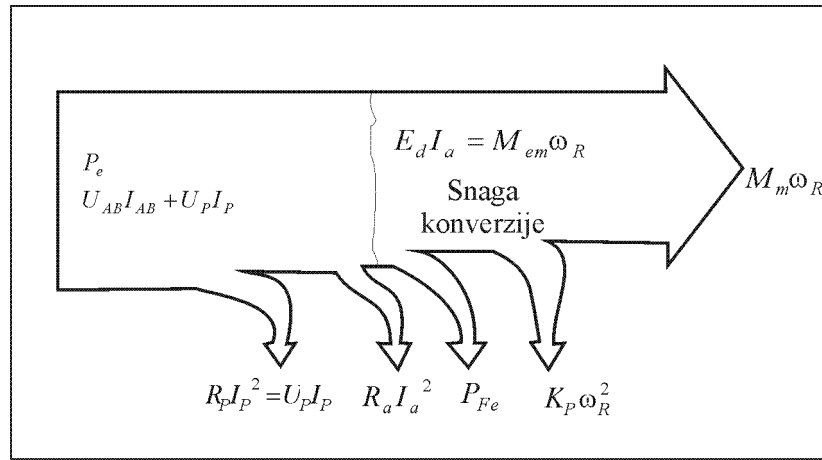
Zvezdica kod I_a oznaèava da se radi o referntnoj vrednosti (*set-point*)

Ovo je tipièna kaskadna struktura regulacije.

Na ulazu je diskriminator odstupanja brzine, koji poredi datu vrednost brzine sa izmerenom i na osnovu izmerenog odstupanja $\Delta\omega$, po nekakvom zakonu (koji je obièeno PI) zadaje na svom izlazu elektromagnetski moment ili armaturnu struju. Kontura strujne regulacije je mala, lokalna petlja – ona teži da tako podesi armaturni napon da rezultujuæi moment odgovara željama brzinskog regulatora.

Bilans snage mašina jednosmerne struje

Mašina jednosmerne struje ima dva elektrièna i jedan mehanièki prikljuèak. Prepostavljamo da se radi o motornom režimu, mada se bilans snage bitno ne menja ni u generatorskom režimu.



Slika 120. Greæka na slici: koeficijent K_p treba da se oznaèi kao K_f u zna~enu koeficijenta frikcije

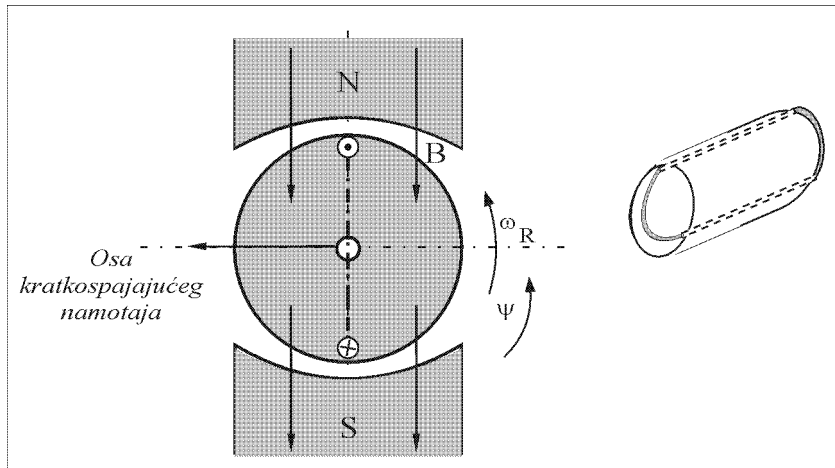
$R_p I_p^2 = U_p I_p$ gubici snage u termogenom otporu pobudnog namotaja (obièeno su mali, ali ih ne treba zanemariti), $R_a I_a^2$ gubici u armaturnom namotaju ovde treba dodati i eventualne gubitke usled konaènog pada napajanja na dodiru izmeðu èetkica i kolektorskih kriški, P_{Fe} gubici u gvožđu rotora, $K_f \omega_R^2$ gubici na trenje i ventilaciju i $M_m \omega_R$ mehanièka snaga koju predajemo potrošaèu.

$$\begin{array}{ccc}
 M_{em} & \xrightarrow{\hspace{1cm}} & M_m \\
 & \downarrow & \\
 & \frac{P_{Fe}}{W_R} &
 \end{array}$$

Gubici u gvožđu oduzimaju se od snage konverzije ($P_C = M_{em} W_R$). Ovi gubici postoje zbog pulsacije magnetnog polja u nekom neidealnom feromagnetiku. Zašto se sada oduzimaju od mehaničkih?

Prepostavimo da su gubici u gvožđu rotora uglavnom prisutni zbog vihornoih struja. Uočimo jedan kratkospajajući navojak na rotoru koji nije laminiran, već je jedan veliki komad gvožđa.

Zamislimo bilo kakav kratkospajajući zavojak:



Slika 121.

Rotacijom namotaja povećava se njegov fluksni obuhvat – on se postavlja sve više kolinearno sa linijama polja. Svaki kratkospajajući zavojak indukuje struju koja se protivi uspostavljanju fluksa. Vektorski proizvod I i B daje silu koja se protivi kretanju.

Uočavanjem bilo kojeg kratkospajajućeg provodnika na telu rotora vidimo da se obrtanjem rotora u magnetnom polju pobudnih polova uspostavljaju vihorne struje čija je priroda takva da u interakciji sa poljem sprečavaju kretanje. Spregnuti sila koje čine moment u proizvodu sa ugaonom brzinom daju gubitak u gvožđu. Prema tome, sa gornje slike se zaista vidi da moment koji zovemo elektromagnetički biva umanjen za koljenik $\frac{P_{Fe}}{W}$.

Primetite: gubici u gvožđu postoje i onda kada nema napajanja na armaturnom namotaju, tj. onda kada kroz rotor ne teku nikakve struje. Ovi gubici se javljaju zato što se rotor (koji može biti i običan komad gvožđa, ne mora da ima provodnike) obraće u magnetnom polju.

Mašine jednosmerne struje moraju da se održavaju (da im se menjaju četkice), javljaju se i problemi sa električnim lukom i zato se koriste druge vrste mašina.